

INSTITUTO TECNOLÓGICO Y DE ESTUDIOS
SUPERIORES DE MONTERREY
CAMPUS MONTERREY

PROGRAMA DE GRADUADOS EN ELECTRONICA,
COMPUTACION, INFORMACION Y COMUNICACIONES



DISEÑO Y OPTIMIZACIÓN DE REDES,
MENTORII Vs. PROGRAMACION LINEAL

TESIS

PRESENTADA COMO REQUISITO PARCIAL PARA
OBTENER EL GRADO ACADÉMICO DE:

MAESTRO EN ADMINISTRACION DE
LAS TELECOMUNICACIONES

POR

BOLIVAR ALONSO SOSA

MONTERREY, NUEVO LEÓN

JUNIO 2005

INSTITUTO TECNOLÓGICO Y DE ESTUDIOS
SUPERIORES DE MONTERREY

CAMPUS MONTERREY

PROGRAMA DE GRADUADOS EN ELECTRÓNICA,
COMPUTACIÓN, INFORMACIÓN Y COMUNICACIONES



DISEÑO Y OPTIMIZACION DE REDES,
MENTORII Vs. PROGRAMACION LINEAL

TESIS

PRESENTADA COMO REQUISITO PARCIAL PARA OBTENER EL GRADO
ACADEMICO DE:

MAESTRO EN ADMINISTRACIÓN DE LAS TELECOMUNICACIONES

POR:

BOLIVAR ALONSO SOSA

MONTERREY, N. L.

Junio 2005

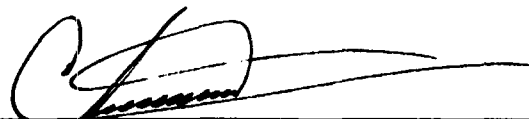
INSTITUTO TECNOLÓGICO DE ESTUDIOS SUPERIORES DE MONTERREY

**DIVISIÓN DE ELECTRÓNICA, COMPUTACIÓN,
INFORMACIÓN Y COMUNICACIONES**

**PROGRAMAS DE GRADUADOS EN ELECTRÓNICA,
COMPUTACIÓN, INFORMACIÓN Y COMUNICACIONES**

Los miembros del comité de tesis recomendamos que la presente tesis del Ing. Bolívar Alonso Sosa sea aceptada como requisito parcial para obtener el grado académico de Maestro en Administración de las Telecomunicaciones.

Comité de tesis:



Gerardo Antonio Castañón Ávila, PhD.
Asesor



Cesar Vargas Rosales, PhD.
Sinodal



Gabriel Campuzano Treviño, PhD.
Sinodal



David Alejandro Garza Salazar, PhD.
Director del Programa de Graduados en Electrónica,
Computación, Información y Comunicaciones.

Junio 2005

DISEÑO Y OPTIMIZACION DE REDES,
MENTORII Vs. PROGRAMACION LINEAL

POR:

BOLIVAR ALONSO SOSA

TESIS

Presentada al Programa de Graduados en Electrónica, Computación, Información
y Comunicaciones.

Este trabajo es requisito parcial para obtener el grado de Maestro
En Administración de las Telecomunicaciones

INSTITUTO TECNOLÓGICO Y DE ESTUDIOS
SUPERIORES DE MONTERREY

Junio 2005

Dedicatoria

Con mucho cariño y amor para mi madre, mi padre y mis hermanas ya que sin ellos no sería lo que soy ahora; por su apoyo incondicional a lo largo de mi vida, porque siempre han estado y estarán en mi corazón.

Agradecimientos

A la Profa. Heriberta Sosa que a pesar de las adversidades está cada vez más firme que un roble y me ha enseñado el camino de la vida con gran sabiduría, en sus diferentes facetas de madre y amiga.

Al Diputado Miguel Alonso Raya el cual es para mí sinónimo de rectitud y le tengo un gran respeto no solo por ser mi padre sino porque sus logros son una inspiración para mí.

A mis hermanas la Ingeniera Haydé y la Lic. Tania que son mis tesoros más preciados y me han enseñado a sonreírle a la vida; son una inspiración para mí.

Al Ingeniero Albores por sus sabios consejos que fueron de gran ayuda.

A mi comité de tesis, por su gran apoyo para que ésta sea una realidad.

A mi asesor PhD. Gerardo Castañón Ávila que siempre me tendió la mano durante toda la tesis y siendo un ejemplo a seguir.

A mis amigos Angel y Ernesto que en todo momento me hacen ver lo bello de la vida.

A las nuevas amistades que hice en esta aventura a los cuales recuerdo con alegría y un cariño especial.

A todos mis cuates de Veracruz que siempre llevo en mi corazón con mucha alegría.

Resumen

Este documento exterioriza la inquietud sobre un buen diseño de redes de área metropolitana en base a los procesos como indica el título de esta tesis MENTOR II vs. Programación Lineal.

Para comenzar se presenta la problemática la cual nos explica porque la necesidad de realizar este documento, en el cual se plasma el crecimiento de las redes y la necesidad de crear nuevos y mejores diseños.

Esto es enfocado a la idea de tener una mejor topología de redes. Y debido a la demanda de obtener mejores diseños con el paso del tiempo han surgido una gran variedad de métodos y procedimientos para la creación de redes y de los más importantes se encuentra el algoritmo heurístico Mentor II el cual presenta ciertas mejoras a la versión anterior pero no quiere decir que sea la mejor opción ya que como antes se menciona estos métodos se encuentran en constante cambio y evolución y todos con la finalidad de obtener diseños óptimos. Y si nos basamos en la idea de buscar diseños que nos den una topología óptima hay que hablar de la programación lineal la cual, así como mentor II, presenta diseños con un alto grado de confiabilidad.

Siendo estas dos formas para diseñar redes y para tener un concepto más claro que ventajas o desventajas ofrecen se harán comparaciones en base a simulaciones hechas con ambos métodos.

Dentro de este documento como parte de la estructura se muestra una descripción sobre redes, y un poco más detallado y completa el funcionamiento del algoritmo Mentor II, el cual se programó en C++. También se incluyen los fundamentos de programación lineal (PL) así como del AMPL el cual es la estructura para el modelo presentado en PL.

Por último se presenta las simulaciones frente a frente con la finalidad de tener una mejor perspectiva y opinión de ambos sistemas en base a los resultados obtenidos. Siempre teniendo en mente el de generar mejores redes en cuanto a costos y a su vez que presenten un formato confiable para su desempeño.

Índice

Dedicatoria.....	iv
Agradecimientos.....	v
Resumen.....	vi
índice.....	vii
Listado de Gráficas.....	ix
Listado de Tablas.....	x
Capítulo 1.....	1
Introducción.....	1
1.1 Situación Problemática.....	3
1.2 Planteamiento del Problema.....	9
1.3 Objetivo.....	10
1.3.1 Objetivos Generales:.....	10
1.3.2 Objetivos específicos:.....	11
Capítulo 2.....	13
Teoría de Grafos.....	13
2.1 Grafos y Árboles.....	13
2.2 Generación de Población para los nodos.....	16
2.3 Generación del Tráfico de la red.....	17
2.4 Cálculo del Costo de la red.....	19
2.5 Diseño de Árboles.....	20
2.5.1 Minimum Spanning Trees (MST).....	20
2.5.2.1 Algoritmo de Prim.....	21
2.5.3 Shortest Path Tree (STP).....	23
2.5.3.1 Algoritmo de Dijkstra.....	24
2.5.4 Algoritmo Prim-Dijkstra.....	28
2.6 Diseño de Redes tipo MESH.....	29
2.7 Teoría de Encolamiento para el Análisis de Retardo.....	30
2.8 Confiabilidad en la red.....	34
Capítulo 3.....	35
MENTORII.....	35
3.1 Principios de Diseño.....	36
3.2 Inicialización de MENTORII.....	37
3.3 Selección de los nodos backbone de la red.....	37
3.4 Selección de la Media.....	40
3.5 Construcción del árbol.....	40
3.6 Secuencia entre pares de nodos.....	42
3.7 Problemática con Enlaces Directos.....	43
3.8 Incremental Shortest Path (ISP).....	44
3.9 Incorporación de enlaces "1-commodity".....	45
3.10 Utilización.....	48
3.11 Simulaciones.....	48
Capítulo 4.....	56
Programación Lineal.....	56
4.1 Optimización Matemática.....	56

4.2 Programación Lineal.....	58
4.3 AMPL (Un Lenguaje de Programación Matemática).....	59
4.4 Modelo utilizado para la optimización de redes.....	60
4.4.1 Definición de las variables de Salida.....	61
4.4.2 Limitante del modelo.....	63
4.4.3 Archivo de datos.....	63
4.5 Resultados de Programación Lineal.....	64
Capítulo 5.....	68
Conclusiones.....	68
5.1 Conclusiones: MENTOR II Vs. PL.....	69
5.2 Tiempos de simulación.....	74
Anexo A.....	76
Anexo B.....	86
Anexo D.....	93
Bibliografía.....	100
Vita.....	105

Listado de Graficas

FIGURA 1.1 CRECIMIENTO DE INTERNET.....	1
FIGURA 1.2. LÍNEAS EN USO DE BANDA ANCHA EN EL MUNDO 2004.....	2
FIGURA 1.3 LÍNEAS DE BANDA ANCHA POR POBLACIÓN 2004.....	3
FIGURA 1.4 REDES LAN-MAN-WAN.....	5
FIGURA 2.1 GRAFO.....	14
FIGURA 2.2 CAMINO (A) Y RUTA (B).....	14
FIGURA 2.3 ARBOL.....	15
FIGURA 2.4 TIPOS DE GRAFOS.....	15
FIGURA 2.5 CICLO.....	15
FIGURA 2.6 SUBGRAFOS.....	16
FIGURA 2.7 ARCOS.....	22
FIGURA 2.8 EJEMPLO DE PRIM.....	22
FIGURA 2.9 EJEMPLO 2 DE PRIM.....	22
FIGURA 2.10 ETAPA 1.1 ANTES.....	23
FIGURA 2.11 ETAPA 1.1 DESPUÉS.....	23
FIGURA 2.12 ETAPA 1.6 ANTES.....	23
FIGURA 2.13 ETAPA 1.6 DESPUÉS.....	23
FIGURA 2.14 ITERACIÓN 0: PRIM-DIJKSTRA.....	26
FIGURA 2.15 ITERACIÓN 1: PRIM-DIJKSTRA.....	26
FIGURA 2.16 ITERACIÓN 2: PRIM-DIJKSTRA.....	26
FIGURA 2.17 ITERACIÓN 3: PRIM-DIJKSTRA.....	27
FIGURA 2.18 ITERACIÓN 4: PRIM-DIJKSTRA.....	27
FIGURA 2.19 ITERACIÓN 5-7: PRIM-DIJKSTRA.....	27
FIGURA 2.20 ITERACIÓN 8: PRIM-DIJKSTRA.....	28
FIGURA 3.1 MÉTODO DE AGRUPACIÓN DEL ALGORITMO.....	39
FIGURA 3.2 AGRUPACIÓN FINAL DE LOS BACKBONE CON SUS NODOS TERMINALES.....	40
FIGURA 3.3 AGRUPACIÓN FINAL, YA INTERCONECTADOS TODOS LOS NODOS.....	41
FIGURA 3.4 ÁRBOL CON SECUENCIA BASADA EN SALTOS.....	42
FIGURA 3.5 EJEMPLO DE COMPLEJIDAD CON ENLACES DIRECTOS.....	43
FIGURA 3.6 EJEMPLO PARA HACER LA MATRIZ DE DATOS SP_DIST Y SP_PRED.....	44
FIGURA 3.7 EJEMPLO PARA HACER LA MATRIZ DE DATOS S_LIST Y D_LIST.....	45
FIGURA 3.8 TOPOLOGÍA ESTRELLA.....	46
FIGURA 3.9 DISTRIBUCIÓN DE LOS NODOS UTILIZADOS PARA ESTA INVESTIGACIÓN.....	49
FIGURA 3.10 RESULTADO OBTENIDO DE LA PRIMERA PRUEBA (SIM I).....	50
FIGURA 3.11 ESQUEMA DE UTILIZACIÓN DE SIM I.....	51
FIGURA 3.12 RESULTADO OBTENIDO DE LA PRUEBA SIM II.....	52
FIGURA 3.13 ESQUEMA DE UTILIZACIÓN DE SIM II CON SU RESPECTIVO CÓDIGO DE UTILIZACIÓN.....	53
FIGURA 3.14 ÚLTIMA SIMULACIÓN DEL ALGORITMO, SIM III.....	54
FIGURA 3.15 ESQUEMA DE UTILIZACIÓN DE LA ÚLTIMA PRUEBA CON SU CÓDIGO DE UTILIZACIÓN.....	55
FIGURA 4.1 PROCESO DE OPTIMIZACIÓN.....	57
FIGURA 4.2 ESQUEMA DE MÁXIMO Y MÍNIMO DE UNA FUNCIÓN.....	58
FIGURA 4.3 DIAGRAMA DEL FUNCIONAMIENTO DEL AMPL.....	60
FIGURA 4.4 FIGURA DE LA RED DE SIMULACIÓN DE CPLEX.....	65
FIGURA 4.5 FIGURA DE LA SEGUNDA PRUEBA DE CONEXIÓN DE LA NUEVA PROPUESTA.....	66
FIGURA 4.6 FIGURA DE MODELO USANDO ENLACES DIRECTOS.....	67
FIGURA 5.1 MENTORII VS. PL.....	69
FIGURA 5.2 DIAGRAMA DE RETARDO DE SIM I DE MENTORII.....	70
FIGURA 5.3 DIAGRAMA DE RETARDO DE SIM I DE CPLEX.....	71
FIGURA 5.4 DISEÑOS FINALES DE MENTOR II Y PL RESPECTIVAMENTE.....	72
FIGURA 5.5 DIAGRAMA DE RETARDO DE SIM 3 DE MENTOR II.....	73
FIGURA 5.6 DIAGRAMA DE RETARDO DE SIM 3 DE CPLEX.....	73

Listado de Tablas

1.1 Tabla Comparativa.....	6
1.2 Tabla de Algoritmos.....	8

Introducción

El crecimiento de la comunicación de datos menciona Nicholas Osifchin (2000), el Internet y el comienzo de una convergencia que seguida de una desregulación mundial provocaron una nueva era en el establecimiento de una red y aumentaron el número de proveedores de servicio competitivos. La nueva era de las redes será capaz de transportar y procesar voz, video, datos y el tráfico de Internet a muy altas velocidades a un costo mas bajo que el actual. Esto junto con el rápido crecimiento del Internet, están llevando a una industria revolucionaria y cambiante para un entorno de negocios de las telecomunicaciones. Y como vemos en la Figura 1.1 con el pasar de los años la demanda de Internet ha aumentado considerablemente.

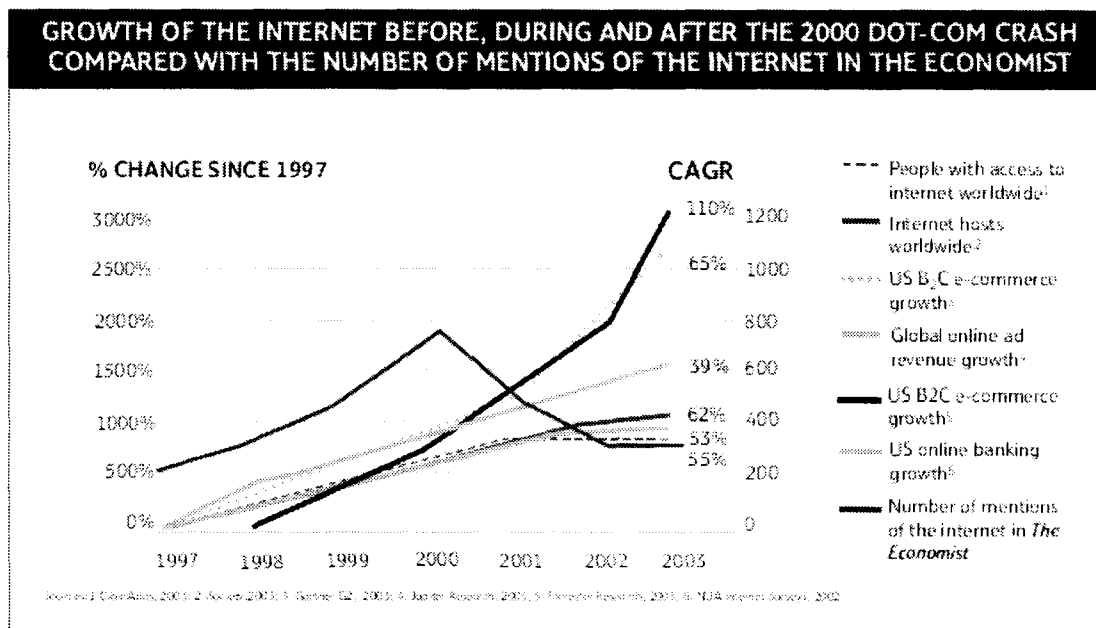
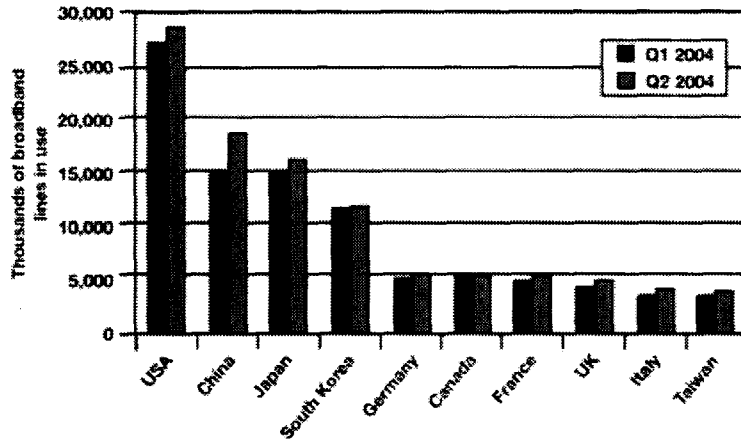


FIGURA 1.1 CRECIMIENTO DE INTERNET.
Tomado de Digital Networking Economy (White paper) 2004

El panorama mundial de la telecomunicación es marcado por una demanda creciente del ancho de banda, principalmente en el intercambio local, televisión por cable y redes corporativas privadas. Tal crecimiento es conducido por el Internet y usos del Intranet, servicios residenciales de banda ancha y servicios internacionales de alta velocidad de los datos (Pellegatta et. al, 2002).

El Sistema de fibra óptica, con sus altas tasas de la transmisión, están supliendo ya peticiones del mercado de telecomunicaciones. Los fabricantes y los portadores del sistema están mirando constantemente hacia las nuevas soluciones del transporte de datos para una transmisión a larga distancia, redes metropolitanas, así como para redes de acceso de banda ancha (Pellegatta et. al, 2002).

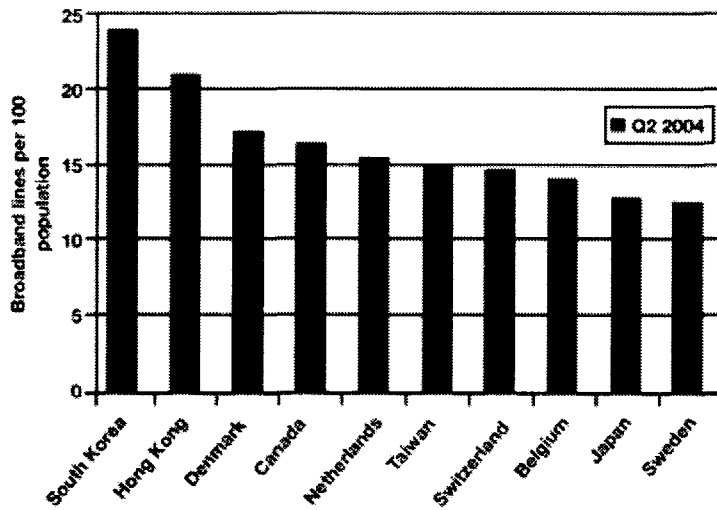


Source: Point Topic

FIGURA 1.2. LÍNEAS EN USO DE BANDA ANCHA EN EL MUNDO 2004
Tomado de Optical Metro Networks and Beyond 2004

Las nuevas compañías competitivas están ofreciendo costos más bajos y están conduciendo a la introducción de nuevos servicios y por ende a un crecimiento notable en el número de líneas de banda ancha como se muestra en la figura 1.2. Las nuevas tecnologías están emergiendo, se están reduciendo las regulaciones del gobierno, y la industria se globaliza rápidamente, incluso compañías que han funcionado tradicionalmente en ambientes nacionales. El transporte eficiente de la información se está convirtiendo en un elemento dominante en la sociedad de hoy en día. Este transporte es apoyado por una infraestructura compleja de las comunicaciones que si está implementado y operado correctamente, es un elemento invisible para los usuarios finales. Estos usuarios finales parecen estar interesados sobre todo en servicios y costos solamente (Kazovsky et al, 1998).

Mientras que los nuevos servicios se desarrollan y las necesidades de los usuarios cambian, la industria debe adaptarse modificando las infraestructuras existentes o implementando nuevas redes. Por lo tanto desafían a los expertos de telecomunicaciones a crear mapas e itinerarios hacia las infraestructuras futuras. Esto es una tarea difícil debido al incompleto conocimiento de las tendencias en las demandas del usuario y cómo la tecnología se desarrollará (Kazovsky et al, 1998).



Source: Point Topic

FIGURA 1.3 LÍNEAS DE BANDA ANCHA POR POBLACIÓN 2004
Tomado de Optical Metro Networks and Beyond 2004

Decina (2000) menciona que según la opinión de los usuarios cada vez más ven el Internet como medio importante para las comunicaciones, educación, reunión de la información, y comercio electrónico de mercancías y de servicios; por esta razón el uso de las líneas con velocidades mayores a 256 kilo bits por segundo (banda ancha) tiene una mayor demanda.

Existen dos posibilidades principales de la infraestructura de la información para la próxima década según Decina (2000): por un lado, la capacidad para construir un todo, de medios integrados, con seguridad, y una infraestructura rentable de la red con una trayectoria de transición de la situación actual a un objetivo a largo plazo; y, por el otro lado, el desarrollo de una plataforma de valor agregado de gran alcance de la creación y del despliegue de servicio.

Para el final de la próxima década dice Decina (2000), las aplicaciones de Internet constituirán una gran parte de los accesos del Internet en el mundo, con respecto a los accesos terminales para el uso humano.

1.1 Situación Problemática

El rápido crecimiento de la capacidad de la telecomunicación, conducido en parte por el vasto despliegue de la tecnología de la fibra óptica ha conducido a la creciente preocupación con respecto a la supervivencia de tales redes. En redes de comunicaciones, la supervivencia se define generalmente como el porcentaje del total del tráfico que sobrevive al fallo de alguna red en el peor de los casos. La mayoría de los modelos del diseño de redes propuestos hasta la fecha aseguran

indirectamente la supervivencia de la red invocando una restricción de la conectividad, para un número especificado de trayectorias entre cada par distinto de nodos en la red (SooMyung et al, 1999).

Con la integración de la computadora y de las tecnologías de comunicación y la rápida maduración de las técnicas ópticas de comunicación de la fibra, las redes de telecomunicación de hoy pueden proporcionar servicios rápidos y de alta calidad a las empresas mencionan Zhou y Subramaniam (2000).

¿Cómo prevenir la interrupción del servicio, y reducir la pérdida de servicio a un mínimo si la interrupción es inevitable?, Se convierte en una problemática crítica de acuerdo con Zhou y Subramaniam (2000); es decir, la supervivencia debe ser considerada al diseñar redes de telecomunicación. La supervivencia de una red se refiere a la capacidad de una red para proporcionar servicio continuo en la presencia de fallas.

La capacidad de una red de soportar y de recuperarse de fallas según Zhou y Subramaniam (2000), es uno de los requisitos más importantes de redes. Su importancia se magnifica en redes de fibra óptica con rendimientos de salida del orden de gigabits y de terabits por segundo.

Las organizaciones modernas en estos tiempos necesitan funcionar de manera rápida y mucho más eficiente para mantener su estado de competitividad. Existe una clara necesidad por las computadoras y sistemas de comunicaciones la cual permite a las personas poder trabajar juntos como si estuvieran dentro de la misma oficina a pesar de las distancias. La flexibilidad y aplicabilidad de estos sistemas se están viendo de manera muy vital en este mundo actual de negocios (Norris y Pretty, 2000).

La mayoría de las empresas operan en diferentes ubicaciones geográficas; la administración de estas organizaciones necesita tener un conocimiento actualizado de sus operaciones geográficamente dispersas para dar un mejor servicio a sus clientes, hacer frente a la competencia y vigilar de cerca las actividades críticas. Así las redes de telecomunicaciones permiten recolectar, procesar y distribuir de una manera veloz la información. También permiten tener servicios de valor agregado a las operaciones diarias de la empresa según Hernández (1994).

La demanda por obtener información de multimedia de las redes esta aumentando día con día. El diseñar algoritmos que distribuyan la información con garantías de calidad del servicio (QoS) en sistemas de tiempo real ha sido un problema de gran importancia para los investigadores (Huang, 2002).

Las fibras ópticas como medio de transmisión de redes se están convirtiendo rápidamente en el mayor medio de telecomunicaciones en redes MAN (Metropolitan Área Network) y WAN (Wide Área Network) debido a su gran

ancho de banda, su alta velocidad y su baja pérdida (Liu; Jaekel y Bandyopadhyay, 2002).

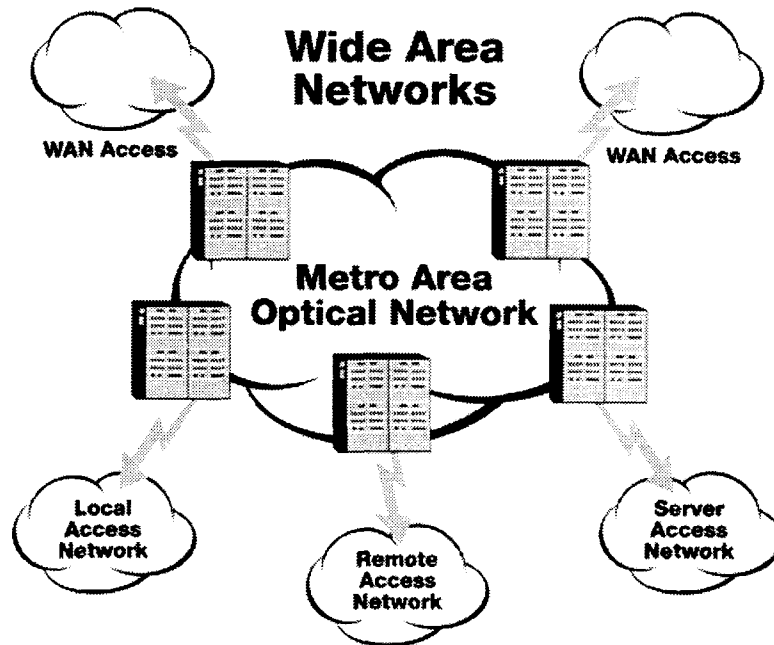


FIGURA 1.4 REDES LAN-MAN-WAN
Tomado de Building 10-Gig/DWDM MANs) 2000

El diseñador de la red debe aspirar a proveer una infraestructura de información que permita a la organización responder al mercado desarrollando fuentes disponibles, dondequiera que se encuentre. La red debe proveer fácilmente acceso seguro a la información dondequiera que esta se encuentre almacenada, y no debe requerir que el usuario final aprenda los detalles de la red cada vez que exista algún cambio. La figura 1.4 nos ilustra los elementos básicos de una red metropolitana y su relación con el acceso a larga distancia. Para tener una red se debe de tener una visión clara de los problemas claves (Norris y Pretty, 2000):

- Requisitos del usuario (servicios a soportar, características del tráfico, desempeño, capacidad de procesamiento, etc.);
- Necesidades empresariales (¿cuánto va a costar la red?, ¿cuan flexible y expandible necesita ser?, y ¿cómo encaja con las fuentes de redes existentes?);
- La manera de trabajar (un método sistemático para la combinación de usuario y empresa, necesidades y elecciones, integración y adaptación apropiada del equipo) (Norris y Pretty, 2000).

El diseño de redes es un poco compleja: una parte es científica, la otra concierne la habilidad o experiencia para diseñarlas. En muchas formas es lo mismo que cualquier otro diseño en el cual se establecen los requerimientos, encontrar los componentes relevantes, ajustarlos, integrar el conjunto en un todo, hacer pruebas sobre su funcionalidad y por último publicarlo para uso general (Norris y Pretty, 2000).

La planeación de las redes es algo complicado introduciendo varias limitantes como lo es el causado por los pros y contras de ciertos factores deseados. Muchos de los problemas en las tareas de administración y control de redes y la evaluación del desempeño deben ser estudiados más a fondo (Wei, 2003).

El diseño de una red es un reto interesante, demanda a los diseñadores a poner en la balanza las expectativas del desempeño con los costos de la red, capacidad, confiabilidad y utilización. Los operadores de las redes quieren mantener la utilización a niveles altos y los costos bajos. Las redes son una mezcla complicada de aplicaciones, protocolos, dispositivos, tecnologías de enlace, tráfico y algoritmos de ruteo. Generalmente hay miles de configuraciones posibles, y cada una con diferentes atributos de desempeño y costos (W. Bragg, 2000).

Las telecomunicaciones están evolucionando hacia un escenario caracterizado por la variedad de proveedores compartiendo fuentes y ofreciendo redes interconectadas. La evaluación del desempeño es una tarea fundamental para los operadores de las redes. Una razón es la búsqueda por un incremento en la satisfacción del cliente por medio de la detección rápida de fallas en la red; todo esto por medio de análisis estadísticos del comportamiento de la misma (Bertocco, Tittoto, Rizzi y Benetazzo, 2002).

Basándonos un poco en Norris y Pretty, (2000), establecen que para el proceso de diseño de redes, se deben de tener en cuenta cinco puntos importantes mostrados en la tabla comparativa 1.1.

1.1 Tabla Comparativa

Diseño de Redes
Autor: Norris y Pretty
<p>Requerimientos -derivado de la declaración de que es lo que el cliente quiere de la red que se va a empezar a construir. Idealmente esto empieza desde la necesidad comercial. La declaración de lo que se requiere debe ser lo suficientemente detallada para que el diseño propuesto deba ser probado para su aceptación. Por consiguiente deberá contener declaraciones tanto cuantitativas como cualitativas.</p>
<p>Diseño de la arquitectura -examinar los diferentes caminos en los cuales los requerimientos pueden ser conocidos y propuestos (usualmente después de presentar una lista corta al cliente) y cual opción debe ser adoptada. El diseño resultante debe dar una buena idea del tipo de tecnología a usarse.</p>

Diseño de nivel superior -aquí muestra de manera anticipada el volumen del tráfico, los tipos y mezclas que pueden transmitirse en el diseño final. Muestra como la red será implementada en términos físicos y como fluirá el tráfico. También determina el número y la capacidad requerida de circuitos, terminales, etc.

Implementación del diseño -enfocándose en el aspecto lógico, así como en nombrar y direccionar las políticas del ruteo del tráfico. Verifica que los parámetros establecidos en los requerimientos sean factibles y que la capacidad correcta de los enlaces este disponible entre las localidades correspondientes.

Caso del negocio -esto cubre la parte capital y el actual gasto y deberá cubrir costos secundarios como lo es la actualización de software y hardware, mantenimiento general, licencias y servicios contratados.

Los procesos mostrados por Norris y Pretty en la parte de diseño de arquitectura y diseño de nivel superior son los procesos a destacar para este trabajo.

Dentro del diseño de las redes de telecomunicaciones encontramos ciertos aspectos y parámetros que son considerados importantes, tales como la optimización de la misma red tal y como se ha mencionado en párrafos anteriores.

Uno no diseña las redes de manera efectiva por suerte, existen técnicas a ser usadas, instrucciones a seguir, lecciones debido a la experiencia a ser aplicadas. Hay una gran variedad de ejemplos de redes que proveen competitividad y beneficios, enriquecen el trabajo de los usuarios diariamente, incluso contribuyen al entorno por medio de la reducción de un viaje innecesario. También existen ejemplos de redes que no han sido lo esperado o lo suficientemente efectivas como se esperaba, lo que ha llevado solamente a la pérdida de tiempo y dinero. (Norris y Pretty, 2000).

Los procedimientos o pasos para la búsqueda de soluciones óptimas a estos problemas de diseño de redes de telecomunicaciones son los llamados *Algoritmos* o metodologías de optimización. Por ejemplo la programación lineal es un procedimiento bien definido que encuentra un punto extremo óptimo o determina que el problema no es factible o que es ilimitado. Mucha de la investigación en centros de optimización gira en torno a encontrar, mejores y más eficientes algoritmos para resolver problemas (R. Evans y Minieka, 1992).

Otro de los autores menciona también como la importancia del algoritmo evolutivo (EAs) como una herramienta poderosa para la optimización en ingeniería, y esto ha sido mostrado ampliamente a través de los últimos años con una vasta cantidad de aplicaciones. Pero uno de los problemas al utilizar estos algoritmos (EAs) en aplicaciones prácticas es el cómo diseñar la función adecuada (Zeng, Ding y Kang, 2002).

En la tabla 1.2 vemos una recopilación de algunos algoritmos utilizados para la optimización de redes cada uno con sus características propias de un algoritmo único; aunque aquí sólo hay algunos, no quiere decir que son todos, existe una gran variedad de ellos.

1.2 Tabla de Algoritmos.

Algoritmos
<p style="text-align: center;">> <i>Algoritmos Genéticos</i></p> <p>Los algoritmos genéticos, son algoritmos de búsqueda robusta para optimización basados en los mecanismos de selección natural y genética. Presenta una búsqueda envolviendo a una población de solución de candidatos a través de operandos no determinísticos (Sayoud y Takahashi, 2001).</p>
<p style="text-align: center;">> <i>Algoritmo "Flow Deviation (FD)"</i></p> <p>Este algoritmo encuentra un conjunto de rutas o trayectorias que minimizan el atraso, dada (a topología de la red y un conjunto de requerimientos. Se asume una teoría de colas para calcular el atraso en los enlaces. El problema se enfoca en el atraso en los enlaces, sin considerar el atraso en los nodos, ya que no influye en gran manera en el análisis que se describe (Beltrán, 1996).</p>
<p style="text-align: center;">> <i>Algoritmo de Bertsekas-Gallager (BG)</i></p> <p>Otro algoritmo utilizado es el propuesto por el Doctor D. Bertsekas y R. Gallager (Beltrán, 1996). Este define el algoritmo en 2 formas:</p> <ol style="list-style-type: none"> 1. Se mueve un par fuente-destino a la vez. 2. Se calcula la cantidad de flujo a mover directamente, en lugar de establecer una línea de búsqueda binaria. <p>El algoritmo BG calcula la cantidad de flujo a mover mediante una aproximación de la segunda derivada d^2 de atraso con respecto al flujo, y utilizando este valor como un factor de corrección.</p>
<p style="text-align: center;">> <i>Algoritmo MENTOR</i></p> <p>El algoritmo MENTOR ("Mesh Network Topology Optimizaron and Routing) sirve para generar la red "backbone" con las redes de acceso de topología estrella. Inicializando uno de sus parámetros a un cierto valor, considera todos los nodos como conmutadores y genera la red de "backbone" únicamente (Beltrán, 1996).</p>

Este estudio es importante ya que existen muchos y variados algoritmos como se muestran en esta tabla, el asunto aquí es el hecho de que cada algoritmo llega a cierto puntos de optimización y lo que se quiere lograr con este trabajo es

llegar a los puntos mas óptimos de estos algoritmos, es decir, llegar lo más cercano al mejoramiento en cuanto a desempeño, costos y confiabilidad de redes, pero estos algoritmos no solo trabajan sobre un tipo de localización de nodos, sino que pueden diseñar redes independientemente de su localización, es por ello que, es importante establecer y poder mostrar que el algoritmo Mentor II utilizado en este trabajo funciona bajo estas circunstancias.

1.2 Planteamiento del Problema

Al diseñar una red se debe tener en cuenta dos preguntas que se hacen constantemente: ¿Cuánto dinero se necesita invertir para tener una red con mayor utilización?, ¿qué tipo de mejoría de la red se puede comprar? Y ¿qué mejora se le puede hacer a la red? (Cahn, 1998)

La respuesta a ambas preguntas dependerá del costo del servicio básico de la red y de los componentes de la misma. Si los servicios están disponibles y son baratos, es posible que se decida no construir una red en absoluto sino simplemente utilizar la red pública. Si la red pública no satisface la necesidad o no ofrece lo necesario para la empresa como por ejemplo, garantías de rendimiento, en ese caso no habrá otra alternativa más que construir la red. En cualquier caso concentrarse en las técnicas de algoritmos nos ayudara a responder las siguientes preguntas: ¿Qué tan barata puede ser la red? Y ¿cómo debe de ser la red? (Cañan, 1998).

El problema de una transmisión de datos efectiva envuelve el diseño de sub-redes de comunicación. Un problema crítico en el diseño de redes es encontrar redes de comunicación que tanto el costo de las trayectorias seleccionadas entre par de nodos sea minimizado, y las limitantes de la capacidad de la red y su confiabilidad sean conocidas. El problema de diseño de redes da origen a un problema de optimización (Lo, 2000).

En el proceso de diseño de redes existen 2 factores importantes que deben ser tomados en cuenta: el rendimiento y confiabilidad. La confiabilidad en particular puede ser descrita de muchas maneras, existen 2 que son las más comunes. La confiabilidad del sistema está definido como la probabilidad de que el sistema este operando cierto tiempo. Esta medida de confiabilidad es de especial importancia para redes que deben estar operando 24 hrs.; como sería el caso por ejemplo de las redes de un hospital donde la vida de paciente podría depender de que cierto sistema permanezca funcionando. Por otro lado la accesibilidad es más adaptable para redes que deben operar en base a horarios en lugar de hacerlo continuamente. En una organización donde los negocios se hacen a través de las redes es necesario que funcionen la mayor parte del tiempo para minimizar pérdidas en los negocios (Sauvé y Silva, 2001).

Toda red tiene tres características: costo, desempeño, y confiabilidad. Ninguna de estas características es tan fácil de cuantificar. El diseñador debe presentar la red y decir que el costo es \$100,000/mes, el promedio de retraso es 92 milisegundos, y la confiabilidad es de 0.9889; otro diseñador podría presentar la misma red y describir el costo de \$99,720, el retraso de 97 milisegundos, y la confiabilidad como 0.991. Probablemente ninguno este equivocado. Ambos están haciendo su mejor esfuerzo. El desacuerdo podría ser porque ellos están utilizando diferentes tarifas y diferentes modelos de redes (Cahan, 1998).

En esta situación los autores (Arabas y Kozdrowski, 2001) manejan que los algoritmos evolutivos (EAs) en las telecomunicaciones han tenido un despunte bastante interesante, especialmente en el campo de diseño de redes, ruteo, asignación de frecuencias, planeación de capacidad, control de admisión y administración de redes entre otras.

Las redes reales son construcciones multidimensionales. Tienen costo, desempeño y confiabilidad. Por separado, ninguno de estos factores puede dar suficiente información para decidir el valor de la red. Si dos redes tienen diferente costo, la pregunta en la mente del diseñador deberá ser, ¿qué obtengo por dinero extra? (Cahan, 1998).

1.3 Objetivo

1.3.1 Objetivos Generales:

El objetivo de este trabajo es comparar los resultados del algoritmo MENTOR II con la solución óptima obtenida utilizando métodos de programación lineal a través de un paquete llamado CPLEX el cual resuelve la optimalidad de los problemas matemáticos que se le introduzcan.

El problema es el análisis de algoritmos para diseño de redes ópticas y la comparación de estos algoritmos con la solución "óptima" de la red utilizando técnicas de optimización de programación matemática o programación lineal. MENTOR II (Cahan, 1998) es uno de los algoritmos ampliamente conocidos para el diseño de redes de telecomunicaciones que optimiza el costo, eficiencia, y confiabilidad de la red. Este trabajo consiste en comparar el algoritmo MENTOR con la solución óptima obtenida utilizando métodos de programación lineal y un paquete de optimización llamado CPLEX.

CPLEX optimiza el problema matemático que se le da de entrada y da una solución muy aproximada a la solución óptima y en la mayoría de los casos encuentra la solución óptima. En este trabajo se hará un estudio estadístico comparativo de estas formas de diseñar redes telecomunicaciones (MENTOR vs.

técnicas de PL). El análisis estadístico pretende comparar una muestra significativa de diferentes topologías. La comparación se hará en base a costo, confiabilidad y eficiencia de las redes diseñadas por las dos técnicas.

Al querer definir qué es óptimo para este trabajo, se tomó en cuenta muchos factores tanto lo que se busca en la investigación así como la diversidad de conceptos de cada autor, dentro de los cuales tenemos algunos de ellos a continuación:

Podemos decir que optimalidad es tener redes en las cuales se presentan de manera confiable, con el desempeño establecido, buscando un costo adecuado a cada situación problemática presentada.

Usualmente en muchos casos no es fácil obtener la solución óptima o simplemente no se puede encontrar la solución óptima como concepto tradicional. En estos casos, la estrategia es escoger la "solución satisfactoria" en lugar de la "solución óptima" (Xianhai, Weidong y Dúo, 2003). Entendiendo como solución satisfactoria el hecho de ser una solución cercana o lo más posible a lo esperado en la investigación.

El problema en sí es la gran variedad de técnicas de optimización de redes y que todas ellas llegan a ciertos niveles de optimización y cada una busca su propio punto de optimización, es por ello que se busca mejorar estos rangos a un nivel de optimalidad algorítmica.

1.3.2 Objetivos específicos:

Analizar, utilizando métodos estadísticos, los diferentes tipos de topologías y determinar, con un número aceptable de muestras (topologías), el grado de confiabilidad del algoritmo MENTOR II con respecto a optimizar costo, retardo y confiabilidad.

Se entiende como algoritmo óptimo aquel que cumple con las características de optimización de redes, en el cual entran los rangos del desempeño de la red, la confiabilidad y los costos de la misma.

Muestra:

Distintas topologías clasificadas de acuerdo a:

- Localización de Nodos
- Tráfico
- Distancia
- Costo de Línea

Variables:

- Costo (tráfico, distancia, localización de nodos)
- Confiabilidad
- Retardo

Medición de variables:

Los instrumentos a utilizar para mejorar las redes estarán basados en dos métodos: el Algoritmo MENTOR II y programación lineal basándonos en CPLEX

Teoría de Grafos

En esta parte empezaremos a darle estructura a la teoría para el diseño de redes metropolitanas; dentro de lo básico encontramos los grafos, árboles y rutas mas cortas que nos ayudarán a determinar la mejor estructura de la red en base a los puntos importantes dentro del objetivo. Después entraremos un poco más en lo establecido de los parámetros como son los costos, el tráfico y la confiabilidad de la red. Y ya dentro del tercer capitulo veremos de manera mas explícita el algoritmo a utilizar, que en este caso es MENTOR II.

2.1 Grafos y Árboles.

Un grafo es un objeto matemático que se utiliza para representar circuitos, redes, etc. Los grafos son muy utilizados en computación, ya que permiten resolver problemas muy complejos.

Imaginemos que disponemos de una serie de ciudades y de carreteras que las unen. De cada ciudad saldrán varias carreteras, por lo que para ir de una ciudad a otra se podrán tomar diversos caminos. Cada carretera tendrá un costo asociado (por ejemplo, la longitud de la misma). Gracias a la representación por grafos podemos elegir el camino más corto que conecta dos ciudades, determinar si es posible llegar de una ciudad a otra, si desde cualquier ciudad existe un camino que llegue a cualquier otra, etc.

El estudio de grafos es una rama de las matemáticas muy importante. Estudiaremos primero sus rasgos generales y sus recorridos fundamentales, para tener una buena base que permita comprender los algoritmos que se pueden aplicar.

Un grafo consta de vértices (o nodos) y aristas (o arcos). Los vértices son objetos que contienen información y las aristas son conexiones entre vértices. Para representarlos, se suelen utilizar puntos para los vértices y líneas para las aristas.

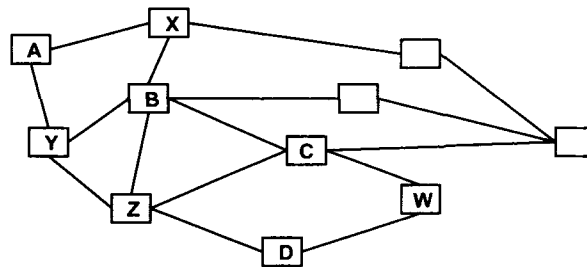


FIGURA 2.1 GRAFO.

- Un camino (walk) es una secuencia de nodos (n_1, n_2, \dots, n_k) en la que cada par de nodos adyacentes es un arco.

Un camino entre dos vértices es una lista de vértices en la que dos elementos sucesivos están conectados por una arista del grafo. Así, el camino AJLOE es un camino que comienza en el vértice A y pasa por los vértices J, L y O (en ese orden) y al final va del O al E. El grafo será conexo si existe un camino desde cualquier nodo del grafo hasta cualquier otro. Si no es conexo constará de varias componentes conexas.

- Una ruta (path) es un camino sin nodos repetidos

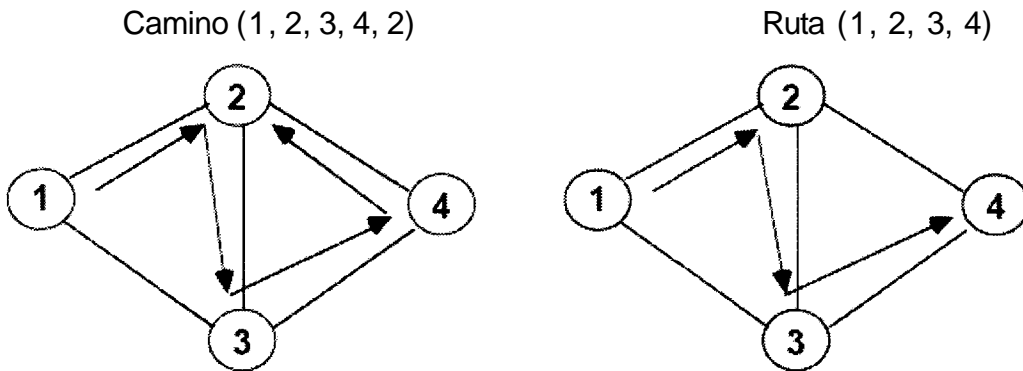


FIGURA 2.2 CAMINO (A) Y RUTA (B)
Tomado de Enrutamiento de amplia difusión (broadcast). (2000).

- **Longitud de un camino:** número de arcos del camino.

Un camino simple es un camino desde un nodo a otro en el que ningún nodo se repite. Si el camino simple tiene como primer y último elemento al mismo nodo se denomina ciclo. Cuando el grafo no tiene ciclos tenemos un árbol (ver figura 2.3). Varios árboles independientes forman un bosque. Un árbol de expansión de un grafo es una reducción del grafo en el que solo entran a formar parte el número mínimo de aristas que forman un árbol y conectan a todos los nodos.

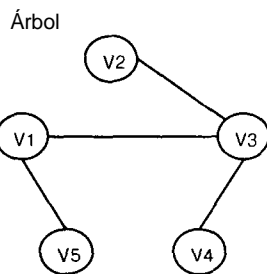


FIGURA 2.3 ARBOL

Las aristas son la mayor parte de las veces bidireccionales, es decir, si una arista conecta dos nodos A y B se puede recorrer tanto en sentido hacia B como en sentido hacia A: estos son llamados grafos no dirigidos. Sin embargo, en ocasiones tenemos que las uniones son unidireccionales. Estas uniones se suelen dibujar con una flecha y definen un grafo dirigido.

Cuando las aristas llevan un costo asociado (un entero al que se denomina peso) el grafo es ponderado. Una red es un grafo dirigido y ponderado.

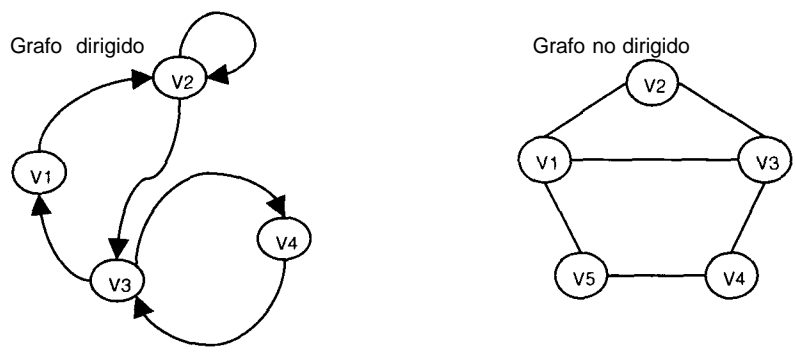


FIGURA 2.4 TIPOS DE GRAFOS

- Un ciclo es un camino (n_1, n_2, \dots, n_k) con $n_1 = n_k$, $k > 3$, y sin nodos repetidos excepto $n_1 = n_k$

Ciclo (1,2,4,3,1)

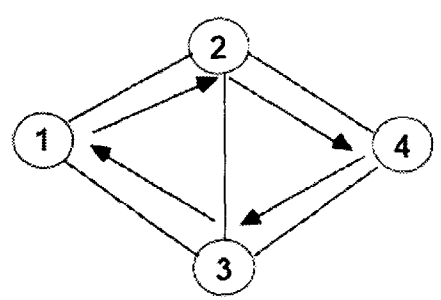


FIGURA 2.5 CICLO
Tomado de Enrutamiento de amplia difusión (broadcast). (2000).

- $G' = (N', A')$ es un subgrafo de $G = (N, A)$ si:
 - > G' es un grafo

- > N' es un subconjunto de N
- > A' es un subconjunto de A
- Un subgrafo se obtiene eliminando nodos y arcos de un grafo:
- Nota: los arcos adyacentes a un nodo eliminado también deben ser eliminados

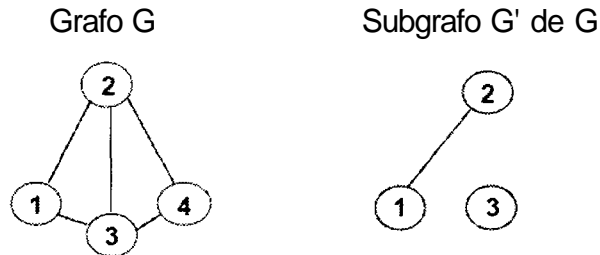


FIGURA 2.6 SUBGRAFOS
Tomado de Enrutamiento de amplia difusión (broadcast). (2000).

2.2 Generación de Población para los nodos.

Al tener una noción más clara de lo que son los grafos podemos continuar con la delineación de la red. Como ya sabemos, se planea desarrollar una red de área metropolitana (MAN) y cada nodo de la misma debe tener cierta población que a su vez genera un tráfico y un costo para el diseño de la red.

Ahora ya que tenemos esta información empezaremos a generar lo que es nuestra población, con la ayuda del posicionamiento de cada nodo, el cual se presenta a continuación.

En el mundo real existen 2 sistemas de coordenadas utilizadas, la vertical-horizontal (V&H) y latitud-longitud (L&L). Básicamente el sistema de coordenadas V&H permiten procesos computacionales de manera simplificada (Cahn, 1998).

Si dos ciudades tienen coordenadas (v_p/z_p) y (v_2/i_2) , entonces la distancia entre ellas es calculada para el propósito de las tarifas por la fórmula:

$$\bullet dist = \text{ceil} \left(\sqrt{(dv*dv)/10 + (dh*dh)/10} \right) \quad (2.1)$$

$$dist = \text{ceil} \left(\sqrt{\frac{dv^2}{10} + \frac{dh^2}{10}} \right) \quad (2.2)$$

donde $dv = v_j - v_i$, y $dh = h_j - h_i$. La función ceil regresa el número entero más pequeño mayor o igual al número.

La distancia será utilizada para las tarifas de los circuitos entre dos localidades. Las tarifas de circuitos especifican que el cargo al consumidor es calculado utilizando una línea directa entre los puntos finales (Cahn, 1998).

Para estar dentro de los propósitos de esta tesis y poder presentar un trabajo consistente y tener un punto de referencia, se apoyó el esquema de coordenadas utilizados en el ejemplo mux1 del programa Deite para diseño de redes, en el cual también se plantea una cantidad de población (Pop) constante, y las coordenadas Vertical (V) y horizontal (H) fijas. El cual se muestra en la tabla siguiente:

Nodo	Pop	V	H
1	1	6624	2555
2	1	5975	3690
3	1	7996	2543
4	1	7220	2715
5	1	6564	2394
6	1	5265	3232
7	1	5876	3163
8	1	8109	3692
g	1	7421	4044
10	1	7425	4467
11	1	7602	2480
12	1	6977	2gg5
13	1	6096	4900
14	1	6643	3268
15	1	6918	4483

Con lo anterior se crean 2 vectores, los cuales serán utilizados por el algoritmo MENTOR II. Continuaremos con la obtención del tráfico por medio de las fórmulas propuestas en la sección 2.4.

2.3 Generación del Tráfico de la red.

Las redes futuras deberán servir a nivel cliente, en lo que incluya paquetes de red, como por ejemplo Internet, el cual tiene un alto patrón de dinamismo en cuanto a conexión y una porción significativa de flujo de tráfico intermitente entre los pares comunicantes. Se requerirá para esto una mayor cantidad de conexiones y la reserva de ancho de banda para cada conexión para evitar un excesivo retraso en el ingreso de los ruteadores (Conferencia Internacional de Telecomunicaciones, 2003).

Generalmente, es el diseñador de la red quien determina como modelar el tráfico de cada población. Esto puede ser hecho tomando en cuenta registros personales, inventarios, información de la administración de red, o lo que se tenga a la mano (Cahn, 1998).

Para Cahn según Mendoza, si la población es homogénea, se puede utilizar un modelo basado en fenómenos físicos y establecer que el tráfico entre las poblaciones es una función de la población a alguna potencia dividida por la distancia elevada a otra potencia, en otras palabras:

$$Traf_a = a * \frac{(Pop_i * Pop_j)^{Pop_Power}}{(dist(i, j))^{Dist_Power}} \quad (2.4)$$

Si se toma un modelo basado en la atracción gravitacional, tendríamos $Pop_Power = 1$ y $Dist_Power = 2$. Si se considera un modelo basado en la teoría de magnetismo, entonces $Pop_Power = 1$ y $Dist_Power = 3$. Cabe mencionar que se hace notar que existen redes en donde el tráfico es fuertemente dependiente de la distancia y otras redes en donde el tráfico tiene poca relación con la distancia. Si el tráfico es independiente de la población, entonces $Pop_Power = 0$. Obsérvese que se está utilizando a como un factor de escalamiento para colocar el tráfico en el rango que se desea (Cahn, 1998).

Al hacer este estudio se puede notar que en algunas poblaciones el valor numérico es de 7 dígitos y que la distancia entre ellas es de alrededor de 5 dígitos. Por lo tanto el producto de la población por la distancia tendría una magnitud de nueve dígitos mayores que la distancia, y el efecto de la distancia se perdería. Para normalizar los cálculos se define:

$$Pop_max = \max Pop_i \quad (2.5)$$

Y

$$dist_max = \max dist(i, j) \quad (2.6)$$

Además se definen dos pequeños números reales, positivos, Pop_{diff} y $Dist_{off}$. La finalidad de $Dist_{diff}$ es evitar la división entre 0. El propósito de Pop_{off} es evitar que el tráfico hacia y desde pequeños nodos sea 0 (Cahn, 1998). Entonces tenemos que la función utilizada para la generación de tráfico es la siguiente:

$$Traf_a = \frac{(Pop_i * Pop_j)^{Pop_Power}}{[Pop_max - Pop_{off}] \sqrt{\frac{L_i - L_j + Dist_{off}}{dist_max}}} \quad (2.7)$$

2.4 Cálculo del Costo de la red.

El requerimiento de ancho de banda de una conexión típica de redes ópticas es referido a la demanda de tráfico. Es por ello que uno de los problemas en el diseño del "backbone" de la red es a causa de conectores ópticos (OCX) de diferentes niveles de ancho de banda y por ello se necesita minimizar la parte del costo de los puertos de conectores ópticos. (H. Zhu, K. Zhu, Zang, y Mukherjee, 2003).

El costo del diseño de la red dependerá del número de líneas a utilizar así como estas líneas varían en cuanto al ancho de banda y la distancia total recorrida entre los puntos de conexión; también esta el costo del equipo (enrutadores, switches, cross-connectors, etc.) que dependerá tanto del ancho de banda como del número de entradas y salidas de la topología a utilizar. Para esta investigación se utilizó lo que Cahn (1998) llama generador lineal de costo basado en distancias. El costo por kilómetro (o milla), se plantea de la siguiente manera.

Las tablas necesarias para el generador de costos son:

- > Tabla con las coordenadas de localización de cada uno de los nodos en V&H.
- > Tabla de tarifas como la que se muestra a continuación (Cahn, 1998).

Link-Type	Fixed Cost	Dist Cost	Dist1	Dist Cost2
D64	900	24.35	300	0.95
F128	1950	4.80	100	3.00
T1	4500	10.25	200	7.00
E1	5550	12.50	200	9.50

Los resultados de este generador de costos es una matriz de tamaño $n*n$. Este algoritmo utiliza la siguiente condición para la generación de la tabla de costos.

$$C(i,j) = \begin{cases} [F + d*DC & d < Dist \\ [F + Disñ*DC + (d-Disñ)*DC2 & otherwise \end{cases} \quad (2.8)$$

Ya con esta información generada sabemos con exactitud del costo de conexión entre cada uno de los diferentes nodos de la red que se obtuvo en la sección anterior.

2.5 Diseño de Árboles.

Aquí veremos lo que son algunos algoritmos básicos que ocuparemos para encontrar rutas de los nodos dentro de un grafo ya sea por ruta mas corta, por costo, etc., que servirán de herramienta dentro de nuestro algoritmo de diseño de redes Mentor II.

De acuerdo con Mendoza (2004) los árboles son muy utilizados por un gran número de razones y serán utilizados como la base para muchos algoritmos y para técnicas de diseño y análisis. Primero, proveen conectividad sin agregar enlaces innecesarios. Segundo, proveen una ruta única entre cada par de nodos, se elimina el problema de ruteo (Ej., decidiendo como el tráfico debe fluir entre los nodos). Esto simplifica tanto la red como su diseño. Sin embargo, como los árboles están conectados en base a la ruta mas corta, también son muy poco confiables y robustos. Es por esto que las redes actuales se encuentran más interconectadas. Aún así, el diseño de una red parte de un árbol (Kershenbaum, 1993).

2.5.1 Minimum Spanning Trees (MST).

El árbol que se obtenga menciona Mendoza (2004) por lo general es arbitrario. Y por esta razón muchas veces es necesario encontrar el "mejor" árbol que se adapte a los requerimientos. Entonces, debemos asignar una longitud a cada enlace en la gráfica y buscar el árbol con la longitud total mínima. La "longitud" puede ser la distancia, el costo, o alguna medición de retraso o disponibilidad (Kershenbaum, 1993). Un árbol con el costo total mínimo es conocido como *minimum spanning tree*. Como definición se tiene:

"Un grafo G es medido si existe un número real asociado con cada enlace. El peso de un enlace e será usualmente denotado como $w(e)$. Y se denotara de manera usual este grafo (G, w) . Si G' es cualquier sub-grafo de G , entonces $w(G') = \sum_e w(e)$ "
(Cahn, 1998).

Se asumirá de acuerdo con Mendoza (2004) que el peso es una función w que denota el peso de los enlaces que es positivo, $w: E \rightarrow \mathbb{R}^+$. Si G esta conectado, entonces se desea seleccionar el subgrafo conectado con el peso mínimo (Cahn, 1998).

En general, si el grafo no esta conectado, se desea encontrar el *minimum spanning forest*, el cual es un conjunto de enlaces de mínimo costo total el cual conecta el grafo lo mas posible.

2.5.2.1 Algoritmo de Prim.

En ocasiones es de mucha ventaja, especialmente si la red es muy densa, el considerar una aproximación alterativa para encontrar MST's. Este algoritmo es particularmente creado para implementaciones paralelas porque puede implementar operaciones utilizando vectores (Kershenbaum, 1993). El algoritmo de Prim puede describirse informalmente como:

- Empieza con un nodo en el árbol y todos los demás nodos fuera-del-árbol.
- Mientras existan nodos fuera-del-árbol,
 - - o Encuentra el nodo fuera-del-árbol que se encuentre más cercano al árbol.
 - o Incorpora ese nodo al árbol y guarda el enlace que lo conecta con el árbol.

Existen diversas formas de explicar el algoritmo de Prim y lo mostrado por Jeltsch F. (2004) nos expresa a continuación un método de las etapas que debemos seguir:

Etapa 0: Escoge cualquier elemento r y $S=\{r\}$, A , (siendo r la raíz del Árbol Expandido Mínimo(AEM), en donde A es el conjunto de las aristas, V conjunto de vértices.

Etapa 1: Hallar los arcos adyacentes más livianos de manera que un punto final pertenezca a S y el otro en $V-S$. Agregarlos a S y los más livianos a A . Ahora, la forma de cómo ir agregándolos es considerar el arco de menor peso, de manera que un punto pertenezca a S y el otro esté en $V-S$. Si $V-S=A$, entonces se detiene y entrega el AEM, de otra manera vuelve a la Etapa 1.

La idea antes mencionada se refiere a expandir el árbol actual agregando el arco más liviano y su punto final, tal como se aprecia en la figura, es decir,

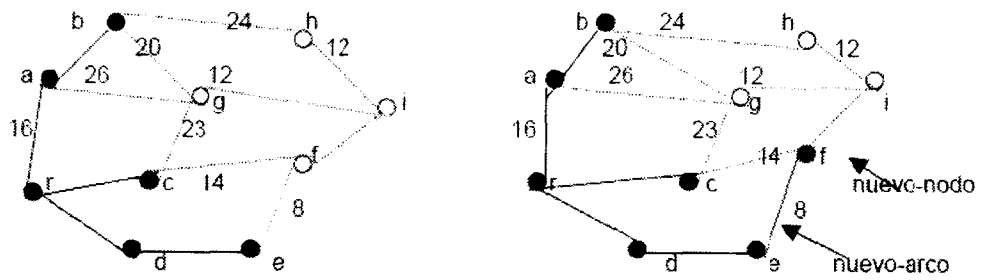


FIGURA 2.7 ARCOS.

Ejemplo de Prim:

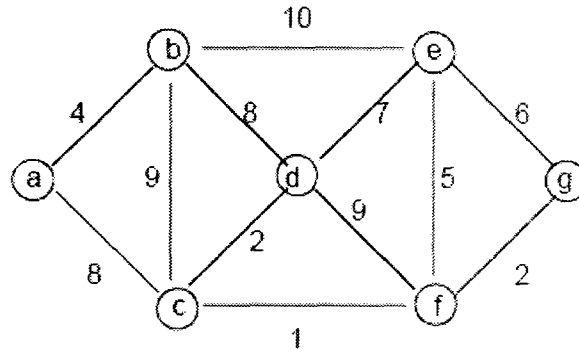


FIGURA 2.8 EJEMPLO DE PRIM.

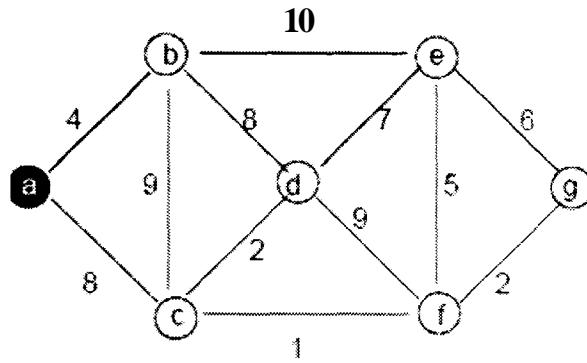


FIGURA 2.9 EJEMPLO 2 DE PRIM.

En la Fig. 2.8 se visualiza un grafo ponderado y conexo. En la Fig. 2.9 se visualiza la Etapa 0. $S=\{a\}$, $V-S = \{b, c, d, e, f, g\}$, con arco más liviano $\{a, b\}$.

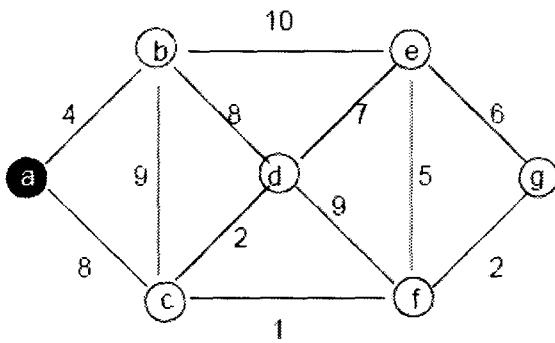


FIGURA 2.10 ETAPA 1.1 ANTES

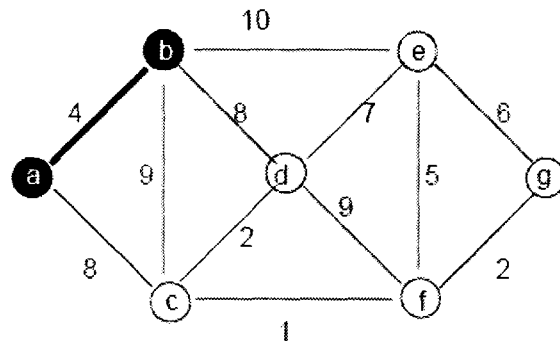


FIGURA 2.11 ETAPA 1.1 DESPUÉS.

En Fig. 2.10 se muestra la etapa 1.1, "antes", con $S=\{a\}$, $V-S=\{b, c, d, e, f, g\}$. $A=\{ \}$ y el arco más liviano $\{a, b\}$, mientras que en Fig. 2.11 se muestra la etapa 1.1, "después", en donde $S=\{a, b\}$, $V-S=\{c, d, e, f, g\}$, $A=\{ \{a, b\} \}$ y el arco más liviano es $\{b, d\}$, $\{a, c\}$. Continuando de esta manera llegamos a la Etapa 1.6 "antes", con $S=\{a, b, c, d, f, g\}$, $V-S=\{e\}$, $A=\{ \{a, b\}, \{b, d\}, \{c, d\}, \{c, f\}, \{f, g\} \}$, arco más liviano = $\{f, e\}$, como se muestra en Fig. 2.12. (Jeltsch F., 2004).

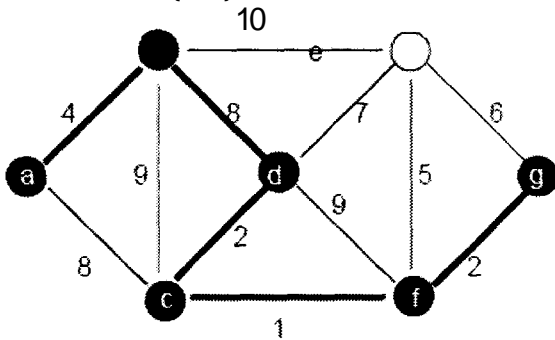


FIGURA 2.12 ETAPA 1.6 ANTES.

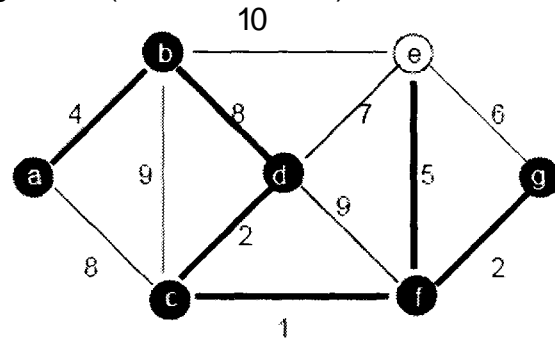


FIGURA 2.13 ETAPA 1.6 DESPUÉS.

Mientras que en Fig. 2.13 se tiene la Etapa 1.6 "después" con $S=\{a, b, c, d, e, f, g\}$, $V-S=\{ \}$, $A=\{ \{a, b\}, \{b, d\}, \{c, d\}, \{c, f\}, \{f, g\} - \{f, e\} \}$. Así, de esta manera se logra finalmente obtener el árbol. (Jeltsch F., 2004).

2.5.3 Shortest Path Tree (STP).

El problema de encontrar la distancia más corta nos dice Mendoza (2004) juega un papel muy importante en el diseño y análisis de las redes. La mayoría de los problemas de ruteo pueden ser resueltos como problemas de distancias (rutas) mínimas. Una vez que se ha asignado "longitud" apropiada a cada uno de los enlaces (o arcos) en la red (Kershenbaum, 1993).

"Dado un grafo con pesos (G,w) y nodos n_1 y n_2 , la ruta más corta de n_1 a n_2 , es la ruta P tal que $Y_i^{w(e)}$ es mínima" (Cahn, 1998).

En el problema de la distancia mínima es lograr encontrar la ruta óptima (más corta) entre uno o más pares de nodos (Robertazzi, 1999). A continuación, se trabajara con modelo de grafo dirigido y se asumirá que l_{ij} , la distancia del arco entre cada par de nodos, i y j , es conocida. Estas distancias no necesitan ser simétricas. En el caso donde no exista un arco, se asume que l_{ij} es muy largo (más largo que n veces el mas largo de los arcos de la red). Inicialmente, se asume que l_{ij} es estrictamente positivo (Kereshenbaum, 1993).

2.5.3.1 Algoritmo de Dijkstra.

Todos los algoritmos de distancias cortas se basan en la observación, la agrupación de las rutas mas cortas, esto es, si k , es parte de la ruta de i a j , entonces la ruta mas corta (i, j) debe ser la ruta más corta (i, k) seguida por la ruta mas corta (k, j) (Kereshenbaum, 1993). Entonces, se puede encontrar la ruta mas corta utilizando la siguiente función recursiva:

$$d_{ij} = \min_k (d_{ik} + d_{kj}) \quad (2.9)$$

donde d_{ij} es la distancia mas corta de la ruta de i a j . La dificultad con esta aproximación es que debe de existir alguna manera para comenzar la función recursiva, dado que no comenzamos con ningún valor conocido en la parte derecha de la ecuación. Existen varias formas de hacer esto, cada una dando principio a diferentes algoritmos (Kereshenbaum, 1993).

Una forma de proceder, como se muestra Dijkstra, es aceptable para encontrar la distancia mínima de un nodo, i , hacia todos los demás. Comienza por:

$$d_{ii} = 0 \quad (2.10)$$

y

$$d_{ij} = \infty \quad \forall j \neq i \quad (2.11)$$

determinando

$$d_{ij} = \min_{h \text{ adyacente a } i} (d_{ih} + l_{hj}) \quad (2.12)$$

Entonces, encontrar el nodo, j , con el mínimo d_{jr} y utilizarlo para tratar de mejorar las distancias de otros nodos, determinando:

$$d_{ik} = \leftarrow \min (d_{ik}, d_{ij} + l_{ik}) \quad (2.13)$$

En cada estado del proceso, el valor de d_{ik} es el estimado de la ruta mas corta de i a k y es, de hecho, la distancia de la ruta mas corta encontrada hasta el momento. Refiriéndose a d_{ik} como la etiqueta del nodo k . El proceso de utilizar un nodo para mejorar otros nodos es conocido como chequeo de nodos (*scanning node*) (Kershenbaum, 1993).

Una vez que un nodo es revisado se requiere que no se vuelva a etiquetar. Entonces, cada uno solo requiere ser examinado una vez. Si la etiqueta en un nodo cambia, debe ser nuevamente revisado (Kershenbaum, 1993).

Para hacer un poco más entendible la definición y el como funciona a continuación veremos una síntesis de los pasos a seguir junto con un ejemplo práctico de acuerdo con DaSilva (2002):

Objetivo: Dado un grafo G conectado y un nodo que sirve como raíz, encontraremos la ruta mas corta del árbol.

Hay que recordar que el algoritmo de Dijkstra sirve para encontrar la topología del árbol cuando ya se tiene una topología, es decir, encuentra el árbol (MST) y a la vez la ruta más corta en la red si se aplica a un conjunto de nodos entonces encuentra una topología tipo estrella.

Procedimiento:

1. Marcar todos los nodos como "sin examinar" y etiquetarlos con ∞ (infinito).
2. establecer la etiqueta del nodo raíz a 0 y su predecesor hacia el mismo.
3. Hacer lazos hasta que todos los nodos sean examinados
 - 3.1. Encontrar el nodo n con la etiqueta más pequeña.
 - 3.2. Marcar el nodo como "analizado".
 - 3.3. Examinar todos los nodos adyacentes, m , y checar si la distancia a la raíz a través de n es más corta que la etiqueta de m . Si es el caso, entonces actualizar la etiqueta y el predecesor.

Iteración 0: Aplicar el algoritmo de Dijkstra para encontrar la ruta más corta arraigada a D . Inicializar con el nodo D con etiqueta de valor 0 y el resto de los nodos con etiqueta ∞ .

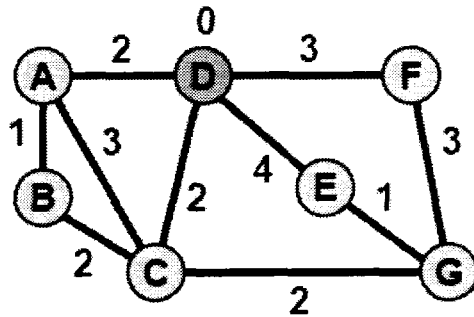


FIGURA 2.14 ITERACIÓN 0:

Iteración 1: La actual ruta mas corta para los nodos adyacentes A, C, E, y F es el enlace directo al nodo D.

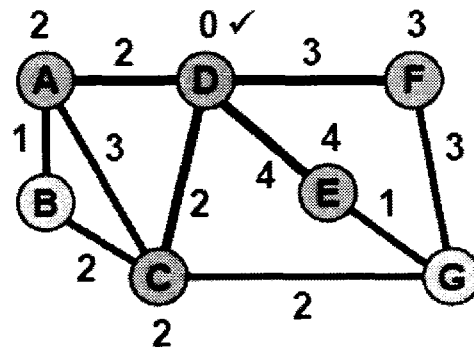


FIGURA 2.15 ITERACIÓN 1: PRIM-DIJKSTRA.

Iteración 2: Los nodos A y C tiene la menor etiqueta con valor de 2. Se toma el nodo C, ya que ofrece la trayectoria mas corta hacia el nodo D para los nodos B y G.

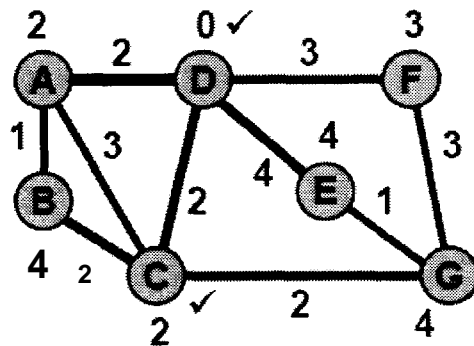


FIGURA 2.16 ITERACIÓN 2: PRIM-DIJKSTRA.

Iteración 3: El nodo A tiene la etiqueta más pequeña (2). Esto provee la ruta mas corta para el nodo B, por lo tanto el predecesor y la etiqueta de B son cambiados.

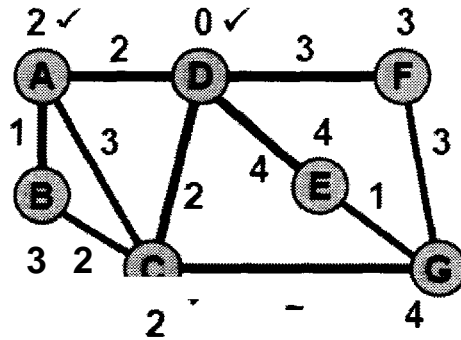


FIGURA 2.17 ITERACIÓN 3: PRIM-DIJKSTRA.

Iteración 4: Los nodos B y F tiene la misma etiqueta (3). Primero revisamos F. Esto nos da como resultado ninguna ruta nueva.

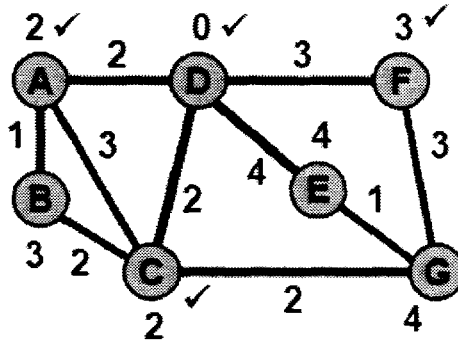


FIGURA 2.18 ITERACIÓN 4: PRIM-DIJKSTRA.

Iteración 5, 6 y 7: Los nodos B, E y G son revisados y no nos dan ninguna ruta más corta. El algoritmo termina cuando todos los nodos han sido revisados.

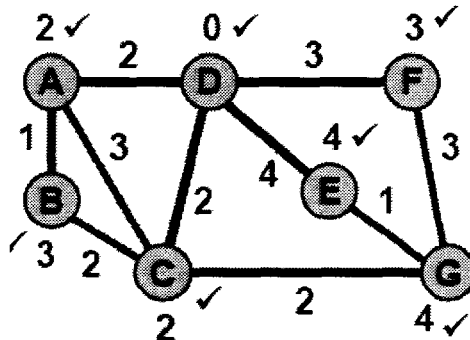


FIGURA 2.19 ITERACIÓN 5-7: PRIM-DIJKSTRA.

El algoritmo terminado ruteado hacia el nodo D, es mostrado a continuación:
La etiqueta de los nodos indican el peso de la trayectoria hacia el nodo D.

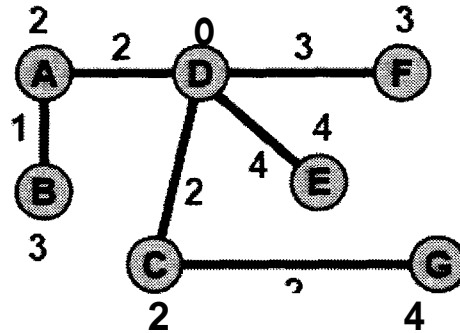


FIGURA 2.20 ITERACIÓN 8: PRIM-DIJKSTRA.

Este algoritmo puede parecer familiar nos menciona Mendoza (2004). Es casi idéntico al algoritmo de MSP de Prim. La única diferencia es que los nodos son etiquetados con una longitud de una ruta completa en vez de la longitud de un solo enlace. Nótese que también trabaja para grafos dirigidos, en donde el algoritmo de Prim solo trabaja con grafos no dirigidos. De manera estructural, sin embargo, los algoritmos son muy similares. La complejidad del algoritmo de Dijkstra, como el de Prim, es de $O(N^2)$ (Ker Shenbaum, 1993).

De acuerdo con Mendoza (2004), como el algoritmo de Prim, el algoritmo de Dijkstra es más confiable para redes densas. Su mayor defecto es que no toma ventaja de la diversidad de manera correcta y que es sólo apropiado para redes con longitudes de arco positivas (Ker Shenbaum, 1993).

2.5.4 Algoritmo Prim-Dijkstra.

Ambos algoritmos se encargan de construir árboles. El algoritmo de Prim trata de minimizar el costo de los enlaces al escoger enlaces pequeños. Sin embargo, las longitudes de ruta son demasiado largas para construir una red útil. El algoritmo de Dijkstra produce nodos en donde la mayoría del tráfico transita a través de un nodo central. Esto produce rutas mucho más cortas pero puede producir redes muy caras. Mediante el algoritmo Prim-Dijkstra es posible obtener soluciones intermedias que produzcan árboles en donde los enlaces no sean tan caros como en un árbol SPT (Shortest Path Tree) o las rutas tan largas como en un MST (Mínimum Spanning Tree), según nos dice Cahn (1998).

Nos dice Mendoza (2004) según Cahn (1998) que ambos algoritmos inician dando a cada nodo una etiqueta inicial, y en ciclos buscan entre los nodos para hallar aquél con la etiqueta más pequeña, incorporando al árbol al nodo con la etiqueta más pequeña y finalmente reetiquetando a todos los vecinos.

En ambos casos podemos en forma eficiente obtener al nodo vecino más cercano al reetiquetar los vecinos de cada nuevo nodo que se incorpora en el

árbol. La idea es construir un árbol al iniciar con un nodo e incorporando nodos al árbol al seleccionar aquél que tenga la mejor etiqueta. Para el árbol Prim-Dijkstra la etiqueta es:

$$\min_{neighbors} a * dist(root, neighbor) + dis(neighbor, node) \quad (2.14)$$

$$0 < a < 1 \quad (2.15)$$

Para dos valores de a , el significado en los árboles Prim-Dijkstra es claro: Si $a=0$, entonces se construye un árbol MST. Si $a=1$, entonces construimos un árbol SPT a partir de la raíz. Esto se observa al revisar las etiquetas usadas en el algoritmo de Prim y en el algoritmo de Dijkstra:

Algoritmo	Etiqueta
Prim's	$\min_{neighbor} dist(node, neighbor)$
Dijkstra's	$\min_{neighbor} (dist(root, neighbor) + dis(neighbor, node))$

Para valores intermedios se construirá un árbol que interpola entre un MST y un STP (Cahn, 1998).

2.6 Diseño de Redes tipo MESH.

La topología de las redes será la manera en la cual los nodos de la red son interconectados, generalmente existe una asociación jerárquica con los nodos de la red y/o acoplamientos (Sharma, 1990).

Dada la ubicación geográfica de las entidades a comunicar (transmisoras y receptoras de información), así como el tráfico entre ellas, la topología lleva a cabo 3 tareas (Hernández, 1994):

- o Decidir en qué lugares debe colocarse los nodos de red
- o Decidir cómo conectar los nodos (estrella, árbol, anillo, malla etc.)
- o Decidir cuántos enlaces se necesitan entre los nodos.

Según Aaron Kershenbaum (1993) el problema general de optimización de redes de tipo MESH para redes *backbone* es complejo. Involucra la selección de enlaces, la asignación de capacidades de los enlaces, y los requerimientos de *ruteo* en estos enlaces. Idealmente, todos los puntos anteriores son optimizados en común, con el fin de lograr redes de menores costos que cumplan con los objetivos de retraso y *throughput*.

Regresando al problema de determinar la topología para una red de tipo MESH. El objetivo es determinar qué nodos unir de manera directa. Esta decisión

no puede hacerse de manera sencilla y aislada según Aarón Kershenbaum (1993). Este proceso está muy relacionado a la decisión de qué velocidad deben tener los enlaces a usar y cómo hacer el *ruteo* del tráfico a través de la red.

La optimización de la topología de las redes de tipo MESH es claramente un problema complejo. Incluso problemas pequeños como la asignación de *ruteo* y capacidades son difíciles. Técnicas de programación integradora han sido utilizadas para ofrecer u obtener soluciones óptimas o lo más cercano a una solución óptima, pero para un número reducido de nodos (algunas docenas de nodos) (Gavish, 1990). Para problemas de tamaño práctico, la mayoría de las aproximaciones han sido heurísticas.

Las topologías de tipo MESH pueden producirse empezando con una topología, generalmente con una topología factible, y después realizar modificaciones locales agregando o eliminando enlaces. Es posible empezar con el algoritmo de *minimal spanning tree* con capacidad adecuada para soportar la carga completa a un nivel razonable de retraso. Es necesario hacer notar que en general, esta no es la red más económica dado que pueden existir un gran número de canales paralelos en cada uno de los enlaces. Estos enlaces son agregados a la red, buscando reducir el costo mientras se satisfacen los requerimientos de *throughput* retraso (Kershenbaum, 1993).

De manera alternativa, existe la opción propuesta por Maruyama (1978) de añadir enlaces que minimicen la tasa de cambio en el costo por un cambio en el retraso, esto es, procesar para cada enlace la reducción del retraso por el costo del enlace. Esto requiere de un re-enrutamiento del tráfico.

Otra posibilidad es empezar con un grafo completo y de ahí identificar el enlace a eliminar. Otra vez, es posible utilizar algoritmos de minimización de costos.

El análisis de las ramificaciones es muy utilizado. Se puede verificar el máximo número de saltos permitidos utilizando una red que satisfaga esta condición. Además tiene la propiedad de ser un procedimiento incremental. Entonces, puede ser utilizado para refinar la red que ya existe, mediante la adición o eliminación de algunos enlaces para ajustar los cambios en el tráfico en un cierto plazo sin tener que rediseñar la red por completo (Kershenbaum, 1993).

2.7 Teoría de Encolamiento para el Análisis de Retardo.

¿Qué sucede si dos sitios desean utilizar el enlace al mismo tiempo? Dos repuestas básicas: *coordinación* y *encolamiento*. Un fácil ejemplo de coordinación es *Token Ring*. Las LANs *token ring* involucra el movimiento del *token*, el cual otorga el permiso para transitar, dentro del anillo. Solo aquel que tenga el *token*

podrá transmitir. Esto es correcto en LANs donde las distancias son muy cortas y el tiempo de propagación es muy pequeño, pero no es muy bueno si las entidades que deben de ser coordinadas se encuentran a ciento o miles de kilómetros de distancia. Esto es porque el retraso de propagación del *token* para moverse por un anillo de 1000 millas de longitud sería:

$$\frac{1000}{186000} \quad (2.16)$$

o aproximadamente 5mseg. El tiempo que le toma transmitir un paquete de 1000bits a una velocidad de 16Mbps es:

$$\frac{1000}{16,000,000} \quad (2.17)$$

casi dos ordenes de magnitud menos. En el caso donde las distancias son muy largas, una aproximación más razonable es el agregar capacidad de almacenamiento al sistema y el utilizar una política de almacenamiento-y-envío para el ruteo de paquetes. Esto permite a múltiples paquetes el ocupar la red al mismo tiempo. Si se modela un enlace como un sistema de encolamiento, el objetivo es el comprender el retraso que los paquetes experimentan el pasar por el enlace. Importante es resaltar que el tiempo de servicio para un paquete de n bits en un enlace de velocidad S bps es n/S (Cahn, 1998).

La distribución de los tiempos de servicio para paquetes es una de las dos cosas que determinan el retraso a través del enlace. El otro aspecto es el proceso de arribo. El proceso de arribo es descrito por el espacio que existe entre el arribo de paquetes. Por lo tanto, el modelo depende de dos distribuciones de probabilidad: $p_{k,grb}(x)$ (o $p(x)$) de manera mas corta, el cual describe la distribución de la longitud de los paquetes, y $p_{int,an-ivib}(x)$ (o $g(x)$) de manera mas corta, que describe el proceso de inter-arribo. Si la probabilidad de distribución esta dada por la función:

$$p(x) = ce^{-cx} \quad (2.18)$$

entonces es llamada una distribución exponencial. Si ambos procesos, p y g , están distribuidos de manera exponencial, el sistema resultante de encolamiento es denotado como un encolamiento $M/M/1$.

El análisis de un encolamiento $M/M/1$ es particularmente simple y esta evocado a la derivación de bloqueo en el sistema telefónico. La tasa de arribo de paquetes al sistema de encolamiento es denotado como A , y la tasa de

procesamiento es denotada como μ . La distribución de la longitud de paquetes es entonces

$$p(x) = \lambda e^{-\lambda x} \quad (2.19)$$

y el espacio entre el arribo de paquetes es

$$q(x) = \lambda e^{-\lambda x} \quad (2.20)$$

Debe hacerse notar que dado que los paquetes raramente tiene una longitud que no es un número entero de bits, esto no modela completamente la realidad. Se puede modelar este sistema con un modelo infinito de estados. Los estados son $S_0, S_1, S_2, S_3, \dots$. Los estados y las transiciones entre los estados se muestran en la figura 2.21. S_0 se refiere al estado donde actualmente los paquetes no están siendo servidos o almacenados, y S_n se refiere a un paquete que esta siendo transmitido y $n-1$ paquetes esperando por servicio en el encolamiento. Se asumirá que los paquetes son transmitidos en el orden en el que son recibidos (Cahn, 1998).

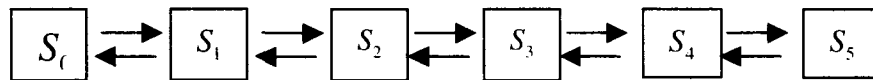


Figura 2.21. El espacio de estados para un encolamiento $MIM/1$.

El retraso del sistema puede ser calculado si se conocen las probabilidades, p_n , de estar en el estado S_n . Estas probabilidades estarán definidas mientras el sistema este en un estado estable definido por una región que cumple con $\lambda < \mu$. Claramente, si $\lambda > \mu$, los paquetes arriban mas rápidamente de lo que pueden ser transmitidos y la longitud del encolamiento tiende a ∞ .

Cuando el sistema se encuentra en cualquiera de los estados S_n^1 , entonces la tasa a la que los paquetes arriban es λ y la tasa en el cual están siendo servidos es μ . La tasa de servicio es independiente del número de paquetes que se encuentran en el encolamiento dado que sólo hay un servidor. Las ecuaciones de estados muestran el flujo a través de de los estados S_n , y S_{n+1} debe ser cero. Por lo tanto,

$$\lambda S_n = \mu S_{n+1} \quad (2.21)$$

y se define

$$P \equiv \frac{A}{\mu} \quad (2.22)$$

entonces

$$S_{H+i} = pS_n \quad (2.23)$$

Esto demuestra que

$$P \setminus = PP_0, \quad (2.24)$$

$$P_i = P^i P_0$$

y en general

$$P_n = P^n P_0 \quad (2-25)$$

Dado que p_n es la distribución de probabilidad, se puede ver que

$$\sum_{i=0}^{\infty} P_i = \sum_{i=0}^{\infty} P^i P_0 = P_0 \sum_{i=0}^{\infty} P^i = 1 \quad (2.26)$$

por lo tanto

$$P_0 = 1 - P \quad (2-27)$$

y

$$p_n = (1 - \rho) \rho^n \quad (2.28)$$

Estas probabilidades nos permiten calcular el tiempo de espera y el tiempo total en el sistema. El tiempo de espera esta definido como la cantidad de tiempo que un paquete espera en el encolamiento antes de que llegue a la cabeza de la línea y comience a ser transmitido. El tiempo total es el tiempo de espera más el tiempo de servicio. El tiempo de espera esta definido como

$$T_w = \frac{\rho}{\mu(1-\rho)} \quad (2.29)$$

y el tiempo total entre entrar y salir del sistema es

$$T = \frac{1}{\mu - \rho} \quad (2.30)$$

Se define como el tiempo promedio del servicio T_s como el recíproco de la tasa de servicio. Esto es $T_s = \frac{1}{\mu}$. Por lo tanto en ocasiones es de ayuda escribir

$$T = T_s + T_w \quad (2.31)$$

lo cual expresa el tiempo total como la suma del tiempo de servicio y el tiempo de espera.

Ya con los fundamentos claros propuestos en este capítulo, se tiene de manera más completa lo que se pretende hacer en esta tesis. Los modelos de generación de tráfico buscando obtener una relación entre la distancia, costo y el tráfico entre cada par de nodos; así como la relación a considerar entre la utilización del un enlace y el retraso del mismo.

Como parte primordial de esta tesis es la teoría para la creación de redes tipo MESH, la cual veremos en el siguiente capítulo con el algoritmo Mentor II.

2.8 Confiabilidad en la red.

Dada una red con sus respectivos nodos y links, la confiabilidad de la red esta dada por la probabilidad que los nodos funcionando estén conectados por links funcionando.

En esta definición estamos asumiendo que una falla parcial en la red todavía es capaz de hacer su trabajo. Pero esto no siempre es factible para todas las redes. Si la falla de la red todavía esta conectada pero puede soportar el 75% del tráfico, dos situaciones pueden suceder. Si la red tiene una prioridad de estructura, entonces el 25% del tráfico será bloqueado y el resto estará dando un servicio relativamente normal. Si no hay prioridad en el sistema, entonces en promedio 1 de cada 4 paquetes de transmisión será descartado y la red se volverá inservible para la mayoría de los usuarios. (Cahn, 1998).

Por lo regular, estamos interesados en diseñar redes que puedan soportar una falla en un link en el backbone y que no se desconecte. Por esta razón estamos encaminados a mirar el problema de diseñar redes confiables.

MENTORII.

Contando con las bases que se han visto en el capítulo anterior podemos entrar de lleno y con mayor referencia del algoritmo para el diseño de redes MENTOR (*MEsh Network Topology Optimization and Routing*), y así como los fundamentos y características más importantes de este algoritmo.

El algoritmo MENTOR nos menciona Mendoza (2004) es el arquetipo para alta-calidad, baja-complejidad del algoritmo en el diseño del "backbone". MENTOR se mantiene en el ruteo y optimización topológica de redes. Divide los sitios en sitios de "backbone" y sitios finales; los sitios de "backbone" son pretendidos a ser puntos de acumulación para el tráfico y puntos en el ruteo. Este es un alto procedimiento de parametrizado que puede producir diferentes "backbone". Se continúa escogiendo sitios hasta cubrir su totalidad. El algoritmo procede a seleccionar el centro de cada esqueleto. Se selecciona el sitio del esqueleto con el momento más pequeño a ser medio en la red. Usa el árbol para determinar la secuencia de los pares. Por último el algoritmo considera cada par solo una vez; se agrega un enlace que llevará el suficiente tráfico para justificar el mismo (Cahn, 1998).

El algoritmo MENTOR al inicializar uno de sus parámetros a un cierto valor, considera todos los nodos como conmutadores y genera la red del "backbone". El algoritmo calcula una mediana entre todos los conmutadores, posteriormente crea un árbol con características de bajo costo de conexión, y con caminos cortos a la mediana. El siguiente paso es adicionar enlaces directos entre conmutadores fuera de los enlaces del esqueleto; se agrega la cantidad de tráfico que justifique el colocar el enlace (Hernández, 1994).

Nos menciona Mendoza (2004) que la baja complejidad es lograda debido a que realiza ruteo implícito dentro de un procedimiento que evalúa enlaces. Existen otros procedimientos para el diseño de redes tipo MESH (malla), y algunos de estos podrían obtener soluciones que por pequeños porcentajes serían mejor que la solución de MENTOR. El algoritmo MENTOR es único, con la habilidad de encontrar topologías adecuadas de manera rápida y de poder realizar diferentes y alternas soluciones en un tiempo reducido, es esto lo que le da la gran ventaja (Kershenbaum, 1993).

Pero hasta ahora solo se ha mencionado lo que es MENTOR y ¿qué pasa con MENTORII? A continuación dentro de este trabajo nos daremos cuenta que los primeros 4 pasos de MENTOR y MENTORII son exactamente los mismos y solo varían con respecto a un algoritmo llamado Incremental Shortest Path (ISP)

que veremos mas adelante; todo esto se irá viendo poco a poco mientras se desarrolla el algoritmo como se presenta a continuación.

3.1 Principios de Diseño.

Este algoritmo es apropiado para el diseño de muchos tipos de redes de comunicación porque no se basa en características particulares de tecnología de redes o arquitectura, sino que se basa en los principios básicos del diseño de redes. Específicamente, trata de encontrar la red con las siguientes características (Kereshenbaum, 1991):

1. Los requerimientos de tráfico son ruteados de manera relativamente directa. La noción de que sea casi directa es realizada en término de costos, pero dado que el costo esta relacionado con la distancia, la ruta será dirigida también por la distancia. Es importante que también considera que las rutas sean de un número reducido de enlaces.
2. Los enlaces tienen una utilización razonable. No es deseable que la utilización de un enlace sea tan elevada que el desempeño (pérdida, retraso) se vea afectado, y no es deseable que la utilización del enlace sea muy pequeña dado que no seria en costo.
3. Los enlaces de capacidad relativamente alta son utilizados, lo cual no permite beneficiarnos de la economía de escala generalmente presente en la relación entre la capacidad y el costo.

Tomando en cuenta los tres aspectos anteriores, la red ideal será aquella en la cual el tráfico es ruteado a través de enlaces directos entre fuente y destino. Estos enlaces serán de la capacidad más alta posible y serán utilizados con la mayor eficiencia.

Estos tres objetivos son, para algunos, contradictorios. Por ejemplo, el deseo de crear enlaces bien utilizados y de alta capacidad generalmente implica el traspaso de tráfico a rutas indirectas. No obstante, el algoritmo MENTORII enfrenta cada uno de los objetivos anteriores uno contra otro para obtener redes efectivas y de bajo costo (Kereshenbaum, 1993).

Dentro de este algoritmo se basa en las tablas de trafico, costo, población de cada nodo que obtuvimos en el capitulo anterior, ya que así funciona este algoritmo. Estas tablas o matrices nos facilitan la labor y son la base del buen funcionamiento del algoritmo MENTORII.

3.2 Inicialización de MENTORII

El Algoritmo busca minimizar la cantidad

$$M_i = \sum_j c_{ij} w_j \quad (3.1)$$

donde c_{ij} es el costo de conectar los nodos i y j , y w_j es el peso del nodo j , definido como el requerimiento total de salida y entrada del nodo j , esto es,

$$w_j = \sum_k r_{jk} + r_{kj} \quad (3.2)$$

Así, la media es el nodo mejor capacitado para integrarle el tráfico, en el sentido en que el tráfico debe de ser desviado lo menos posible para llegar al centro de masa. Este paso es $O(N^2)$ por que solo implica formar N sumas de N elementos cada una y después buscar el valor mas pequeño de N (Kershenbaum, 1993).

3.3 Selección de los nodos backbone de la red.

El segundo paso es dividir los nodos entre los sitios de *backbone* y los sitios terminales. Los sitios *backbone* se tienen pensados para manejar y *rutear* el tráfico de la red. Este es un proceso con muchos parámetros que puede producir muchas y diferentes redes de *backbone*. Existen varios algoritmos que hacen esto; pero el método original, conocido como *threshold clustering*, utiliza un peso limite WPARM para determinar el nodo *backbone* y un radio de costo alrededor del sitio *backbone* RPARM (Cahn, 1998). El peso normalizado es:

$$NW(N_i) = \frac{M_i}{C} \quad (34)$$

Donde C representa la capacidad del enlace ha ser utilizado. Los sitios que tengan suficiente tráfico, por ejemplo:

$$NW(N_i) > WPARM \quad (3.5)$$

se enlistan como sitios de *backbone*. Todos aquellos nodos que no cumplan con el peso límite y se encuentren cerca de los sitios de *backbone* serán nodos terminales. A continuación Z estando cerca de un nodo de *backbone* significa que

$$\frac{Cost_{Z|N_i}}{MAXCOST} < RPARAM \quad (3.6)$$

donde

$$MAXCOST = Maxfost [N_i] [N_j] \quad (3.7)$$

Si seleccionamos todos los nodos que sobrepasen el límite de peso como sitios *backbone* y si aun hay nodos más lejanos de cualquier sitio *backbone* que

$$RPARAM * MAXCOST \quad (3.8)$$

se continua seleccionando nodos hasta que todos los nodos sean cubiertos. Para hacer esto se asigna a cada nodo un mérito. El mérito es calculado de la siguiente manera. Cada nodo es asignado con coordenadas (x,y) en un plano cartesiano de dos dimensiones (Mendoza, 2004). Si se encuentra en Norte América, se pueden utilizar las coordenadas V&H. En base al mundo entero, se utilizan proyecciones para el mapeo del mundo, lejos de los polos, en un rectángulo (Cahn, 1998). Una vez que se tiene este sistema se pueden procesar el punto

$$(xctr, yctr) \quad (3.9)$$

definido por

$$x_{crt} = \frac{\sum_{n \in N} x_n * Weight_n}{\sum_{i \in N} Weight_n} \quad (3.10)$$

$$y_{crt} = \frac{\sum_{n \in N} y_n * Weight_n}{\sum_{n \in N} Weight_n} \quad (3.11)$$

Estas coordenadas no requieren estar en alguno de los nodos. Verdaderamente, si la mitad de los nodos están en Norte América y la otra mitad en Asia, (xctr, yctr) es muy probable que se encuentre en medio del océano. De

todas formas, este sitio es de mucha utilidad para medir que tal lejos está los nodos de centro de la red. Se define

$$dist_crt_n = \sqrt{(x_n - xcrt)^2 + (y_n - ycrt)^2} \quad (3-12)$$

Y

$$\max_dist_crt = \max_{n \in N} \sqrt{(x_{ii} - xcrt)^2 + (y_n - ycrt)^2} \quad (3.13)$$

De manera similar se define

$$wmax = \max_{n \in N} Weight_n \quad (3.14)$$

Por ultimo se define

$$mérito_n = \frac{1}{2} \frac{(\max_dist_crt - dist_crt_n)}{\max_dist_crt} + \frac{1}{2} \frac{Weight_n}{Weight_max} \quad (3.15)$$

Esta función de mérito da un valor igual a la proximidad del nodo al centro y a su peso. De entre todos los sitios que no exceden el límite de peso WPARM y que no están dentro del radio RPARM de algún sitio *backbone*, se selecciona el nodo con mayor mérito y se enlista como *backbone* y se procede de la misma manera. Esto se realiza hasta que todos los sitios sean *backbone* o estén dentro del radio RPARM del algún sitio *backbone* (Cahn, 1998). Como se ilustra en la figura 3.1.

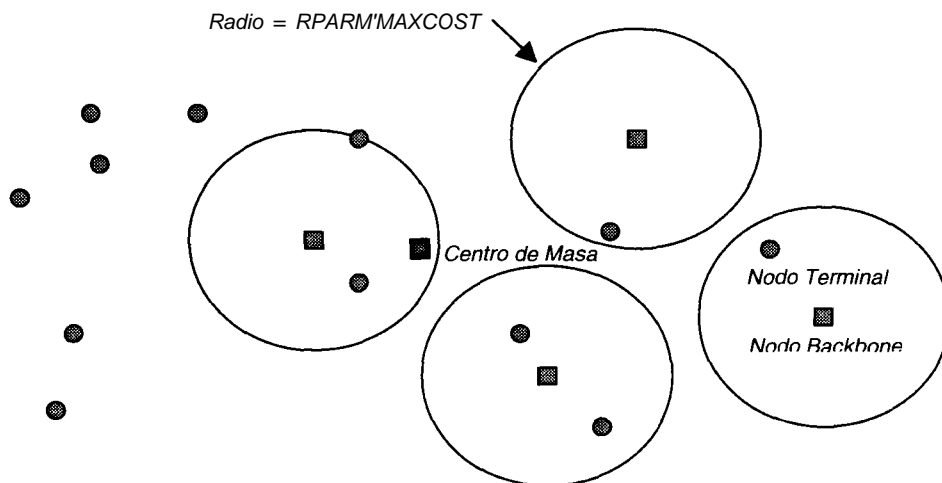


FIGURA 3.1 MÉTODO DE AGRUPACIÓN DEL ALGORITMO.

3.4 Selección de la Media.

Como segundo paso se selecciona el sitio de *backbone* con el menor momento para ser la media de la red. Como se muestra en la figura 3.2, ese será el nodo de *backbone* más cercano al centro de la masa de la red ($xctr,yctr$) (Cahn, 1998). El *momento* de un nodo *backbone* es definido como

$$Momento(n) = \sum_{n' \in N} dist(n,n') * Weight_{n'} \quad (3.16)$$

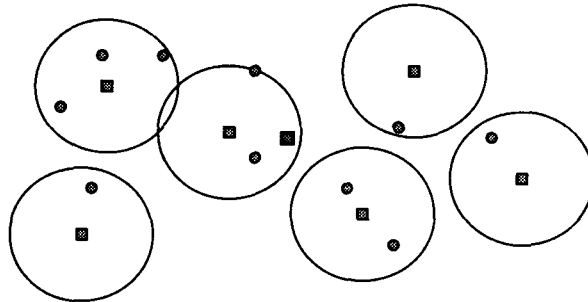


FIGURA 3.2 AGRUPACIÓN FINAL DE LOS BACKBONE CON SUS NODOS TERMINALES.

3.5 Construcción del árbol.

El siguiente paso es crear un árbol que interconecte los nodos. El árbol debe tener las siguientes características:

1. Realizar un ST (*spanning tree*) en los nodos de *backbone*. Cada nodo local es conectado directamente al nodo *backbone* más cercano (en términos de costo).
2. El árbol tiene enlaces cortos (como puede ser MST).
3. Las rutas en el árbol son cortas. En este sentido, es como un SPT (shortest path tree).

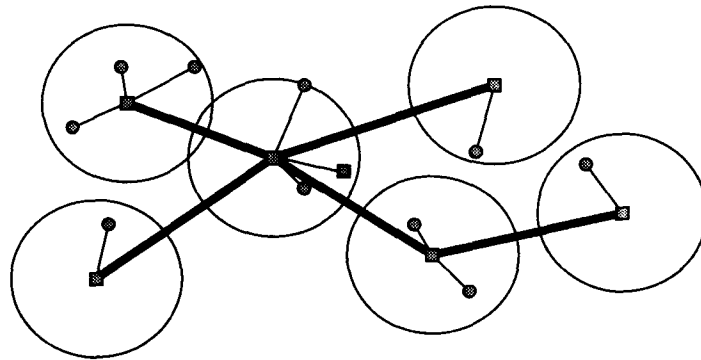


FIGURA 3.3 AGRUPACIÓN FINAL, YA INTERCONECTADOS TODOS LOS NODOS.

Si es posible encontrar un árbol con estas características, entonces existe la posibilidad de crear una red que satisfaga los tres objetivos principales ya antes mencionados. El árbol conglomerado tráfico, permitiendo obtener un beneficio de la economía de escala. Cuenta con algunos enlaces directos. Es posible aproximar la capacidad de los enlaces para que sean utilizados de manera razonable, no muy alto ni muy bajo. Finalmente si los enlaces son cortos, y poco utilizados no se requerirá de una gran inversión (Kershenbaum, 1993).

El problema general de encontrar el árbol (Mendoza, 2004) que minimice la suma de las rutas más cortas entre los pares de nodos es en si mismo un problema difícil. Finalmente, este árbol no es la red deseada, pero parecida, es simplemente un punto de partida de la red. El objetivo es minimizar una combinación de la longitud del árbol (suma de las longitudes de los enlaces en el árbol) y la longitud de la ruta hasta tener una media (Kershenbaum, 1993).

Este problema puede ser aproximado con una simulación heurística nos comenta Mendoza (2004), que puede ser una modificación de los algoritmos Prim y Dijkstra. Obsérvese que los algoritmos Prim's y Dijkstra's, para MST (minimal spanning tree) y SPT (shortest path tree) respectivamente, son relativamente idénticas. En el algoritmo Prim's, empieza con un nodo designado i (en este caso la media) y procura marcar los demás nodos j , con:

$$L_j = d_{ij} \quad (3-17)$$

donde d_{ij} es la distancia (o costo) entre los nodos i y j . Esto selecciona el árbol con enlaces cortos. En el algoritmo Dijkstra's, los nodos son marcados como:

$$L_j = L_i + d_{ij} \quad (3-18)$$

Esto selecciona árboles con rutas cortas. Un híbrido conocido como Prim-Dijkstra puede ser creado para marcar nodos con:

$$L_j = aL_i + d_{ij} \quad (3.19)$$

donde

$$0 < a < 1 \quad (3.20)$$

Por lo tanto

$$L_j = \alpha L_i + d_{ij} \quad \begin{cases} \alpha = 0 \rightarrow \text{PRIM} \\ \alpha = 1 \rightarrow \text{Dijkstra} \end{cases} \quad (3.21)$$

Entre mas grande sea a , mas atención se presta a la longitud de la ruta, y de manera opuesta a la longitud del árbol. Cuando el costo del enlace (A, B) no es mayor que la suma de los costos de los enlaces (A, C) y (C, B), para todo (A, B y C), con a igual a 1 se obtiene una estrella centrada en la media.

En la practica, la experiencia computacional con este algoritmo ha mostrado que valores de a entre 0.2 y 0.3 tienden a genera árboles con enlaces cortos y rutas cortas (Kershenbaum, 1993).

3.6 Secuencia entre pares de nodos.

El siguiente paso es utilizar el árbol para definir la secuencia de todos los pares de nodos. La secuencia no es única pero obedece la restricción de que no se obtiene la secuencia (N_i, N_j) hasta que se obtiene la secuencia de todos los pares (N_i, N_k) tal que N_k y N_j se encuentran en la ruta entre N_i y N_j . Es decir que se ordenaran los pares de nodos que se encuentren más separados por el numero de saltos entre fuente-destino, como ejemplo de una secuencia se muestra la figura 3.

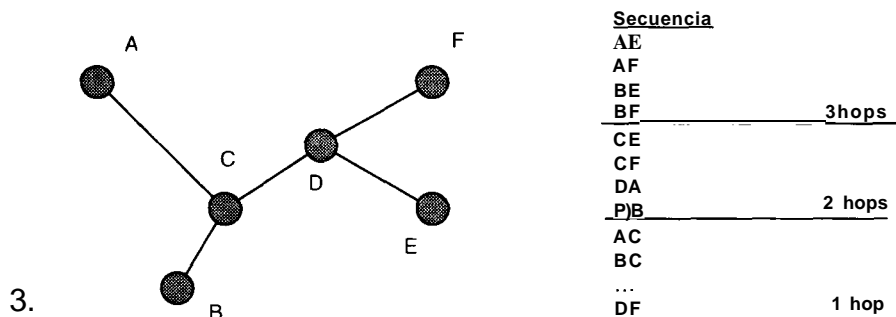


FIGURA 3.4 ÁRBOL CON SECUENCIA BASADA EN SALTOS.

De esta manera se consideran primero todos los pares de nodos con la ruta mas larga, y así hasta analizar los pares de nodos que se encuentran con una salto de distancia. En donde existirán

$$\binom{\text{Total_de_nodos}}{2} \quad (3.22)$$

secuencias, no existe una secuencia única. Dado que existen múltiples secuencias de nodos validos, el algoritmo procede por seleccionar uno y utilizarlo. Experimentos han demostrado que el tratar con diferentes secuencias no produce diseños significativamente diferentes.

3.7 Problemática con Enlaces Directos.

Supongamos que MENTOR agrega enlaces directos del enlace B al F para poder llevar el tráfico desde B a F, G, H e I. (DaSilva, 2002).

- > Ahora el "mínimo ruteo con salto" (mínimum hop routing) usará el enlace para llevar el tráfico de A y C a F, G, H e I.
- > Esto provocará un sobre flujo en el enlace.
- > El algoritmo MENTOR puede asumir que el enrutamiento es absolutamente diferente de la de la red actual.
- > No es factible atar el enrutamiento de la red en las suposiciones hechas por MENTOR.
- > El algoritmo modificado o Mentor II se ocupa de este problema (a expensas de una mayor complejidad).

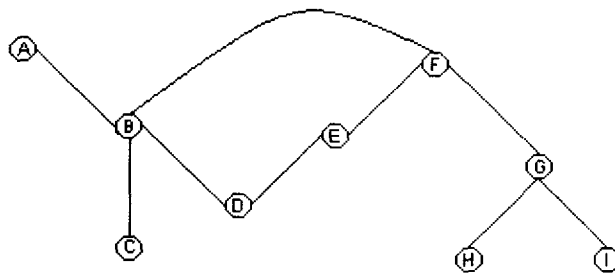


FIGURA 3.5 EJEMPLO DE COMPLEJIDAD CON ENLACES DIRECTOS.

En este trabajo no se habla detalladamente de las etapas de homming y enlaces directos ya que existen trabajos que con anterioridad hablan de manera clara de estos temas como el de Mendoza (2004). Aquí solo se muestra algunos argumentos del porque se hace una mejora al algoritmo, así como la finalidad de ser algoritmo MENTOR a MENTOR II. Aquí es donde se sustituye esta etapa del

MENTOR, y se incluye otro algoritmo llamado *Incremental Shortest Path (ISP)*, el cual se verá a continuación.

3.8 Incremental Shortest Path (ISP).

La meta para el algoritmo ISP es identificar todos los pares que puedan usar un enlace en lugar de la ruta actual. (DaSilva, 2002).

- * Inicialmente todas las rutas pasan a través del árbol, pero una vez que se añadieron los enlaces directos, el espacio de posibles rutas puede ser más complejo.
 - o Supóngase que se mantienen dos matrices de dimensión $n \times n$. Las distancias de rutas mínimas entre cada dos nodos se denota por la matriz:
 - (sp_dist) nxn - ruta-mas-corta entre 2 nodos
 - (sp_pred) nxn - Apuntadores a la ruta más corta

Esto denota a una matriz de apuntadores a nodos que mantienen todas las rutas más cortas a través de la red en forma simultánea. Cuando se inicia la ejecución de MENTOR-II, las distancias iniciales son aquellas que pasan por el árbol Prim-Dijkstra. (Cahn, 1998).

El significado de la matriz *sp_dist* es evidente, pero es necesario explicar la matriz *sp_pred*. La matriz *sp_pred[i][j]* contiene el penúltimo nodo (o el predecesor al último) en la ruta más corta que va del nodo "i" al nodo "j" (Cahn, 1998). Considérese el grafo mostrado en la siguiente figura:

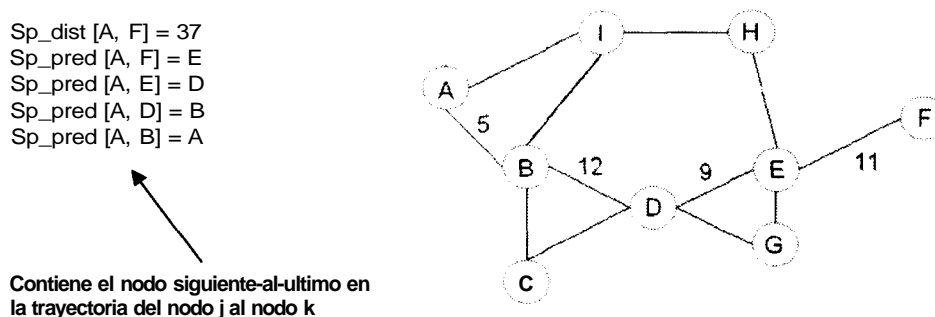


FIGURA 3.6 EJEMPLO PARA HACER LA MATRIZ DE DATOS SP_DIST Y SP.PRED.

Si se está considerando el enlace directo entre el nodo fuente "s" y el nodo destino "d", es importante que no suceda el "robo de tráfico" nos menciona Cahn, (1998). El robo de tráfico ocurre cuando se le da a un enlace una longitud corta de manera artificial. El tráfico fluiría a través del enlace porque éste tendría una longitud corta, pero la nueva ruta podría ser más cara que la ruta original. En

consecuencia, no se considerarán los flujos que se atraen a un enlace al darle a éste una longitud que es menor que su costo.

El algoritmo ISP construye dos listas en base a los siguientes puntos:

Al considerar si agregar un enlace directo entre fuente S y destino D, se construye un *sjist* y un *djist*

Un sitio es agregado a *sjist* si $Sp_dist[node,s] + length < sp_dist[node,d]$
 Un sitio es agregado a *djist* si $Sp_dist[node,d] + length < sp_dist[node,s]$

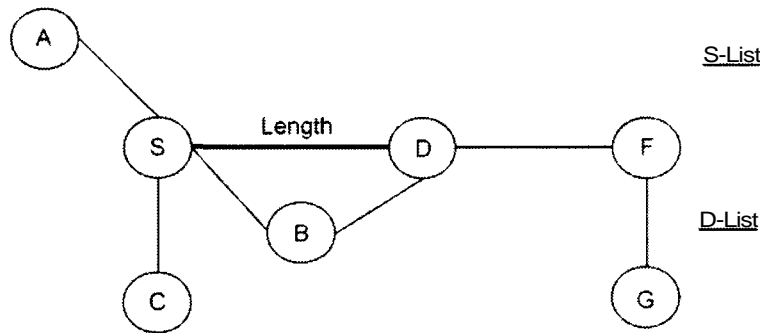


FIGURA 3.7 EJEMPLO PARA HACER LA MATRIZ DE DATOS S_LIST Y D_LIST.

Trabajar con todos los pares n_i en *sjist* y n_k en *djist*.

Si se cumple $Sp_dist[n_i,s] + length + sp_dist[d, n^*] < sp_dist[n_i, n_j]$ Entonces el par de nodos (n_i, n_k) cambiarán su tráfico al enlace propuesto si se agrega a la red y se da una longitud de "length".

Para cada par P_m , computar la longitud máxima para que el tráfico utilice el nuevo enlace: $ReqJen(P_m) = sp_dist[n_i, n_j] - sp_dist[n_i,s] - sp_dist[d, n_j]$

Clasificar los pares por *reqjen* y obtener una secuencia ordenada.

Fijar la longitud del enlace a la longitud apropiada que atraerá el tráfico del par deseado.

3.9 Incorporación de enlaces "1-commodity".

Existe una debilidad en el algoritmo MENTOR-I I menciona Cahn, (1998) cuando el algoritmo de obtención de clusters escoge pocos nodos backbone. Supóngase que se fijan los siguientes valores:

$$WPARAM = 100$$

$$y$$

$$RPARAM = 1$$

En la mayoría de las redes, no hay nodo que tenga 100 enlaces que valgan la pena con respecto a tráfico y tampoco nodo que se convierta en backbone al exceder el límite de peso. Si posteriormente se calcula el mérito, se escoge al primer nodo backbone. Pero como el valor de RPARAM es 1, todos los demás nodos serán nodos terminales y el algoritmo termina solamente con un nodo backbone. Así, con un solo nodo backbone, no se habrían añadido enlaces directos, y habríamos obtenido una red estrella. (Cahn, 1998).

La estrella está bien a menos que exista una cantidad considerable de tráfico entre dos nodos terminales. En tal caso es un desperdicio el enrutar el tráfico a través del nodo central. Como consecuencia, se hace una desviación a través del par de nodos (n_1 y n_2) y se considera añadir una nueva clase de enlaces entre nodos terminales, que se denominan enlaces 1-commodity. A diferencia de los enlaces directos, estos enlaces tienen como propósito llevar sólo el tráfico entre 2 nodos. Estos se colocan en la red sólo si están suficientemente utilizados. (Cahn, 1998). Considérese el ejemplo de la siguiente figura:

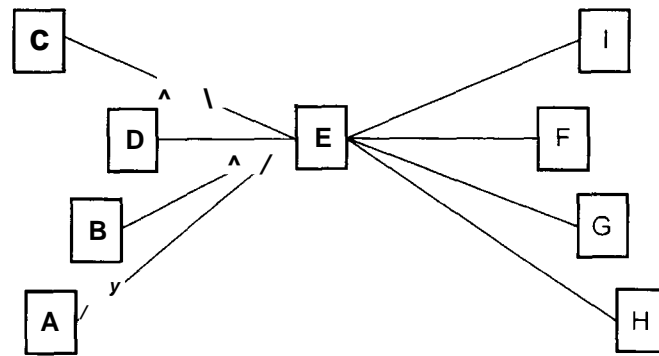


FIGURA 3.8 TOPOLOGÍA ESTRELLA.

En la figura se tiene una red estrella centrada en el nodo E. Supóngase que los enlaces tienen una capacidad de 2 unidades y que se desea cargar a los enlaces a lo más con 1 unidad de tráfico. Se añade un enlace entre cualquier par de nodos que haya acumulado suficiente cantidad de tráfico para que un enlace sea utilizado de manera "apropiada", es decir, que utilizara enlaces suficiente para hacerlo costo efectivo.

Existen muchas maneras de hacer esta determinación. La forma más sencilla, y descrita en (Kershenbaum, 1991), es usar el parámetro *slack*, s . Si la capacidad del enlace es C y la máxima utilización permitida del enlace es p , entonces la capacidad utilizable es de pC . Si el *slack* es s , entonces se añade un enlace $\{A,B\}$ si $r_{AB} > pC(1-s)$.

Entonces si el valor del parámetro $slack = 0.1$, se podrían añadir 2 enlaces en paralelo entre A y H para llevar el tráfico directamente sin pasar por el nodo E . Si el valor del parámetro $slack=0.2$, entonces se podrían añadir 3 enlaces entre H e I . Si el valor del parámetro $slack=0.3$ entonces también se podrían añadir 2 enlaces entre C e I . Todos estos enlaces pueden o no ser una buena idea. Todo depende de la matriz de tráfico mencionada Cahn, (1998). De lo anteriormente expuesto, este paso de la etapa de MENTOR-II deba quedar como sigue:

Añadir enlaces directos 1-commodity entre aquellos pares que no se consideraron para la incorporación de enlaces directos si se ve que el tráfico en el enlace excederá $util_{min}$.

Si se ha añadido un enlace 1-commodity " L ", se requiere darle una longitud que asegure que llevará solamente el tráfico entre sus nodos extremos (Cahn, 1998). Esto es fácil de hacer con el ruteo de la distancia más corta (shortest-distance routing). Si todos los enlaces de la red tienen una longitud mayor a 1, entonces se fija:

$$Length(l) = sp_dist^l - 1 \quad (3.23)$$

después de la incorporación de los enlaces directos. Esto ocurre en el paso 6 de la 3a. etapa de MENTOR-II, que bajo estas consideraciones diría ahora:

Dar una longitud a los enlaces 1-commodity tal que atraiga solamente al tráfico existente entre los nodos terminales correspondientes.

No siempre es posible decir esto, por lo que hay entonces 3 opciones:

- o No añadir enlaces 1-commodity,
- o Extender la incorporación de enlaces directos considerando no solo los pares backbones sino también a todos los pares de nodos, o
- o Añadir los enlaces y luego checar el ruteo.

Al terminar esta etapa, ahora tenemos que considerar los requerimientos en el backbone. En MENTOR-II se pondrán en secuencia sólo a los pares de nodos del backbone y no a todos los pares de nodos. Supongamos que e_1 y e_2 son nodos terminales. Sea b_1 el nodo backbone que es el predecesor a e_1 en el árbol Prim-Dijkstra. Si $b_1 = b_2$ entonces el tráfico no entrará en el backbone. De otra forma colocamos el tráfico entre e_1 y e_2 a través de b_1 y b_2 . (Cahn, 1998). Esto nos generará el total de tráfico que pasa a través de cada backbone para poder determinar nuestra utilización de la red.

3.10 Utilización.

Una vez realizados los pasos anteriores es importante el conocer la utilización porcentual de cada uno de los enlaces que interconectan la red. La siguiente función de acuerdo con Cahn (1998) obtiene un acercamiento adecuado:

$$u = \frac{\text{Traf}[N,][N_2]}{(n * C)} \quad (3.24)$$

donde n es el número de enlaces entre cada par de nodos y C es la capacidad del enlace. Esta función es utilizada para mostrar la utilización de cada uno de los enlaces de cada par de nodos de las diferentes redes creadas. Y un promedio total de utilización de la red.

3.11 Simulaciones.

Como parte final aquí mostraremos los resultados obtenidos en cuanto al desarrollo e implementación del algoritmo Mentor II en el lenguaje de programación C++, basándonos en lo anteriormente mostrado dentro de los capítulos 2 y 3.

Para estos ejemplos se tomó en consideración lo expuesto por Cahn (1998) lo que se refiere a la red de 15 nodos, mostrados a continuación junto con sus coordenadas cartesianas, población (pop) y designación de nodos backbone (bb):

Nodo	BB	Pop	V	tt
1		1	6624	2555
2	BEB	1	5975	3690
3	I	1	7996	2543
4	•Bi	1	7220	2715
5		1	6564	2394
6		1	5265	3232
7		1	5876	3163
8	•Hi	1	8109	3692
9	im	1	7421	4044
10		1	7425	4467
11		1	7602	2480
12		1	6977	2995
13	I	1	6096	4900
14	HHÜ	1	6643	3268
15		1	6918	4483

Como se muestra en la tabla se tienen 5 nodos backbone determinados; esto es debido a que para un mejor manejo del algoritmo y un diseño más práctico de ejemplificar para este estudio, se dejó fijo el número de backbone de la red a 5

sin permitir que el propio algoritmo lo decidiera para evitar una red muy grande o muy pequeña y que los tiempos de simulación no fueran tan tardados.

De manera gráfica los nodos de esta red se encuentran distribuidos de la siguiente manera como se ve en la figura 3.9.

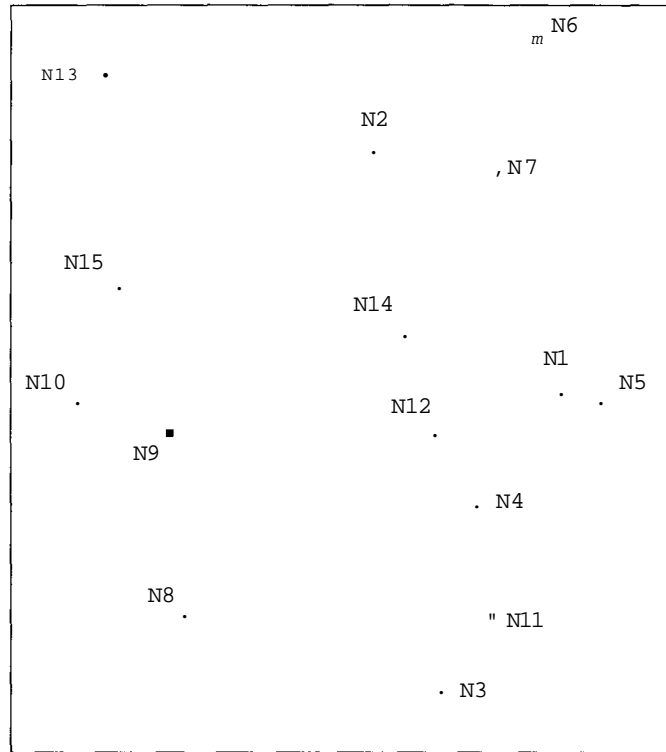


FIGURA 3.9 DISTRIBUCIÓN DE LOS NODOS UTILIZADOS PARA ESTA INVESTIGACIÓN.

Como guía del tipo de línea a manipular para la interconexión de los nodos se muestra en esta tabla:

Link Type	Fixed Cost	Dist. Cost	Dist. Cost2	Dist1
T1	1000	24.35	15	3500

Esto es con respecto a la tabla de costos que se tiene con lo estipulado en el capítulo 2 en la fórmula 2.8.

Dentro de la matriz de tráfico que se usó como lineamiento del buen funcionamiento de este algoritmo, se tomó como parámetro el hecho de que fuera full-duplex, esto quiere decir que cada par de nodos tiene un tráfico de 255000bps en ambas direcciones tanto de $(A, B)_{Traf} = 2550Qhps$ como de $(B, A)_{Traf} = 255000bps$. Esto se presenta en todos los casos.

En esta parte de las simulaciones del algoritmo Mentor II, se dividió en 3 diseños los cuales fueron los más significativos para este estudio, para cada uno de los parámetros importantes a cambiar. Y estos parámetros antes mencionados son los siguientes:

Variable	Valor
RPARM	0.0
WPARM	0.0
Alpha	0.0
Snack	0.0

A continuación se procede con la primera simulación dentro de la cual se tienen los siguientes parámetros:

SimI	
Variable	Valor
RPARM	0.4
WPARM	1.0
Alpha	0.0
Slack	0.0

Y su respectiva simulación se presenta a continuación:

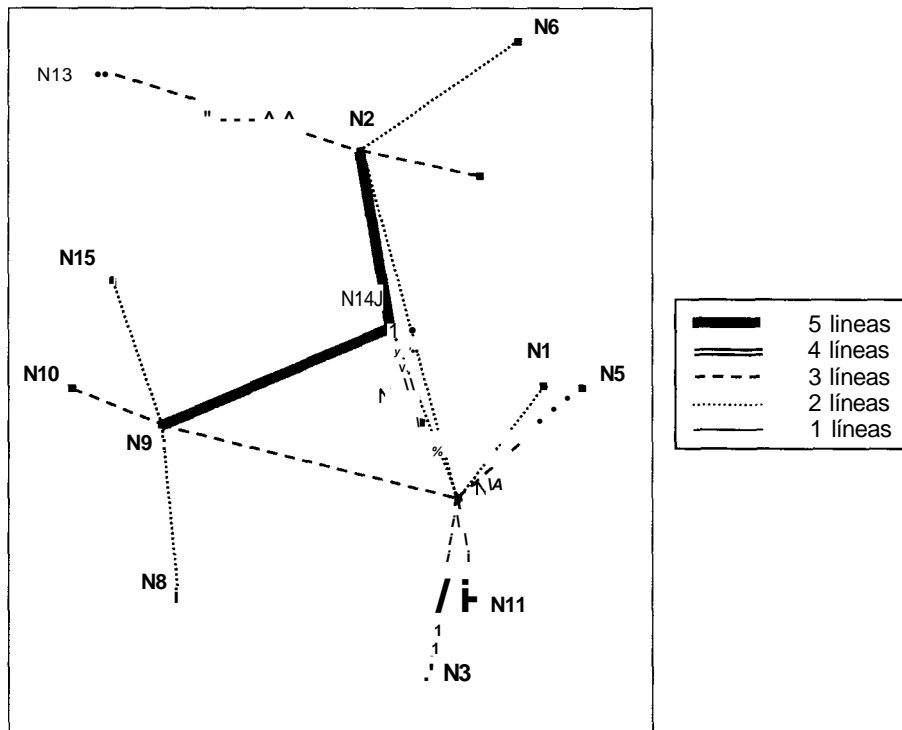


FIGURA 3.10 RESULTADO OBTENIDO DE LA PRIMERA PRUEBA (SIM I).

Esta red que elaboró el algoritmo Mentor II nos proporciona los siguientes datos:

Sim I	
Costo	329490
Util. Prom. Total	0.7826
No. de líneas	45

Como vemos de la tabla tenemos que la utilización de nuestra red es de un 78.26% y como muestra la figura 3.10 se puede llegar a tener hasta 5 líneas por enlace lo cual nos muestra cual es la trayectoria mas congestionada de la red y se puede concluir que es nuestro esqueleto. Esta primera simulación está elaborada en base al modelo de Prim-Dijkstra del algoritmo Mentor II, el cual es aproximadamente la parte intermedia del mismo. Así mismo se presenta también el esquema de la red solo mostrando la utilización por cada uno de los enlaces. Donde los valores en el recuadro pequeño muestra la utilización por enlace.

El esbozo de utilización de Sim I:

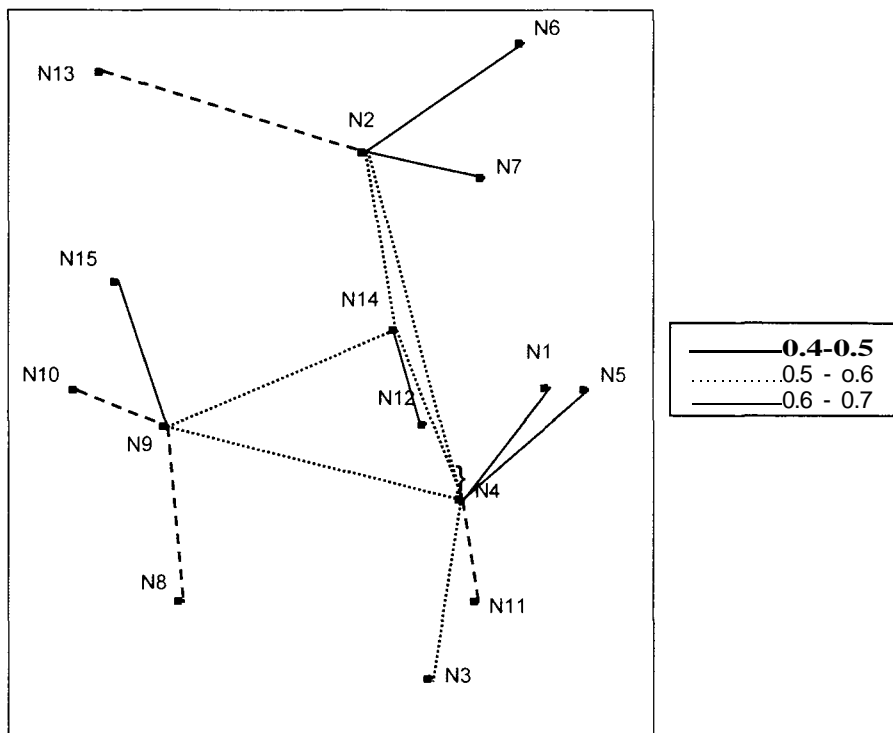


FIGURA 3.11 ESQUEMA DE UTILIZACIÓN DE SIM I.

Se puede observar en la figura anterior que existe un alto grado de utilización en las trayectorias centrales de la red el cual como ya antes se mencionaba representan la base de esta red.

Sim II	
Costo total	283265
Útil. Prom. Total	0.7617
No de líneas	39

También podemos analizar que la utilización casi no varia respecto a la primera prueba esto es un arma de doble filo ya que tanto se reducen costos en el diseño pero a su vez disminuye el tiempo de vida de la red ya que si tenemos en cuenta que en cuanto a recomendaciones sobre diseño de redes se estipula que la utilización debe de andar aproximadamente en un 50% de la capacidad total.

Así como en la primera prueba aquí tenemos la figura de utilización de esta segunda simulación de los enlaces (figura 3.14).

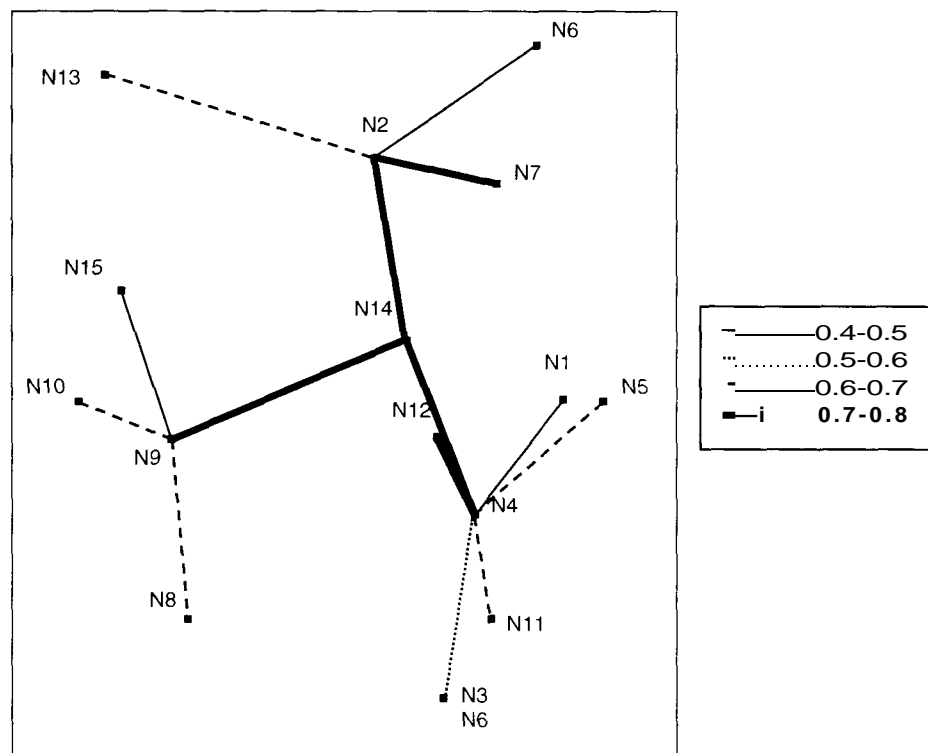


FIGURA 3.13 ESQUEMA DE UTILIZACIÓN DE SIM II CON SU RESPECTIVO CÓDIGO DE UTILIZACIÓN.

Por último se variará el valor de α el cual nos menciona Cahn (1998) debe estar entre $0.2 < \alpha < 0.3$, y es lo que variaremos en nuestra siguiente muestra; se incrementa α para la creación de enlaces cortos y directos, lo cual es muy importante ya que es lo que mejor hace este algoritmo de Mentor II. Entonces las variables quedan como sigue:

Sim III	
Variable	Valor
RPARM	0.4
WPARM	1.0
Alpha	0.2
Slack	0.2

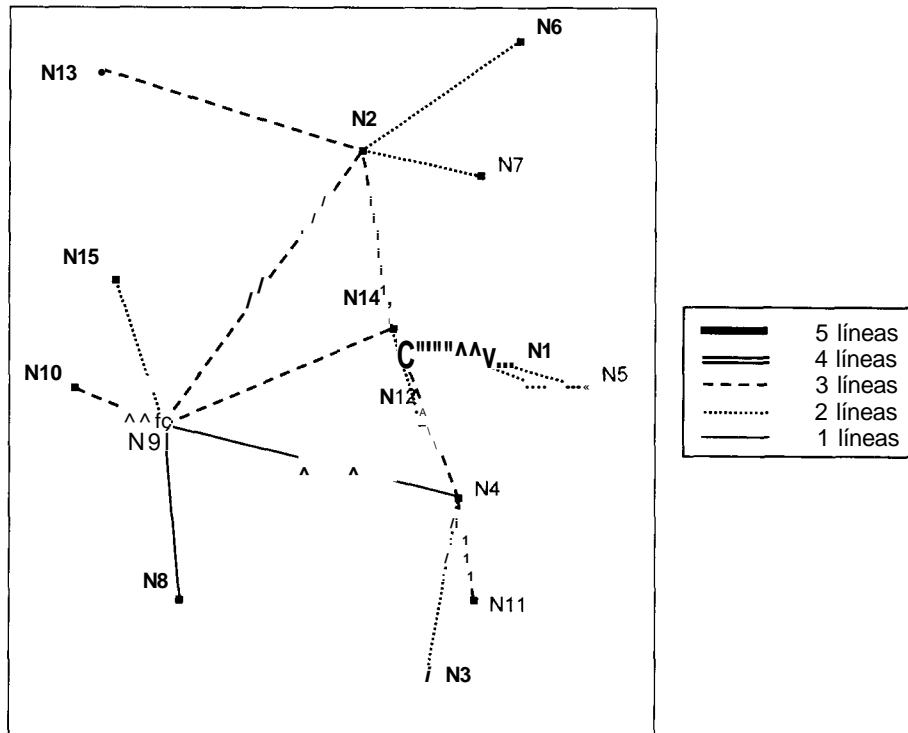


FIGURA 3.14 ÚLTIMA SIMULACIÓN DEL ALGORITMO, SIM III.

Los valores obtenidos de la última simulación fueron los siguientes:

SimtH	
Costo	272650
Útil. Prom. Total	0.7465
No. de líneas	37

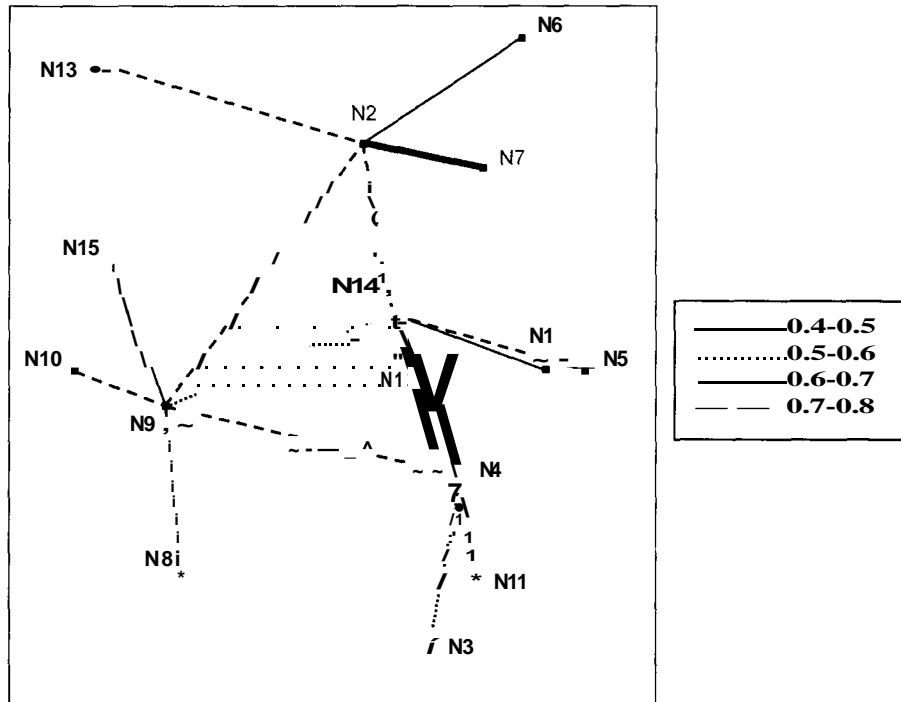


FIGURA 3.15 ESQUEMA DE UTILIZACIÓN DE LA ÚLTIMA PRUEBA CON SU CÓDIGO DE UTILIZACIÓN.

Como aportación final podemos constatar de la figura y sus tablas la clara reducción en el costo de la red (figura 3.15) en comparación a la primera simulación elaborada en un 17.26%, la cual es una brecha significativa si hablamos de grandes corporativos. También una pequeña reducción en cuanto a utilización en comparación con la segunda prueba mostrada. Siendo este último diseño es más apropiado para esta situación. Y como ultima figura vemos el análisis de la utilización de enlaces de la red en la figura 3.16.

Con esto queda concluida la primera mitad de simulaciones para el algoritmo Mentor II y siguiendo lo señalado por los autores en los que se referencia este trabajo obtenemos una red mas confiable. A continuación entraremos a la otra mitad de esta investigación el cual contempla el desarrollo de simulaciones en base a programación lineal, la cual tendrá la misma topología a analizar como se hizo en esta sección.

Programación Lineal

En lo visto con anterioridad se mostró el funcionamiento del algoritmo heurístico MENTORII, con el cual pudimos obtener resultados para una red de 15 nodos. Con esto ya tenemos la primera mitad de este trabajo, y la otra mitad será el desarrollo y presentación del modelo matemático que será utilizado para el diseño de una red, teniendo en cuenta los mismos parámetros (nodos, tráfico, costos, etc.) que hemos venido utilizando en capítulos anteriores con el algoritmo MENTORII. Con la diferencia que en esta ocasión buscamos un resultado mucho más óptimo que los anteriores, esto se buscará mediante la utilización de la programación lineal, que veremos a continuación.

4.1 Optimización Matemática.

Las nuevas técnicas de optimización surgen diariamente, estimulado a menudo por penetraciones fascinadoras de otros campos. Algoritmos genéticos, por ejemplo, utiliza una analogía a la codificación del cromosoma y la selección natural "desarrolla" buenas soluciones de optimización. Las técnicas de la optimización desempeñan un papel en las redes neuronales artificiales usadas en la investigación de inteligencia artificial para el reconocimiento de patrón. La investigación de "Inteligencia del enjambre" usa agentes independientes del software para solucionar colectivamente varios problemas de optimización. (Dantzig, 2003).

Hoy en día, los métodos de la optimización se utilizan por todas partes en negocios, industrias, gobierno e informática. Un borde en la maximización de beneficios o la reducción al mínimo de costos puede significar a menudo la diferencia entre el éxito y la falla dentro del negocio. (Dantzig, 2003).

El proceso de la optimización se muestra esquemáticamente en la figura 4.1. Típicamente se comienza con un problema verdadero, lleno de detalles y de complejidades, algunos relevantes y otros no. De esto se extrae los elementos esenciales para crear un modelo, y se elije una técnica del algoritmo o de la solución para aplicarse a esta. En problemas prácticos, la computadora realizará los cálculos necesarios. Una parte importante de optimización aplicada acertada es habilidad en la determinación de cuál es y de cuál no es importante durante el proceso de la abstracción. (Chinneck, 2001).

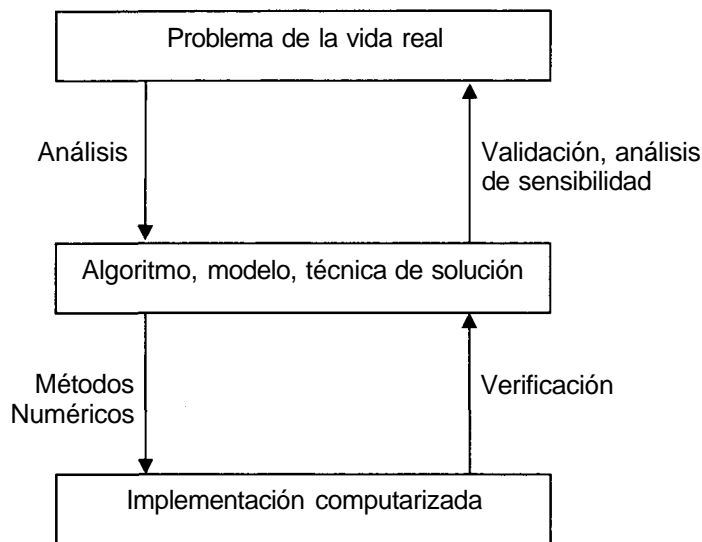


FIGURA 4.1 PROCESO DE OPTIMIZACIÓN.

Las flechas en la figura 1.1 indican el proceso normal del ciclo de optimización. Moviéndose desde el problema verdadero del mundo de algoritmos, al modelo, o la técnica de la solución que se le conoce como análisis. Es aquí donde toma lugar el principal trabajo de abstracción de detalles inaplicables y de centrarse en los elementos importantes. En muchos casos, el proceso del análisis es extremadamente valioso por sí mismo, aún sin realizar ninguna optimización subsiguiente. (Chinneck, 2001).

A partir de esto se extraen los elementos esenciales para crear un modelo, y seleccionar un algoritmo o técnica de solución a ser aplicada para dicho problema. En problemas prácticos, será una computadora quien se encargue de los cálculos necesarios (Mendoza, 2004).

La programación lineal es el más aplicado extensamente posible de todos los métodos de optimización. La técnica se ha utilizado para optimizar diversas aplicaciones, incluyendo refinerías y plantas químicas, el mezclado de alimento de ganado, enrutamiento de aviones y hasta como programar sus equipos. Muchos de los problemas industriales de la asignación y de transporte se pueden optimizar con este método. El uso de la programación lineal ha sido acertado, particularmente en casos de seleccionar el mejor sistema de variables cuando existen una gran cantidad de opciones correlacionadas. Un ejemplo típico es una refinería de petróleo donde los caudales de la corriente son muy grandes, y una mejora pequeña por la unidad del producto es multiplicada por un número muy grande para obtener un aumento significativo en el beneficio para la refinería. (Dantzig, 2003).

Programación Lineal "Programación", en este sentido, no implica programación computacional - es una palabra utilizada como "planear". En programación lineal todos los modelos del mundo real son procesos lineales, por lo tanto se puede pensar en "programación lineal" como "planeación mediante la utilización de modelos lineales" (Chinneck, 2001).

4.2 Programación Lineal.

Para la optimización que se requerirá, debe haber más de una solución disponible. En la figura 4.2, cualquier punto en la función es una solución, y porque la variable es valor-real, hay un número infinito de soluciones. Una cierta clase de proceso de optimización entonces se requiere para elegir la mejor solución entre miles de opciones. Lo que significa como "mejor" depende del problema actual: puede ser que signifique que la solución que proporciona sea la de mayor beneficio, o que eso consume el menor de un cierto recurso limitado, e.g. área en diseño de chip de computadora, o combustible en el diseño de la ruta de entrega. (Chinneck, 2001).

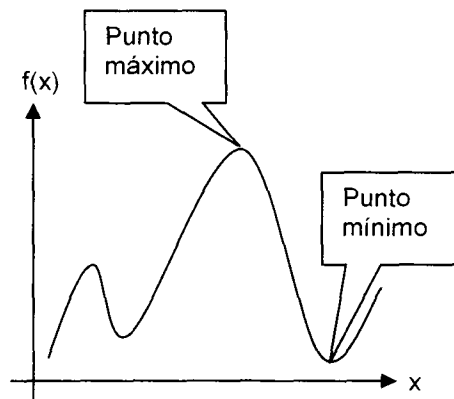


FIGURA 4.2 ESQUEMA DE MÁXIMO Y MÍNIMO DE UNA FUNCIÓN.
Tomado de (Mendoza, 2004).

La programación lineal (LP) es la forma más comúnmente aplicada de *optimización forzada*. La optimización forzada es mucho más dura que la optimización espontánea: ya que se tiene que encontrar el mejor punto de la función, pero también se tiene que respetar varias restricciones mientras que lo realiza. Por ejemplo, se debe garantizar que el punto óptimo no tiene un valor sobre o debajo de un límite especificado cuando sea substituido en una función dada de restricción. Las restricciones se relacionan generalmente con los recursos limitados. (Chinneck, 2001).

Los principales elementos de la optimización forzada son:

- **Variables** (también conocidas como *variables de decisión*). Los valores de las variables no son conocidos cuando se inicia el problema. Las variables usualmente representan cosas que se pueden ajustar o controlar. La meta es encontrar los valores de las variables que suministren el mejor valor de la función objetivo
- **Función Objetivo.** Esta es la expresión matemática que combina las variables para expresar la meta. Se requerirá que la función objetivo se maximice o minimice.
- **Restricciones.** Estas son expresiones matemáticas que combinan las variables para expresar límites en las posibles soluciones y así reducir el espacio solución del problema.
- **Fronteras de variables.** Son muy extrañas las variables en un problema de optimización que pueden tomar cualquier valor desde menos infinito hasta más infinito. Por el contrario, las variables usualmente tienen límites (Mendoza, 2004).

En PL, todas las expresiones matemáticas de la función objetivo y las restricciones son lineales.

4.3 AMPL (Un Lenguaje de Programación Matemática).

AMPL por sus siglas en inglés A Mathematical Programming Language es un lenguaje que demuestra a CPLEX como ejecutar un procedimiento específico llamado scripting y a su vez permite al usuario expresar programas matemáticos de manera intuitiva. El AMPL puede y traduce esos programas, solo si son programas lineales o programas cuadráticos, hacia un formato que puede ser leído por un número bastante amplio de solucionadores o "solver" por así decirlo y dentro de estos se encuentra el programa CPLEX y el LPSOLVE. (Gentry, 2003)

AMPL nos da una manera de expresar la representación algebraica del modelo y de éstos valores para los parámetros de manera separada. Hace esto usando dos archivos independientes, un archivo modelo y un fichero de datos. El AMPL lee el modelo del archivo .MOD, los datos del archivo con extensión .dat y los pone juntos en un formato que el programa solucionador entienda. Entonces, entrega este caso de problema al solver, el cuál alternadamente, soluciona el caso, y el programa regresa la solución al AMPL (Rajan, 2000). En la figura se muestra

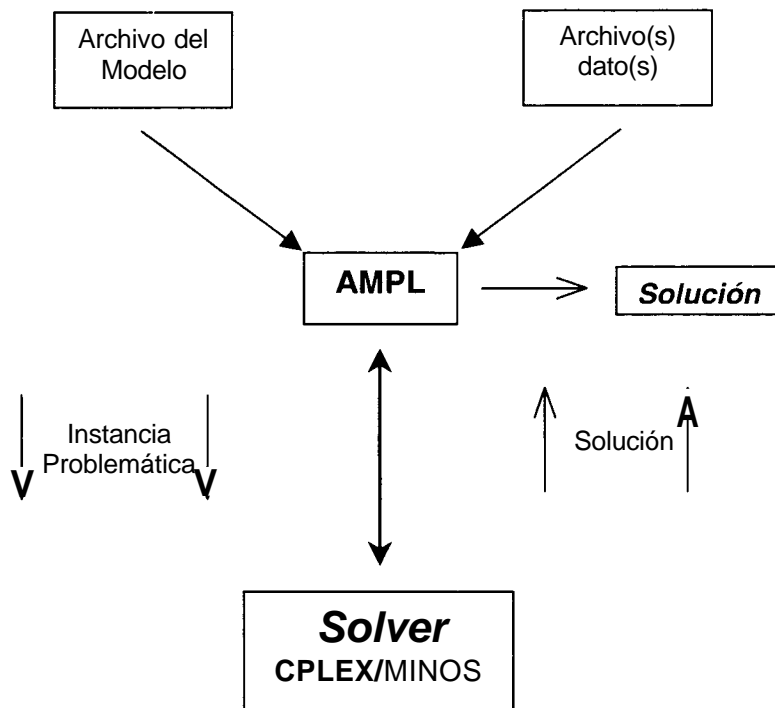


FIGURA 4.3 DIAGRAMA DEL FUNCIONAMIENTO DEL AMPL.

4.4 Modelo utilizado para la optimización de redes.

Así como se desarrollo el algoritmo Mentor II en el lenguaje C++ también se presenta un modelo en el lenguaje AMPL para poder tener los parámetros matemáticos que se necesita para dar solución al problema de diseño de redes, este modelo que se uso se encuentra como anexo de este trabajo. Y aquí mostraremos algunos lineamientos importantes que se siguieron para su desarrollo en base a lo propuesto y lo requerido:

- Los enlaces son pares de nodos sin un orden específico.
- Un arco es un par de nodos con un orden.
- Una ruta esta compuesta de arcos.
- El tráfico puede ser compartido entre diversas rutas.
- Supongamos que tenemos un enlace de 64k entre los puntos (A, B) esto accede a un flujo de 64,000bps dentro del arco (A,B) y 64,000bps en el arco (B,A) concurrentemente.

Con lo propuesto anteriormente podemos detallar las restricciones de nuestro modelo con los parámetros que a continuación se fijan:

Parámetros:

- N nodos,
- L enlaces,
- E arcos (los arcos tienen dirección),
- D dentro de $\{N,N\}$ pares que demandan tráfico,
- P rutas,
- $PD\{E\}$ dentro de $\{P\}$, donde $PD[o,d]$ denota el conjunto de rutas que pueden ser utilizadas para rutear la demanda $[o,d]$,
- $PE\{E\}$ dentro de $\{P\}$, donde $PE[e]$ manifiesta el acumulado de trayectos que utiliza el arco e ,
- $EQUIP$ simboliza el tipo de línea a ser manipulada en los arcos,
- $demand\{D\}$, $d[o,d]$ muestra la demanda del par $[o,d]$,
- $Cost\{EQUIP,L\}$, $Cost[eq,l]$ indica el costo por usar el tipo de enlace eq en el enlace l ,
- $Capacity\{EQUIP\}$, $Capacity[eq]$ expresa la capacidad del enlace de tipo eq .

4.4.1 Definición de las variables de Salida.

Lo antes propuesto es el fundamento para una mejor red en cuanto a costos. Y como parte complementaria es la determinación de variables a ser manipuladas en el modelo.

$$x\{P\} \geq 0 \quad (4.1)$$

$$y\{E\} \geq 0 \quad (4.2)$$

Esto muestra que la ecuación (4.1) establece que $x[p]$ figura el flujo de la ruta p . De la misma forma la ecuación (4.2), $y[e]$ exhibe el flujo en el arco e . (Mendoza, 2004)

Cabe mencionar que debemos tener una variable la cual nos muestre que ha sido situada una línea de conexión y a su vez en que arco, y para esto es la ecuación (4.3):

$$z\{EQUIP,E\} \text{ binario} \quad (4.3)$$

en la cual $c[\wedge, e] = 1$ solo si el tipo de enlace eq fue colocado en el arco e ; de otra manera $z[eq, e] = 0$.

Igual que en la ecuación anterior, se necesita de una variable que nos muestra los mismos datos pero ahora para los enlaces L :

$$w\{EQUIP,L\} \text{ binario} \quad (4.4)$$

Mientras que si $w[eq, l] = 1$ quiere decir que el tipo de enlace fue colocado en el enlace l ; sino $w[eq, l] = 0$.

Como ya tenemos declaradas nuestras variables de solución así como sus condiciones, solo nos falta determinar las limitantes de las mismas para poder consumir esta etapa de optimización de la red para esta investigación. Dado que:

- Todas las peticiones $\{o,d\}$

$$\sum_{p \in PD_{o,d}} x_p = demand_{od} \quad (4.5)$$

- Los flujos en arcos:

$$\sum_{p \in PE} x_p = \sum_{p \in PE} x_p \quad (4.6)$$

-

Las capacidades en arcos:

$$\sum_{eq \in EQUIP} Capacity^{eq} * z_{e,he} \leq V_l \quad (4.7)$$

- Para cada conexión y cantidad de enlaces:

$$\sum_{eq \in EQUIP} z_{eq,e} = V_l \quad (4.8)$$

- Para cada conexión y cantidad de enlaces:

$$x_{ij} \geq 0 \quad (4.9)$$

Con estas bases ya contempladas para nuestro modelo solución solo nos queda determinar lo que viene siendo nuestra función objetivo el cual será MinCost y se personifica como sigue:

$$\text{Minimizar } \sum_{i \in \text{EQUIP}} \sum_{j \in \text{L}} \text{Cost}_{ij} \cdot x_{ij} \quad (4.10)$$

4.4.2 Limitante del modelo.

Al querer realizar un modelo con una delineación basada en lo anterior y buscando obtener mejores resultados se hizo la propuesta de prácticamente obligar al modelo a buscar 6 rutas diferentes (o 6 saltos) para cada par de nodos y todas estas trayectorias tratando de ser el camino mas corto respetando los fundamentos de este trabajo en cuanto a diseño. Por ejemplo para el par de nodos (1,15):

Trayectoria	SPd
1 - 15	616
1 - 14- 15	618
1 - 12- 14- 15	707
1-5- 12- 14 - 15	813
1-5- 4- 12-14- 15	930
1-5- 4-12 -9- 10- 15	1054

Esto consecutivamente para todos los pares de nodos restantes en la red.

4.4.3 Archivo de datos.

En esta sección se muestra el planteamiento básico del modelo matemático en base a los datos a utilizar en el modelo. Tomando a n nodos, y a su vez todos interrelacionados entre si y así como el hecho de que no hay trafico ni costo en el nodo (z, i, j) . Los datos que se consideraron para esta parte se muestran en la sección de anexos de este trabajo. A continuación se muestra las cantidades en cuanto a limitantes del diseño con respecto a la cantidad de nodos n a utilizar, que para este caso fueron 15 y h viene siendo el número máximo de saltos.

Var.	Formula
N	n
L	$\frac{77 * (1-77)}{2}$
E	$77 * (77-1)$
D	$1? * (77-1)$
P	$1? * (77 * (77-1))$
PD	$77 * (77-1)$
PE	$77 * (77-1)$
EQUIP	1 (T1)
Capacity	1 (1540000)
Cost	$\frac{77 * (1-17)}{2}$

4.5 Resultados de Programación Lineal.

En esta etapa de pruebas en base a Programación lineal se usaron los mismos parámetros que se aplicaron a los ejemplos del algoritmo Mentor II manteniendo de esta manera la distribución de nodos, también la distribución de tráfico de 255000bps para cada uno de los nodos, y así como también se uso la misma tabla utilizada en el capítulo 2.8 para efectos de costo de la red con una línea T1 mostrándose a continuación

Link Type	Fixed Cost	Dist Cost	Dist Cost2	Dist1
T1	1000	24.35	15	3500

En base a los parámetros establecidos en el apartado anterior de este trabajo se simuló el modelo así como también el archivo vinculado de datos agregado en el anexo A. A continuación se muestran los resultados que se encontraron:

SimCplex 1	
Costo total	336925
Útil Promedio total	0.4793
No de líneas	36

SimCplex.2	
Costo total	325799
Útil Promedio total	0.4286
No de líneas	41

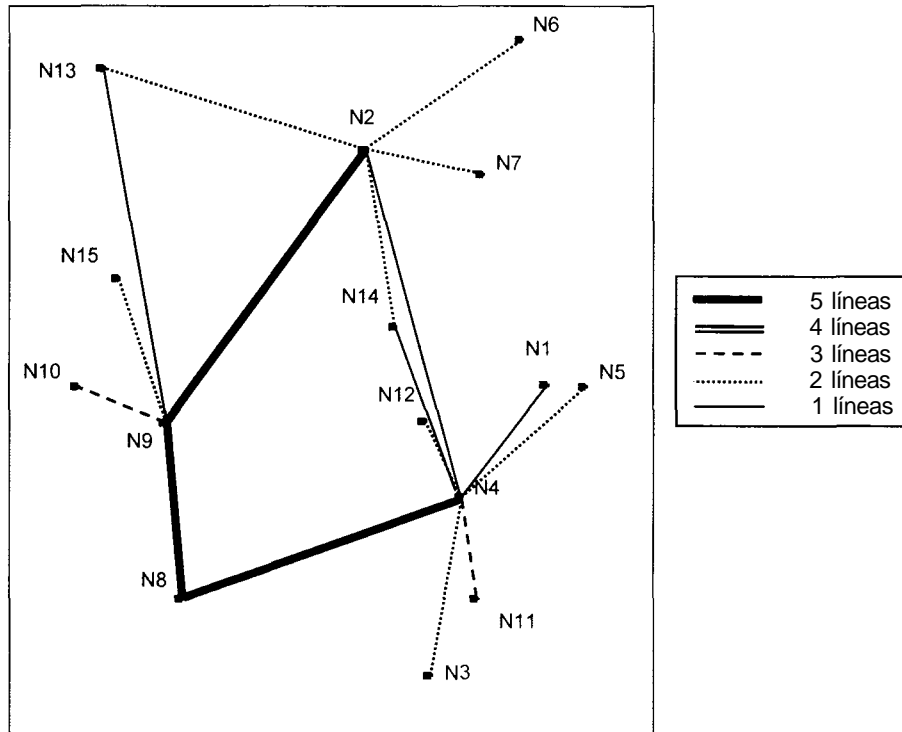


FIGURA 4.5 FIGURA DE LA SEGUNDA PRUEBA DE CONEXIÓN DE LA NUEVA PROPUESTA.

Como vemos ahora si existe una mejoría en el costo total de la red, comparado con la anterior, pero como consecuencia ahora tenemos un incremento en el número de líneas. Y debido a este aumento en las líneas la utilización de la red disminuyo notablemente y esta se encuentra dentro de lo óptimo. Aun y cuando comparemos este modelo con cualquiera de los 3 propuestos por Mentor II sigue mostrando una mayor confiabilidad Cplex en cada una de las líneas a pesar de su costo.

Ahora al querer tener un resultado cercano a lo óptimo trataremos de mejorar nuestro resultado anterior. Lo que se pretende es reducir los costos del modelo anterior. Esto se buscará utilizando las rutas del mejor modelo de mentor II; así mismo aprovechando los enlaces directos que nos den una mejor distribución de los enlaces en la red en base a los que tienen un alto grado de tráfico en el mismo.

Los resultados (Anexo C) de lo planteado se muestran en la siguiente figura:

SimCplex.3	
Costo total	212444
Útil Promedio total	0.79407
No de líneas	26

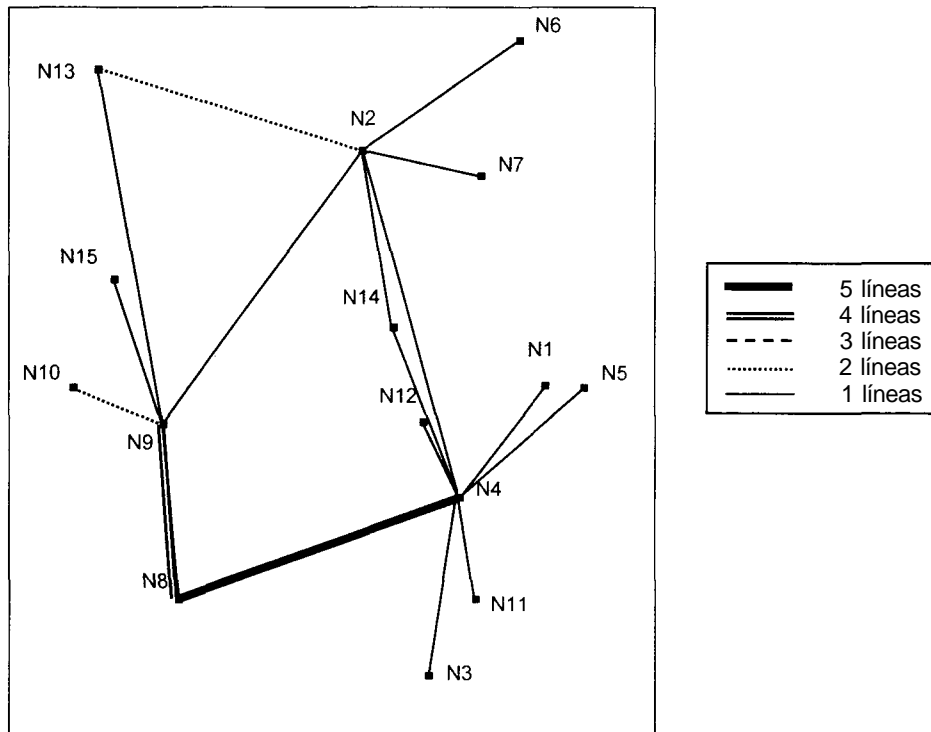


FIGURA 4.6 FIGURA DE MODELO USANDO ENLACES DIRECTOS.

Podemos observar en esta figura que se generan 2 especies de anillo entre los nodos 2, 14, 4, 8, 9 y 13; esto se da en estos nodos específicamente debido al alto grado de utilización que presentaban al ser los nodos centrales por así decirlo y la creación de estos anillos distribuye de una mejor manera el tráfico entre los nodos. Se puede observar una reducción en el costo total de la red en un 60% aproximadamente y a simple vista parece ser excelente pero esto conlleva a un aumento en la utilización de la red en un 200% prácticamente.

Conclusiones

En un principio se estableció la importancia de tener de manera clara y bien definida la planeación y diseño de redes para su optimización esto debido a la constante demanda de servicios de telecomunicaciones que son más globales y abundantes con el paso del tiempo.

Todo esto va generando nuevas y mejores corporaciones de telecomunicaciones, creando ambientes altamente competitivos y por ende las redes deben estar en constante actualización, buscando ofrecer calidad y confiabilidad de transferencia de información para poder complacer este entorno. Y aquí es donde el buen diseño de una red puede dar ese valor agregado a la industria.

Esto nos encamina a conocer más a fondo los diferentes métodos y formas para la creación de redes WAN con la finalidad de hacer mejoras a nivel de shortest path buscando la optimalidad en el diseño.

Tomando lo anterior y lo establecido en este trabajo tanto el algoritmo heurístico Mentor II y la programación lineal (PL) presentan estas características requeridas para el diseño de una red. Lo que prosigue es saber cual es la mejor opción al momento de diseñar la red.

Cabe mencionar que los valores de costos obtenidos en los diferentes diseños de Mentor II no son los más baratos sino que son puntos intermedios de diseño de redes en el cual el árbol del backbone no generará árboles completamente estrella ni árboles completamente Prim para evitar que la confiabilidad de la red fuese bajo.

A continuación se presenta la comparación que se genera en base a Mentor II y programación lineal presentados en esta tesis. Se consideraron los resultados que representan de manera más clara aspectos importantes en el diseño de redes propuestos en el objetivo.

5.1 Conclusiones: MENTOR II Vs. PL.

Los diagramas de las mejores redes generadas por ambos métodos se presentan en la figura 5.1:

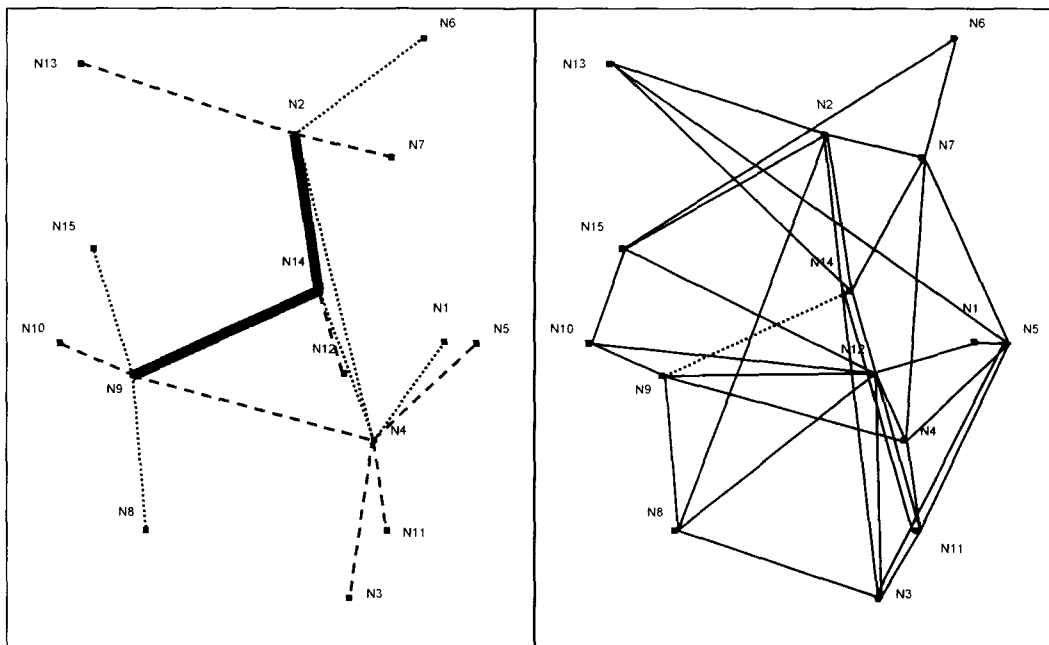


FIGURA 5.1 MENTORII VS. PL.

SimMentorII 1	
Costo	329490
Útil. Prom. Total	0.7826
No. De líneas	45
Confiabilidad	0.979

SimCplex	
Costo total	336925
Útil. Prom. Total	0.4793
No de líneas	36
Confiabilidad	0.999

NOTA: Los valores de confiabilidad obtenidos en los resultados por Delite son valores aproximados, que para propósitos de comparación de diseño cumplen con lo requerido.

Lo que se busca dentro de cualquier diseño es que presente una utilización que este dentro de los estándares propuestos en esta investigación así como un costo que sea relativamente bajo.

Si cotejamos ambos diseños como se ve en la figura 5.1 a primera instancia tenemos que ambos costos son casi los mismos lo cual hasta aquí los 2 diseños son muy similares. Pero si tomamos en cuenta el número de líneas utilizadas vemos una notable mejora la que presenta Cplex; dando en el diseño una reducción aproximada del 20%. Y en cuanto a utilización existe una diferencia bastante aceptable ya que Cplex se muestra alrededor del 50% mientras que

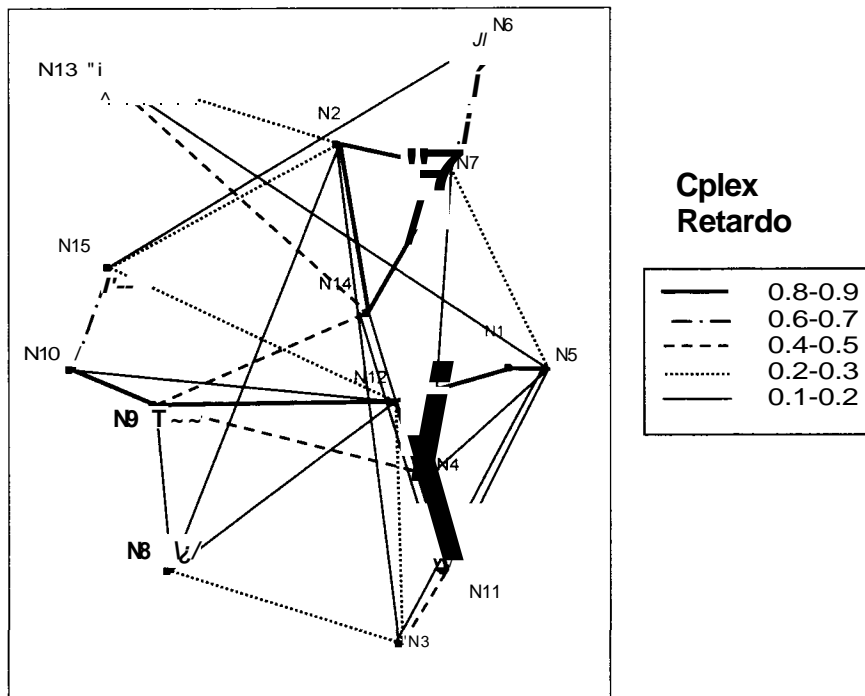


FIGURA 5.3 DIAGRAMA DE RETARDO DE SIM I DE CPLEX.

NOTA: Los cálculos de retardo de las redes son valores aproximados que obtuvimos con ayuda del programa DELITE, pero para efectos de comparación, si existe una diferencia efectiva. Es importante para futuros trabajos tomar esto en consideración.

Si observamos con mayor detenimiento vemos un alto grado de congestionamiento en los nodos 2, 14, 12 y 9 de ambos diseños por lo que debemos tener en cuenta que pueden existir mejores modelos para ambos procedimientos los cuales presenten un menor costo y que tenga mas variantes en cuanto al ruteo, y esto lo podemos ver en la siguiente comparación en donde tenemos los mejores diseños obtenidos por ambos métodos presentados a continuación.

Como se muestra en el diagrama 5.4 en ambos casos se generan 2 anillos entre los nodos con mayor trafico pero a diferencia de Mentor II con PL se crea un tercero el cual permite un mayor flujo de la información sin tanta carga lo cual permite una mejor distribución.

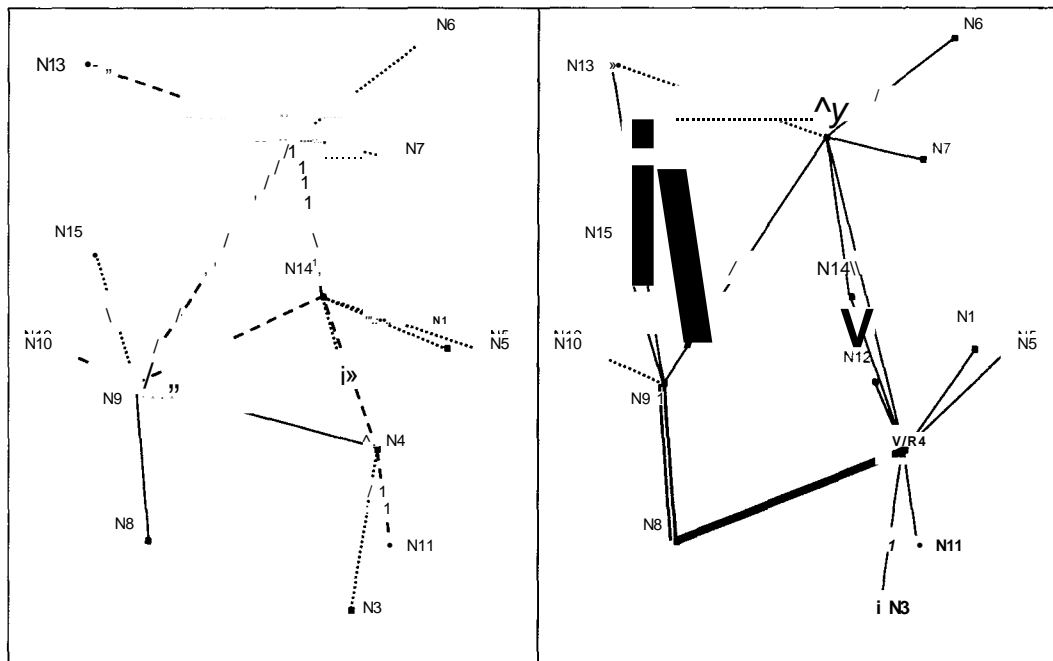


FIGURA 5.4 DISEÑOS FINALES DE MENTOR II Y PL RESPECTIVAMENTE.

SimIII	
Costo	272650
Útil. Prom. Total	0.7465
No. de líneas	37
Confiabilidad	0.9878

SimCplex.3	
Costo total	212444
Útil Promedio total	0.79407
No de líneas	26
Confiabilidad	0.9212

De estos diseños se observa que Cplex ofrece una solución más barata que Mentor II aunque se ve afectado en cuanto a utilización con respecto a Mentor II ya que éste último presenta una utilización de 74.65% mientras que Cplex nos da un valor más elevado llegando casi al 80% lo cual representa un problema en cuanto a ser un diseño óptimo. Si tomamos en cuenta el grado de confiabilidad ofrecida por ambos diseños Mentor II en su red nos da un valor de 98.78% y Cplex un 92.12% lo cual nos dice que con respecto a parámetros de utilización y confiabilidad Mentor II ofrece una mejor solución, pero Cplex presenta un diseño mas barato.

Si tomamos ahora los diseños con respecto a su retardo mostrados en las figuras 5.5 y 5.6 podemos ver que en el diseño de Mentor II obtenemos un retardo con un valor aproximado de 0.56 milisegundos con Cplex nos da 0.73 milisegundos siendo este un valor significativo. Ahora solo dependerá de las necesidades de cada empresa o diseñador en decidir que método utilizar de acuerdo a sus necesidades.

Lo que se podría decir a favor de Mentor II es el hecho de la creación de enlaces directos que permite un mejor acomodo de la red en comparación de la programación lineal esto debido a su algoritmo Incremental Shortest Path (ISP) que lo distingue de la versión anterior.

Por otro lado programación lineal maneja las conexiones de otra manera; esto es, busca todas las posibilidades existentes de conexiones entre los nodos hasta el caso de conectar todos contra todos aunque esto represente un alto grado de posibilidades de diseños; por lo tanto esto nos genera un margen bastante amplio en cuanto a resultados. Por esta razón se busco reducir el espacio solución a un numero finito de saltos en el diseño el cual se presento en el capitulo 4 mencionando un máximo de 6 saltos de cada uno de los pares de nodos.

Cabe mencionar que para programación lineal se recomienda empezar el diseño en base a una red ya establecida para a partir de ahí generar resultados óptimos de manera adecuada. Esto es debido a que podemos crear una amplia gama de soluciones con un alto número de enlaces directos y que no necesariamente sea lo óptimo.

5.2 Tiempos de simulación.

Como se dice comúnmente el "tiempo es oro" y por esta razón para diseños de redes es importante cuanto tiempo consume cada uno de estos procedimientos en sus respectivas simulaciones, y esto queda plasmado como sigue:

- Al trabajar con Mentor II es cuestión de segundos el que nos arroje un resultado aunque claro varia dependiendo de la velocidad de procesamiento de cada maquina.
- Con Programación lineal una simulación de un modelo planteado nos lleva en promedio máximo 30min.
- Con Mentor II si ya se tiene el algoritmo elaborado entonces solo es cuestión de capturar datos y ejecutar el algoritmo pero en caso de tener que

programar Mentor II y debido a su cierta complejidad nos tomaría un tiempo bastante considerable en desarrollarlo.

- Para PL elaborar el modelo matemático es cuestión de unos minutos en tenerlo listo; el problema es la creación de archivo de datos al tener que capturar toda la información necesaria ya que es un proceso un poco tardado debido a su importancia en cuanto a contenido. Y estos archivos de datos son los que llevan información específica de las limitantes del modelo por ello se desarrollo un programa que genera los archivos.
- Con Mentor II el crear un modelo requiere de varias simulaciones para buscar obtener un mejor modelo de diseño de redes y esto se hace de manera manual variando los diferentes parámetros ya antes mencionados.
- La ventaja de la programación lineal es que mientras ya se tenga una red inicial y el archivo de los datos sea confiable tendremos la certeza que nuestra primera simulación será la mas acertada.

Para terminar al ya tener una perspectiva más amplia del diseño de redes y el análisis detallado de estos 2 procedimientos podemos decir que no necesariamente estamos hablando de que uno sea mejor que el otro sino del hecho de las facilidades que ofrecen ambos diseños así como la posibilidad de complementarse uno con otro para así estar seguro de alcanzar un resultado bastante aceptable.

Anexo A

Set N := N1 N2 N3 N4 N5 N6 N7 N8 N9 N10 N11 N12 N13 N14 N15;

setL := 1 2 34 56 7 89 10 11 12 13 14 15 16 17 18 19 20 21 22 23 24 25 26 27 28 29 30 31 32 33 34 35 36 37 38 39 40 41 42 43 44 45 46
47 48 49 50 51 52 53 54 55 56 57 58 59 60 61 62 63 64 65 66 67 68 69 70 71 72 73 74 75 76 77 78 79 80 81 82 83 84 85 86 87 88 89 90 91
92 93 94 95 96 97 98 99 100 101 102 103 104 105;

set E:= 1 2 34 56 7 89 10 11 12 13 14 15 16 17 18 19 20 21 22 23 24 25 26 27 28 29 30 31 32 33 34 35 36 37 38 39 40 41 42 43 44 45 46
47 48 49 50 51 52 53 54 55 56 57 58 59 60 61 62 63 64 65 66 67 68 69 70 71 72 73 74 75 76 77 78 79 80 81 82 83 84 85 86 87 88 89 90 91
92 93 94 95 96 97 98 99 100 101 102 103 104 105 106 107 108 109 110 111 112 113 114 115 116 117 118 119 120 121 122 123 124 125
126 127 128 129 130 131 132 133 134 135 136 137 138 139 140 141 142 143 144 145 146 147 148 149 150 151 152 153 154 155 156 157
158 159 160 161 162 163 164 165 166 167 168 169 170 171 172 173 174 175 176 177 178 179 180 181 182 183 184 185 186 187 188 189
190 191 192 193 194 195 196 197 198 199 200 201 202 203 204 205 206 207 208 209 210;

setD := (N1,N2)(N1,N3)(N1,N4)(N1,N5)(N1,N6)(N1,N7)(N1,N8)(N1,N9)(N1,N10)(N1,N11)(N1,N12)(N1,N13)(N1,N14)(N1,N15)
(N2,N1)(N2,N3)(N2,N4)(N2,N5)(N2,N6)(N2,N7)(N2,N8)(N2,N9)(N2,N10)(N2,N11)(N2,N12)(N2,N13)(N2,N14)(N2,N15)(N3,N1)
(N3,N2)(N3,N4)(N3,N5)(N3,N6)(N3,N7)(N3,N8)(N3,N9)(N3,N10)(N3,N11)(N3,N12)(N3,N13)(N3,N14)(N3,N15)(N4,N1)(N4,N2)
(N4,N3)(N4,N4)(N4,N5)(N4,N6)(N4,N7)(N4,N8)(N4,N9)(N4,N10)(N4,N11)(N4,N12)(N4,N13)(N4,N14)(N4,N15)(N5,N1)(N5,N2)(N5,N3)
(N5,N4)(N5,N5)(N5,N6)(N5,N7)(N5,N8)(N5,N9)(N5,N10)(N5,N11)(N5,N12)(N5,N13)(N5,N14)(N5,N15)(N6,N1)(N6,N2)(N6,N3)(N6,N4)
(N6,N5)(N6,N6)(N6,N7)(N6,N8)(N6,N9)(N6,N10)(N6,N11)(N6,N12)(N6,N13)(N6,N14)(N6,N15)(N7,N1)(N7,N2)(N7,N3)(N7,N4)(N7,N5)
(N7,N6)(N7,N7)(N7,N8)(N7,N9)(N7,N10)(N7,N11)(N7,N12)(N7,N13)(N7,N14)(N7,N15)(N8,N1)(N8,N2)(N8,N3)(N8,N4)(N8,N5)(N8,N6)
(N8,N7)(N8,N8)(N8,N9)(N8,N10)(N8,N11)(N8,N12)(N8,N13)(N8,N14)(N8,N15)(N9,N1)(N9,N2)(N9,N3)(N9,N4)(N9,N5)(N9,N6)
(N9,N7)(N9,N8)(N9,N9)(N9,N10)(N9,N11)(N9,N12)(N9,N13)(N9,N14)(N9,N15)(N10,N1)(N10,N2)(N10,N3)(N10,N4)(N10,N5)(N10,N6)
(N10,N7)(N10,N8)(N10,N9)(N10,N10)(N10,N11)(N10,N12)(N10,N13)(N10,N14)(N10,N15)(N11,N1)(N11,N2)(N11,N3)(N11,N4)(N11,N5)
(N11,N6)(N11,N7)(N11,N8)(N11,N9)(N11,N10)(N11,N11)(N11,N12)(N11,N13)(N11,N14)(N11,N15)(N12,N1)(N12,N2)(N12,N3)
(N12,N4)(N12,N5)(N12,N6)(N12,N7)(N12,N8)(N12,N9)(N12,N10)(N12,N11)(N12,N12)(N12,N13)(N12,N14)(N12,N15)(N13,N1)
(N13,N2)(N13,N3)(N13,N4)(N13,N5)(N13,N6)(N13,N7)(N13,N8)(N13,N9)(N13,N10)(N13,N11)(N13,N12)(N13,N13)(N13,N14)
(N13,N15)(N14,N1)(N14,N2)(N14,N3)(N14,N4)(N14,N5)(N14,N6)(N14,N7)(N14,N8)(N14,N9)(N14,N10)(N14,N11)(N14,N12)
(N14,N13)(N14,N14)(N14,N15)(N15,N1)(N15,N2)(N15,N3)(N15,N4)(N15,N5)(N15,N6)(N15,N7)(N15,N8)(N15,N9)
(N15,N10)(N15,N11)(N15,N12)(N15,N13)(N15,N14);

set P := 1 2 34 56 7 89 10 11 12 13 14 15 16 17 18 19 20 21 22 23 24 25 26 27 28 29 30 31 32 33 34 35 36 37 38 39 40 41 42 43 44 45 46
47 48 49 50 51 52 53 54 55 56 57 58 59 60 61 62 63 64 65 66 67 68 69 70 71 72 73 74 75 76 77 78 79 80 81 82 83 84 85 86 87 88 89 90 91
92 93 94 95 96 97 98 99 100 101 102 103 104 105 106 107 108 109 110 111 112 113 114 115 116 117 118 119 120 121 122 123 124 125
126 127 128 129 130 131 132 133 134 135 136 137 138 139 140 141 142 143 144 145 146 147 148 149 150 151 152 153 154 155 156 157
158 159 160 161 162 163 164 165 166 167 168 169 170 171 172 173 174 175 176 177 178 179 180 181 182 183 184 185 186 187 188 189
190 191 192 193 194 195 196 197 198 199 200 201 202 203 204 205 206 207 208 209 210 211 212 213 214 215 216 217 218 219 220 221
222 223 224 225 226 227 228 229 230 231 232 233 234 235 236 237 238 239 240 241 242 243 244 245 246 247 248 249 250 251 252 253
254 255 256 257 258 259 260 261 262 263 264 265 266 267 268 269 270 271 272 273 274 275 276 277 278 279 280 281 282 283 284 285
286 287 288 289 290 291 292 293 294 295 296 297 298 299 300 301 302 303 304 305 306 307 308 309 310 311 312 313 314 315 316 317
318 319 320 321 322 323 324 325 326 327 328 329 330 331 332 333 334 335 336 337 338 339 340 341 342 343 344 345 346 347 348 349
350 351 352 353 354 355 356 357 358 359 360 361 362 363 364 365 366 367 368 369 370 371 372 373 374 375 376 377 378 379 380 381
382 383 384 385 386 387 388 389 390 391 392 393 394 395 396 397 398 399 400 401 402 403 404 405 406 407 408 409 410 411 412 413
414 415 416 417 418 419 420 421 422 423 424 425 426 427 428 429 430 431 432 433 434 435 436 437 438 439 440 441 442 443 444 445
446 447 448 449 450 451 452 453 454 455 456 457 458 459 460 461 462 463 464 465 466 467 468 469 470 471 472 473 474 475 476 477
478 479 480 481 482 483 484 485 486 487 488 489 490 491 492 493 494 495 496 497 498 499 500 501 502 503 504 505 506 507 508 509
510 511 512 513 514 515 516 517 518 519 520 521 522 523 524 525 526 527 528 529 530 531 532 533 534 535 536 537 538 539 540 541
542 543 544 545 546 547 548 549 550 551 552 553 554 555 556 557 558 559 560 561 562 563 564 565 566 567 568 569 570 571 572 573
574 575 576 577 578 579 580 581 582 583 584 585 586 587 588 589 590 591 592 593 594 595 596 597 598 599 600 601 602 603 604 605
606 607 608 609 610 611 612 613 614 615 616 617 618 619 620 621 622 623 624 625 626 627 628 629 630 631 632 633 634 635 636 637
638 639 640 641 642 643 644 645 646 647 648 649 650 651 652 653 654 655 656 657 658 659 660 661 662 663 664 665 666 667 668 669
670 671 672 673 674 675 676 677 678 679 680 681 682 683 684 685 686 687 688 689 690 691 692 693 694 695 696 697 698 699 700 701
702 703 704 705 706 707 708 709 710 711 712 713 714 715 716 717 718 719 720 721 722 723 724 725 726 727 728 729 730 731 732 733
734 735 736 737 738 739 740 741 742 743 744 745 746 747 748 749 750 751 752 753 754 755 756 757 758 759 760 761 762 763 764 765
766 767 768 769 770 771 772 773 774 775 776 777 778 779 780 781 782 783 784 785 786 787 788 789 790 791 792 793 794 795 796 797
798 799 800 801 802 803 804 805 806 807 808 809 810 811 812 813 814 815 816 817 818 819 820 821 822 823 824 825 826 827 828 829
830 831 832 833 834 835 836 837 838 839 840 841 842 843 844 845 846 847 848 849 850 851 852 853 854 855 856 857 858 859 860 861
862 863 864 865 866 867 868 869 870 871 872 873 874 875 876 877 878 879 880 881 882 883 884 885 886 887 888 889 890 891 892 893
894 895 896 897 898 899 900 901 902 903 904 905 906 907 908 909 910 911 912 913 914 915 916 917 918 919 920 921 922 923 924 925
926 927 928 929 930 931 932 933 934 935 936 937 938 939 940 941 942 943 944 945 946 947 948 949 950 951 952 953 954 955 956 957
958 959 960 961 962 963 964 965 966 967 968 969 970 971 972 973 974 975 976 977 978 979 980 981 982 983 984 985 986 987 988 989
990 991 992 993 994 995 996 997 998 999 1000 1001 1002 1003 1004 1005 1006 1007 1008 1009 1010 1011 1012 1013 1014 1015 1016
1017 1018 1019 1020 1021 1022 1023 1024 1025 1026 1027 1028 1029 1030 1031 1032 1033 1034 1035 1036 1037 1038 1039 1040 1041
1042 1043 1044 1045 1046 1047 1048 1049 1050 1051 1052 1053 1054 1055 1056 1057 1058 1059 1060 1061 1062 1063 1064 1065 1066
1067 1068 1069 1070 1071 1072 1073 1074 1075 1076 1077 1078 1079 1080 1081 1082 1083 1084 1085 1086 1087 1088 1089 1090 1091
1092 1093 1094 1095 1096 1097 1098 1099 1100 1101 1102 1103 1104 1105 1106 1107 1108 1109 1110 1111 1112 1113 1114 1115 1116
1117 1118 1119 1120 1121 1122 1123 1124 1125 1126 1127 1128 1129 1130 1131 1132 1133 1134 1135 1136 1137 1138 1139 1140 1141
1142 1143 1144 1145 1146 1147 1148 1149 1150 1151 1152 1153 1154 1155 1156 1157 1158 1159 1160 1161 1162 1163 1164 1165 1166
1167 1168 1169 1170 1171 1172 1173 1174 1175 1176 1177 1178 1179 1180 1181 1182 1183 1184 1185 1186 1187 1188 1189 1190 1191
1192 1193 1194 1195 1196 1197 1198 1199 1200 1201 1202 1203 1204 1205 1206 1207 1208 1209 1210 1211 1212 1213 1214 1215 1216
1217 1218 1219 1220 1221 1222 1223 1224 1225 1226 1227 1228 1229 1230 1231 1232 1233 1234 1235 1236 1237 1238 1239 1240 1241
1242 1243 1244 1245 1246 1247 1248 1249 1250 1251 1252 1253 1254 1255 1256 1257 1258 1259 1260;

setPD[N1,N2] := 12 3456;
 setPD[N1,N4] := 13 14 15 16 17 18;
 setPD[N1,N6] := 25 26 27 28 29 30;
 setPD[N1,N8] := 37 38 39 40 41 42;
 setPD[N1,N10] := 49 50 51 52 53 54;
 setPD[N1,N12] := 61 62 63 64 65 66;
 setPD[N1,N14] := 73 74 75 76 77 78;
 setPD[N2,N1] := 85 86 87 88 89 90;
 setPD[N2,N4] := 97 98 99 100 101 102;
 setPD[N2,N6] := 109 110 111 112 113 114;
 setPD[N2,N8] := 121 122 123 124 125 126;
 setPD[N2,N10] := 133 134 135 136 137 138;
 setPD[N2,N12] := 145 146 147 148 149 150;
 setPD[N2,N14] := 157 158 159 160 161 162;
 setPD[N3,N1] := 169 170 171 172 173 174;
 setPD[N3,N4] := 181 182 183 184 185 186;
 setPD[N3,N6] := 193 194 195 196 197 198;
 setPD[N3,N8] := 205 206 207 208 209 210;
 setPD[N3,N10] := 217 218 219 220 221 222;
 setPD[N3,N12] := 229 230 231 232 233 234;
 setPD[N3,N14] := 241 242 243 244 245 246;
 setPD[N4,N1] := 253 254 255 256 257 258;
 setPD[N4,N3] := 265 266 267 268 269 270;
 setPD[N4,N6] := 277 278 279 280 281 282;
 setPD[N4,N8] := 289 290 291 292 293 294;
 setPD[N4,N10] := 301 302 303 304 305 306;
 setPD[N4,N12] := 313 314 315 316 317 318;
 setPD[N4,N14] := 325 326 327 328 329 330;
 setPD[N5,N1] := 337 338 339 340 341 342;
 setPD[N5,N3] := 349 350 351 352 353 354;
 setPD[N5,N6] := 361 362 363 364 365 366;
 setPD[N5,N8] := 373 374 375 376 377 378;
 setPD[N5,N10] := 385 386 387 388 389 390;
 setPD[N5,N12] := 397 398 399 400 401 402;
 setPD[N5,N14] := 409 410 411 412 413 414;
 setPD[N6,N1] := 421 422 423 424 425 426;
 setPD[N6,N3] := 433 434 435 436 437 438;
 setPD[N6,N5] := 445 446 447 448 449 450;
 setPD[N6,N8] := 457 458 459 460 461 462;
 setPD[N6,N10] := 469 470 471 472 473 474;
 setPD[N6,N12] := 481 482 483 484 485 486;
 setPD[N6,N14] := 493 494 495 496 497 498;
 setPD[N7,N1] := 505 506 507 508 509 510;
 setPD[N7,N3] := 517 518 519 520 521 522;
 setPD[N7,N5] := 529 530 531 532 533 534;
 setPD[N7,N8] := 541 542 543 544 545 546;
 setPD[N7,N10] := 553 554 555 556 557 558;
 setPD[N7,N12] := 565 566 567 568 569 570;
 setPD[N7,N14] := 577 578 579 580 581 582;
 setPD[N8,N1] := 589 590 591 592 593 594;
 setPD[N8,N3] := 601 602 603 604 605 606;
 setPD[N8,N5] := 613 614 615 616 617 618;
 setPD[N8,N7] := 625 626 627 628 629 630;
 setPD[N8,N10] := 637 638 639 640 641 642;
 setPD[N8,N12] := 649 650 651 652 653 654;
 setPD[N8,N14] := 661 662 663 664 665 666;
 setPD[N9,N1] := 673 674 675 676 677 678;
 setPD[N9,N3] := 685 686 687 688 689 690;
 setPD[N9,N5] := 697 698 699 700 701 702;
 setPD[N9,N7] := 709 710 711 712 713 714;
 setPD[N9,N10] := 721 722 723 724 725 726;
 setPD[N9,N12] := 733 734 735 736 737 738;
 setPD[N9,N14] := 745 746 747 748 749 750;
 setPD[N10,N1] := 757 758 759 760 761 762;
 setPD[N10,N3] := 769 770 771 772 773 774;
 setPD[N10,N5] := 781 782 783 784 785 786;
 setPD[N10,N7] := 793 794 795 796 797 798;
 setPD[N10,N9] := 805 806 807 808 809 810;
 setPD[N10,N12] := 817 818 819 820 821 822;
 setPD[N10,N14] := 829 830 831 832 833 834;
 setPD[N11,N1] := 841 842 843 844 845 846;
 setPD[N11,N3] := 853 854 855 856 857 858;
 setPD[N11,N5] := 865 866 867 868 869 870;
 setPD[N11,N7] := 877 878 879 880 881 882;
 setPD[N11,N9] := 889 890 891 892 893 894;
 setPD[N11,N12] := 901 902 903 904 905 906;
 setPD[N11,N14] := 913 914 915 916 917 918;
 setPD[N12,N1] := 925 926 927 928 929 930;
 setPD[N12,N3] := 937 938 939 940 941 942;

setPD[N1,N3] := 789 10 11 12;
 setPD[N1,N5] := 19 20 21 22 23 24;
 setPD[N1,N7] := 31 32 33 34 35 36;
 setPD[N1,N9] := 43 44 45 46 47 48;
 setPD[N1,N11] := 55 56 57 58 59 60;
 setPD[N1,N13] := 67 68 69 70 71 72;
 setPD[N1,N15] := 79 80 81 82 83 84;
 setPD[N2,N3] := 91 92 93 94 95 96;
 setPD[N2,N5] := 103 104 105 106 107 108;
 setPD[N2,N7] := 115 116 117 118 119 120;
 setPD[N2,N9] := 127 128 129 130 131 132;
 setPD[N2,N11] := 139 140 141 142 143 144;
 setPD[N2,N13] := 151 152 153 154 155 156;
 setPD[N2,N15] := 163 164 165 166 167 168;
 setPD[N3,N2] := 175 176 177 178 179 180;
 setPD[N3,N5] := 187 188 189 190 191 192;
 setPD[N3,N7] := 199 200 201 202 203 204;
 setPD[N3,N9] := 211 212 213 214 215 216;
 setPD[N3,N11] := 223 224 225 226 227 228;
 setPD[N3,N13] := 235 236 237 238 239 240;
 setPD[N3,N15] := 247 248 249 250 251 252;
 setPD[N4,N2] := 259 260 261 262 263 264;
 setPD[N4,N5] := 271 272 273 274 275 276;
 setPD[N4,N7] := 283 284 285 286 287 288;
 setPD[N4,N9] := 295 296 297 298 299 300;
 setPD[N4,N11] := 307 308 309 310 311 312;
 setPD[N4,N13] := 319 320 321 322 323 324;
 setPD[N4,N15] := 331 332 333 334 335 336;
 setPD[N5,N2] := 343 344 345 346 347 348;
 setPD[N5,N4] := 355 356 357 358 359 360;
 setPD[N5,N7] := 367 368 369 370 371 372;
 setPD[N5,N9] := 379 380 381 382 383 384;
 setPD[N5,N11] := 391 392 393 394 395 396;
 setPD[N5,N13] := 403 404 405 406 407 408;
 setPD[N5,N15] := 415 416 417 418 419 420;
 setPD[N6,N2] := 427 428 429 430 431 432;
 setPD[N6,N4] := 439 440 441 442 443 444;
 setPD[N6,N7] := 451 452 453 454 455 456;
 setPD[N6,N9] := 463 464 465 466 467 468;
 setPD[N6,N11] := 475 476 477 478 479 480;
 setPD[N6,N13] := 487 488 489 490 491 492;
 setPD[N6,N15] := 499 500 501 502 503 504;
 setPD[N7,N2] := 511 512 513 514 515 516;
 setPD[N7,N4] := 523 524 525 526 527 528;
 setPD[N7,N6] := 535 536 537 538 539 540;
 setPD[N7,N9] := 547 548 549 550 551 552;
 setPD[N7,N11] := 559 560 561 562 563 564;
 setPD[N7,N13] := 571 572 573 574 575 576;
 setPD[N7,N15] := 583 584 585 586 587 588;
 setPD[N8,N2] := 595 596 597 598 599 600;
 setPD[N8,N4] := 607 608 609 610 611 612;
 setPD[N8,N6] := 619 620 621 622 623 624;
 setPD[N8,N9] := 631 632 633 634 635 636;
 setPD[N8,N11] := 643 644 645 646 647 648;
 setPD[N8,N13] := 655 656 657 658 659 660;
 setPD[N8,N15] := 667 668 669 670 671 672;
 setPD[N9,N2] := 679 680 681 682 683 684;
 setPD[N9,N4] := 691 692 693 694 695 696;
 setPD[N9,N6] := 703 704 705 706 707 708;
 setPD[N9,N8] := 715 716 717 718 719 720;
 setPD[N9,N11] := 727 728 729 730 731 732;
 setPD[N9,N13] := 739 740 741 742 743 744;
 setPD[N9,N15] := 751 752 753 754 755 756;
 setPD[N10,N2] := 763 764 765 766 767 768;
 setPD[N10,N4] := 775 776 777 778 779 780;
 setPD[N10,N6] := 787 788 789 790 791 792;
 setPD[N10,N8] := 799 800 801 802 803 804;
 setPD[N10,N11] := 811 812 813 814 815 816;
 setPD[N10,N13] := 823 824 825 826 827 828;
 setPD[N10,N15] := 835 836 837 838 839 840;
 setPD[N11,N2] := 847 848 849 850 851 852;
 setPD[N11,N4] := 859 860 861 862 863 864;
 setPD[N11,N6] := 871 872 873 874 875 876;
 setPD[N11,N8] := 883 884 885 886 887 888;
 setPD[N11,N10] := 895 896 897 898 899 900;
 setPD[N11,N13] := 907 908 909 910 911 912;
 setPD[N11,N15] := 919 920 921 922 923 924;
 setPD[N12,N2] := 931 932 933 934 935 936;
 setPD[N12,N4] := 943 944 945 946 947 948;

```

setPD[N12,N5] := 949 950 951 952 953 954;
setPD[N12,N7] := 961 962 963 964 965 966;
setPD[N12,N9] := 973 974 975 976 977 978;
setPD[N12,N11] := 985 986 987 988 989 990;
setPD[N12,N14] := 997 998 999 1000 1001 1002;
setPD[N13,N1] := 1009 1010 1011 1012 1013 1014;
setPD[N13,N3] := 1021 1022 1023 1024 1025 1026;
setPD[N13,N5] := 1033 1034 1035 1036 1037 1038;
setPD[N13,N7] := 1045 1046 1047 1048 1049 1050;
setPD[N13,N9] := 1057 1058 1059 1060 1061 1062;
setPD[N13,N11] := 1069 1070 1071 1072 1073 1074;
setPD[N13,N14] := 1081 1082 1083 1084 1085 1086;
setPD[N14,N1] := 1093 1094 1095 1096 1097 1098;
setPD[N14,N3] := 1105 1106 1107 1108 1109 1110;
set PD[N14,N5] := 1117 1118 1119 1120 1121 1122;
set PD[N14,N7] := 1129 1130 1131 1132 1133 1134;
setPD[N14,N9] := 1141 1142 1143 1144 1145 1146;
setPD[N14,N11] := 1153 1154 1155 1156 1157 1158;
setPD[N14,N13] := 1165 1166 1167 1168 1169 1170;
setPD[N15,N1] := 1177 1178 1179 1180 1181 1182;
setPD[N15,N3] := 1189 1190 1191 1192 1193 1194;
setPD[N15,N5] := 1201 1202 1203 1204 1205 1206;
setPD[N15,N7] := 1213 1214 1215 1216 1217 1218;
setPD[N15,N9] := 1225 1226 1227 1228 1229 1230;
setPD[N15,N11] := 1237 1238 1239 1240 1241 1242;
setPD[N15,N13] := 1249 1250 1251 1252 1253 1254;

```

```

setPD[N12,N6] := 955 956 957 958 959 960;
setPD[N12,N8] := 967 968 969 970 971 972;
setPD[N12,N10] := 979 980 981 982 983 984;
setPD[N12,N13] := 991 992 993 994 995 996;
setPD[N12,N15] := 1003 1004 1005 1006 1007 1008;
setPD[N13,N2] := 1015 1016 1017 1018 1019 1020;
setPD[N13,N4] := 1027 1028 1029 1030 1031 1032;
setPD[N13,N6] := 1039 1040 1041 1042 1043 1044;
setPD[N13,N8] := 1051 1052 1053 1054 1055 1056;
setPD[N13,N10] := 1063 1064 1065 1066 1067 1068;
setPD[N13,N12] := 1075 1076 1077 1078 1079 1080;
setPD[N13,N15] := 1087 1088 1089 1090 1091 1092;
setPD[N14,N2] := 1099 1100 1101 1102 1103 1104;
setPD[N14,N4] := 1111 1112 1113 1114 1115 1116;
setPD[N14,N6] := 1123 1124 1125 1126 1127 1128;
setPD[N14,N8] := 1135 1136 1137 1138 1139 1140;
setPD[N14,N10] := 1147 1148 1149 1150 1151 1152;
setPD[N14,N12] := 1159 1160 1161 1162 1163 1164;
setPD[N14,N15] := 1171 1172 1173 1174 1175 1176;
setPD[N15,N2] := 1183 1184 1185 1186 1187 1188;
setPD[N15,N4] := 1195 1196 1197 1198 1199 1200;
setPD[N15,N6] := 1207 1208 1209 1210 1211 1212;
setPD[N15,N8] := 1219 1220 1221 1222 1223 1224;
setPD[N15,N10] := 1231 1232 1233 1234 1235 1236;
setPD[N15,N12] := 1243 1244 1245 1246 1247 1248;
setPD[N15,N14] := 1255 1256 1257 1258 1259 1260;

```

```

setPE[ 1] := 1 344;
set PE[ 2] := 7;
set PE[ 3] := 9 13 56 149 162 184 347 348 352 356 366
371 372 377 383 390 393 399 408 412 485 498 516
552 568 581 856 861 940 944 971 1080;
set PE[ 4] := 19 3 4 5 6 10 11 12 14 15 16
17 18 27 29 30 32 34 35 36 39 40 41
42 45 46 47 48 52 53 54 57 58 59 60
62 63 64 65 66 70 71 72 75 76 77 78
82 83 84 102 104 105 106 107 108 113 114 118
119 120 150 189 190 226 227 228 263 268 269 270
272 273 274 275 276 294 309 310 311 312 444 447
448 449 450 456 486 527 528 530 531 532 533 534
539 564 569 570 582 614 615 616 617 618 683 684
690 694 696 698 699 700 701 702 708 713 714 726
731 737 738 744 748 755 768 779 780 782 783 784
785 786 798 810 816 821 822 833 840 852 866 867
868 869 870 934 935 941 942 945 946 947 948 950
951 952 953 954 959 964 972 978 983 988 989 990
996 999 1008 1034 1036 1037 1038 1102 1103 1104 1109 1110
1113 1114 1115 1116 1118 1119 1120 1121 1122 1126 1127 1128
1131 1132 1133 1140 1144 1145 1151 1152 1157 1158 1161 1163
1164 1170 1176 1200 1202 1203 1204 1205 1206 1229 1230 1236
1248 1260;
set PE[ 5] := 25;
set PE[ 6] := 31 2 26 69 345 360 363 368 406 1134;
set PE[ 7] := 37 374;
set PE[ 8] := 43 380;
setPE[ 9] := 49 386;
setPE[ 10] := 55 8 351 392 400 401 402 413 414;
setPE[ 11] := 61 20 21 28 33 38 44 50 51 74 81
101 131 132 138 144 148 161 185 216 232 233 245
246 264 282 287 288 298 300 305 306 314 315 327
328 329 330 336 346 353 357 365 370 375 376 378
381 384 387 388 389 394 398 407 411 418 419 420
432 455 468 497 515 540 551 558 580 612 653 654
666 857 862 882 893 900 904 917 918 1062 1086;
setPE[ 12] := 67 404;
setPE[ 13] := 73 22 223 24 68 80 160 186 234 316 317
318 354 358 359 364 369 395 396 405 41 417 431
496 514 579 749 756 834 858 863 864 905 906 936
960 965 966 977 984 1000 1001 1002;
set PE[ 14] := 79 416;
setPE[ 15] := 85 104;
setPE[ 16] := 91;
setPE[ 17] := 97 140;
setPE[ 18] := 103;
setPE[ 19] := 109 116 536 537 538 540 704 788 789 1040 1047
1208;

```

```

set PE[ 20] :=      115      36      86      87      90      96      100      101      102      105      108
                110      130      131      132      137      138      143      144      147      148      150
                158      159      160      161      162      168      204      258      276      281      286      288
                372      452      707      712      790      792      794      795      797      876      881      958
                963      966      1011      1012      1031      1036      1041      1042      1046      1061      1062      1068
                1074      1078      1080      1083      1086      1125      1130      1209      1214      1218;
setPE[ 21] :=      121;
set PE[ 22] :=      127      122      154      165      464      1090;
set PE[ 23] :=      133      470      554;
set PE[ 24] :=      139;
set PE[ 25] :=      145;
set PE[ 26] :=      151      69      70      71      72      240      322      323      406      407      408
                488      489      572      573      659      743      744      827      828      911      912      993
                994      996      1166      1167      1170      1252      1253      1254;
set PE[ 27] :=      157      18      88      89      92      93      94      95      98      99      106
                107      111      112      113      114      117      118      119      120      123      124      125
                126      128      135      136      141      142      146      153      155      156      164      166
                167      360      443      453      454      456      474      480      484      510      522      526
                528      534      557      563      567      570      578      588      1013      1014      1026      1030
                1037      1038      1055      1067      1073      1077      1082      1091      1092;
set PE[ 28] :=      163      129      134      152      467      471      472      490      500      501      550
                555      584;
set PE[ 29] :=      169;
set PE[ 30] :=      175;
set PE[ 31] :=      181      65      66      78      178      194      195      200      224      226      227
                228      230      243      342      401      402      414      846      870      903      906      916
                918      948      1116      1164;
set PE[ 32] :=      187      864;
set PE[ 33] :=      193;
set PE[ 34] :=      199;
set PE[ 35] :=      205      41      42      126      212      219      291      294      377      378      546
                719      720      804      884      970      971      972      1056      1139      1140      1146
                1224;
set PE[ 36] :=      211      218      237      348      249;
set PEJ 37] :=      217;
set PE[ 38] :=      223      24      60      170      171      172      173      174      179      180      182
                183      184      185      186      188      189      190      191      192      196      197      198
                201      202      203      204      206      207      208      209      210      213      214      215
                216      220      221      222      231      232      233      234      238      239      240      244
                245      246      250      251      252      312      318      330      396      593      594      600
                609      612      617      618      630      635      636      642      644      652      653      654
                660      665      666      672      750      929      930      953      954      987      990      1002
                1098      1122      1156      1158;
set PE[ 39] :=      229      177      225      242;
set PE[ 40] :=      235;
setPE[ 41] :=      241      176;
set PE[ 42] :=      247      236;
set PE[ 43] :=      253      107      108      120      171      190      226      232      245      268      272
                309      314      327      450      533      534      617      653      666      701      714      786
                842      867      935      951      959      964      996      1038      1104      1120      1128
                1133;
set PE[ 44] :=      259      848;
set PE[ 45] :=      265      24      60      94      318      330      396      434      435      518      854
                856      857      858      929      930      938      953      954      987      990      1002      1098
                1107      1122      1156      1158;
set PE[ 46] :=      271      21      22      89      90      172      216      233      234      246      254
                264      282      287      288      298      300      305      306      315      316      328      326
                426      509      510      591      593      654      676      677      749      756      761      762
                834      843      882      893      900      904      905      906      917      918      927      936
                960      965      966      977      984      1000      1014      1096      1181      1182;
set PE[ 47] :=      277      194      872;
set PE[ 48] :=      283      195      196      200      201      278      873      878;
set PE[ 49] :=      289      39      40      124      207      376      461      544      718      802      803
                968      1055      1137      1222;
set PE[ 50] :=      295      213      220      302      809      890      897      1143      1150      1175      1228
                1235;
setPE[ 51] :=      301;
set PE[ 52] :=      307      9      10      11      12      23      41      42      56      57      58
                59      95      96      125      126      140      142      143      144      144      224      225      257
                266      275      291      317      329      352      353      354      377      378      393      394
                395      436      437      438      462      476      477      478      479      480      519      520
                521      522      545      546      560      561      562      563      564      603      604      605
                606      645      646      647      648      687      688      689      690      719      720      728
                729      730      731      732      772      773      774      804      813      814      815      816
                928      939      940      941      942      952      959      970      971      972      986      988
                989      1001      1024      1025      1026      1056      1070      1071      1072      1073      1074      1097
                1108      1109      1110      1121      1134      1138      1139      1140      1146      1155      1157      1192
                1194      1224      1238      1239      1240      1241      1242;

```

```

set PE[ 53] := 313 5 6 30 35 36 46 47 53 54 63
64 65 72 76 77 78 83 84 149 150 162 173
174 178 179 180 191 192 197 198 202 203 208 209
210 214 215 221 222 227 228 230 231 238 239 240
243 244 250 251 252 255 256 258 261 262 263 267
269 270 273 274 276 279 280 281 284 285 286 290
292 293 294 296 297 303 304 308 310 311 312 320
321 322 323 324 326 332 333 334 335 339 340 341
342 347 348 366 371 372 383 390 399 400 401 408
412 413 414 485 486 498 516 552 568 569 570 581
582 592 594 598 599 600 616 618 623 624 628 629
630 634 635 636 640 641 642 650 651 652 659 660
663 664 665 670 671 672 725 735 737 747 750 754
820 822 832 839 844 845 846 850 851 852 855 868
869 870 874 875 876 879 880 881 885 886 887 888
891 892 894 898 899 902 903 909 910 911 912 915
916 921 922 923 924 1080 1145 1152 1160 1162 1164 1230
1247 1259;
set PE[ 54] := 319 908;
set PE[ 55] := 325 66 260 402 975 982 998 1007;
set PE[ 56] := 331 920;
set PE[ 57] := 337 87 88 89 90 101 131 132 138 144 148
149 160 161 162 172 173 174 184 185 186 216 233
234 246 254 255 256 257 258 264 282 287 288 298
300 305 306 315 316 317 318 328 329 330 336 344
345 346 347 348 351 352 353 354 356 357 358 359
360 363 364 365 366 368 369 370 371 372 374 375
376 377 378 380 381 382 383 384 386 387 388 389
390 392 393 394 395 396 398 399 400 401 402 404
405 406 407 408 410 411 412 413 414 416 417 418
419 420 423 425 426 431 432 455 468 485 496 497
498 506 508 509 510 514 515 516 540 551 552 558
568 579 580 581 591 592 593 594 612 654 675 676
677 678 749 756 760 761 762 834 843 844 845 846
856 857 858 861 862 863 864 882 893 900 904 905
906 917 918 926 927 928 929 930 936 960 965 966
977 984 1000 1001 1002 1012 1013 1014 1062 1080 1086 1095
1096 1097 1098 1134 1180 1181 1182;
set PE[ 58] := 343;
set PE[ 59] := 349 312;
set PE[ 60] := 355 5 6 10 14 30 35 36 39 41 46
47 53 54 57 63 72 76 83 84 102 150 339
340 444 486 527 528 564 569 570 690 694 696 731
737 779 780 816 822 941 942 945 946 972 988 989
990 1110 1113 1114 1140 1145 1152 1157 1158 1162 1200
1230;
set PE[ 61] := 361 539;
set PE[ 62] := 367 3 18 27 32 70 113 114 118 119 120
263 362 456 683 684 708 713 714 744 768 852 934
935 959 964 996 1102 1103 1104 1126 1127 1128 1131 1132
1133 1170;
set PE[ 63] := 373;
set PE[ 64] := 379;
set PE[ 65] := 385;
set PE[ 66] := 391 64 65 66 77 78 226 227 228 268 269
270 294 309 310 311 341 342 350 582 947 948 1115
1116 1163 1164;
set PE[ 67] := 397 4 11 15 29 34 40 42 45 48 52
58 62 71 75 82 338 738 810 821 1144 1151 1161
1176 1229 1236 1248;
set PE[ 68] := 403;
set PE[ 69] := 409 12 16 17 59 60 726 748 755 833 840
978 983 999 1008 1260;
set PE[ 70] := 415;
set PE[ 71] := 421;
set PE[ 72] := 427 452 453 454 456 464 470 471 488 500 512
573;
set PE[ 73] := 433;
set PE[ 74] := 439 434 476;
set PE[ 75] := 445 455;
set PE[ 76] := 451 116 422 423 424 425 426 428 429 430 431
432 435 436 437 438 440 441 442 443 444 446 447
448 449 450 459 460 461 462 465 466 467 468 472
473 474 477 478 479 480 482 483 484 485 486 489
490 491 492 494 495 496 497 498 501 502 503 504
1047;
set PE[ 77] := 457;
set PE[ 78] := 463;

```

```

set PE[ 79] := 469;
set PE[ 80] := 475;
set PE[ 81] := 481;
set PE[ 82] := 487;
set PE[ 83] := 493 458;
set PE[ 84] := 499;
set PE[ 85] := 505 86 105 276 422 447 530 582 1011 1036;
set PE[ 86] := 511 2 3 6 18 69 70 180 262 263 264
323 345 348 360 406 428 443 467 472 474 480 484
489 490 495 501 510 522 526 528 534 536 550 554
555 557 563 567 570 572 578 584 588 682 683 684
743 744 767 768 828 851 852 912 913 934 935 936
994 996 1100 1101 1102 1103 1104 1167 1170 1188;
set PE[ 87] := 517;
set PE[ 88] := 523 435 436 440 477 518 519 560;
set PE[ 89] := 529 87 101 131 132 138 144 148 149 160 161
162 258 423 431 432 446 468 485 496 497 498 506
514 515 516 540 551 552 558 568 579 580 581 1012
1062 1080 1086;
set PE[ 90] := 535 26 27 28 29 30 110 111 112 113 114
195 196 197 198 278 279 280 281 282 362 363 364
365 366 512 573 621 622 623 624 705 706 707 708
790 791 792 873 874 875 876 956 957 958 959 960
1041 1042 1043 1044 1124 1125 1126 1127 1128 1209 1210 1211
1212;
set PE[ 91] := 541;
set PE[ 92] := 547;
set PE[ 93] := 553;
set PE[ 94] := 559;
set PE[ 95] := 565 159 430 437 441 478 482 513 520 524 538
561;
set PE[ 96] := 571;
set PE[ 97] := 577 90 96 100 102 108 130 137 143 147 150
158 168 424 425 426 429 438 442 444 448 449 450
459 460 461 462 465 466 473 479 483 486 491 492
494 502 503 504 507 508 509 521 525 527 531 532
533 537 539 542 543 544 545 546 548 549 556 562
564 566 569 574 575 576 585 586 587 1031 1061 1068
1074 1078 1083;
set PE[ 98] := 583;
set PE[ 99] := 589 614;
set PE[100] := 595;
set PE[101] := 601 593 594 600 609 612 617 618 630 635 636
642 644 652 653 654 660 665 666 672 686 750 771;
set PE[102] := 607 591 592 598 603 616 623 628 634 640 641
650 659 663 670 671;
set PE[103] := 613;
set PE[104] := 619;
set PE[105] := 625;
set PE[106] := 631 212 219 596 605 606 610 638 639 646 647
656 657 658 668 669 807 826 837 1060 1146 1227;
set PE[107] := 637 611 632 633 648 742 753 1066 1233;
set PE[108] := 643 599 602 624 629 651 664;
set PE[109] := 649 590 597 604 608 615 622 627 645 662;
set PE[110] := 655;
set PE[111] := 661 620 621 626;
set PE[112] := 667 723;
set PE[113] := 673 698;
set PE[114] := 679 596 704 1018 1185 1252;
set PE[115] := 685 770 1023 1190 1191;
set PE[116] := 691 687 725 728 747 754 772 776 813 832 839
1259;
set PE[117] := 697;
set PE[118] := 703;
set PE[119] := 709;
set PE[120] := 715 122 209 210 292 686 723 742 750 753 771
800 801 886 887 1052 1053 1054 1066 1220 1221 1233;
set PE[121] := 721 51 52 53 54 84 135 136 137 138 154
155 156 165 166 167 168 218 219 220 221 222 249
252 293 302 303 304 305 306 324 334 335 336 388
389 390 419 420 473 474 492 503 504 556 557 558
575 576 586 587 588 638 640 641 642 658 669 671
678 681 695 696 702 707 712 716 732 736 738 741
752 888 896 897 898 899 900 923 924 980 981 982
983 984 995 1005 1006 1007 1008 1065 1067 1068 1090 1091
1092 1148 1149 1150 1151 1152 1168 1169 1173 1174 1175 1176
1232 1234 1235 1236 1251;
set PE[122] := 727 812;

```

```

setPE[123]:= 733 605 646 674 675 676 682 683 688 690 692
694 699 706 711 719 724 726 729 731 743 744 746
748 749 755 756 759 760 761 7 56 767 768 773 777
779 784 791 792 796 797 802 804 814 816 818 827
828 831 833 834 838 840 1020 1050 1085 1182 1187 1188
1194 1198 1200 1205 1212 1217 1218 1223 1241 1245 1254 1258
1260;
setPE[124]:= 739 656;
setPE[125]:= 745 606 610 611 647 648 677 680 684 689 693
700 701 705 708 710 713 714 718 720 730 734 735
737 762 765 774 778 780 785 786 798 803 815 819
820 821 822 830 1019 1032 1043 1044 1048 1049 1079 1084
1186 1199 1206 1210 1211 1215 1216 1242 1246 1247 1248 1253
1256
setPE[126]:= 751 237 248 491 502 574 585 639 657 668 717
722 748 825 826 836 837 1089 1172;
setPE[127]:= 757 782;
setPE[128]:= 763 788 794;
setPE[129]:= 769;
setPE[130]:= 775;
setPE[131]:= 781;
setPE[132]:= 787;
setPE[133]:= 793;
setPE[134]:= 799 293 716 717 826 837 888 1060 1227;
setPE[135]:= 805 48 129 299 300 384 467 550 611 632 648
759 760 761 762 765 766 767 768 770 771 772 773
774 776 777 778 779 780 784 785 786 791 792 796
797 798 800 802 803 804 812 813 814 815 816 818
819 820 821 822 825 827 828 830 831 832 833 834
836 838 839 840 894 976 978 1018 1019 1020 1032 1044
1049 1050 1054 1059 1079 1084 1085 1089 1182 1185 1186 1188
1191 1194 1198 1199 1200 1205 1206 1211 1212 1216 1217 1218
1221 1223 1226 1241 1242 1245 1246 1247 1248 1252 1253 1254
1257 1258 1259 1260;
setPE[136]:= 811;
setPE[137]:= 817 758 783;
setPE[138]:= 823 1250 1251;
setPE[139]:= 829 696;
set PE[ 140] := 835 84 154 155 156 165 166 167 168 249 252
324 334 335 336 419 420 492 503 504 575 576 586
587 588 633 658 669 671 678 681 790 795 801 806
807 808 809 810 824 923 924 995 1005 1006 1007 1008
1088 1090 1091 1092 1168 1169 1173 1174 1175 1176;
set PE[ 141] := 841 170 189 866 952 953 954 954 1121 1122;
setPE[142]:= 847;
setPE[143]:= 853 8 9 10 11 12 41 42 65 66 78
95 96 126 266 267 268 269 270 291 294 342 350
351 352 353 354 377 378 401 402 414 436 437 458
519 520 521 522 546 602 603 604 605 606 687 688
689 690 719 720 772 773 774 804 846 864 870 884
903 906 916 918 939 940 941 942 948 970 971 972
1024 1025 1026 1056 1108 1109 1110 1116 1139 1140 1146 1164
1192 1193 1194 1224;
setPE[144]:= 859 17 64 77 171 172 173 174 179 180
182 190 191 192 196 197 198 201 202 203 204 207
208 209 210 213 214 215 216 220 221 222 231 232
233 234 238 239 240 244 245 246 250 251 252 341
359 400 413 582 593 594 599 600 609 617 618 624
629 630 635 636 642 651 652 653 654 660 664 665
666 672 750 842 843 844 845 848 850 851 852 854
855 867 868 869 872 873 874 875 876 879 879 880
881 882 885 886 887 888 889 890 891 892 893 894
897 898 899 900 902 904 905 908 909 910 911 912
915 917 920 921 922 923 924 947 1115 1163;
setPE[145]:= 865 23 24 184 185 186 188 317 318 329 330
612 856 857 858 861 862 863 928 930 1001 1002 1097
1098 1134;
setPE[146]:= 871;
setPE[147]:= 877;
setPE[148]:= 883 125 206 462 545 969 1138;
set PE[ 149] := 889 896;
setPE[150]:= 895;
setPE[151]:= 901 183 257 275 849 860 914;
setPE[152]:= 907;
setPE[153]:= 913;
setPE[154]:= 919;
setPE[155]:= 925 102 106 114 119 191 227 269 273 294 310
338 339 424 444 449 456 507 527 528 532 539 564
590 615 616 618 674 683 684 690 694 696 699 700

```

702	708	713	726	731	744	748	755	758	759	768	779
780	783	784	785	798	816	833	840	852	868	934	940
941	949	945	950	971	972	978	983	988	999	1008	1037
1094	1103	1110	1114	1115	1116	1119	1127	1132	1157	1158	1170
1179	1200	1204	1206	1260;							
setPE[156] :=	931;										
setPE[157] :=	937	93	855	1106;							
setPE[158] :=	943	11	12	15	16	18	21	22	23	24	40
42	58	59	60	89	90	94	95	96	99	100	101
107	108	120	124	125	126	142	143	144	183	185	225
353	354	357	358	360	376	378	394	395	396	426	437
438	441	442	443	450	461	462	478	479	480	509	510
520	522	524	525	526	533	534	544	545	546	561	562
563	604	605	606	608	610	611	612	645	646	647	648
676	677	688	689	692	693	695	701	714	718	719	720
729	730	732	749	756	761	762	773	774	777	778	786
802	803	804	809	814	815	834	857	858	860	862	863
869	927	928	929	935	936	938	939	951	952	953	959
960	964	965	966	968	969	970	975	977	982	984	986
987	996	998	1000	1001	1002	1007	1014	1024	1025	1026	1028
1029	1030	1031	1032	1038	1055	1056	1075	1072	1073	1074	1096
1097	1098	1104	1107	1108	1112	1120	1121	1122	1128	1133	1134
1137	1138	1139	1143	1146	1150	1155	1156	1175	1181	1182	1192
1193	1194	1196	1197	1198	1199	1222	1223	1224	1228	1235	1239
1240	1241	1242;									
setPE[159] :=	949	20	88	173	255	425	508	592	594	675	678
760	844	926	1013	1095	1180;						
setPE[160] :=	955;										
setPE[161] :=	961	112	117	197	202	279	284	454	874	879	956
1101;											
setPE[162] :=	967	38	123	208	290	375	460	543	885	1136;	
setPE[163] :=	973	44	45	46	51	52	53	84	130	131	136
137	138	156	167	168	209	214	216	221	252	296	298
303	305	334	336	381	388	419	466	473	474	504	549
556	557	576	587	588	635	640	642	671	808	810	886
891	893	898	900	923	980	1005	1061	1062	1067	1068	1092
1142	1144	1145	1149	1151	1152	1169	1174	1176	1229	1230	1234
1236;											
setPE[164] :=	979	50	387;								
setPE[165] :=	985	17	141	267	308	359	1154;				
setPE[166] :=	991	238	320	909;							
setPE[167] :=	997	4	5	6	28	29	30	33	34	35	36
47	48	58	71	72	74	75	76	77	78	81	82
83	132	159	161	162	174	177	178	179	180	192	198
203	204	210	215	222	228	239	240	242	243	244	245
246	251	256	257	258	261	262	264	270	274	275	276
280	281	282	285	286	287	288	292	293	297	299	300
304	306	311	312	321	323	324	326	327	328	329	330
333	335	340	341	342	346	347	348	365	366	370	371
372	382	383	384	389	390	407	408	411	412	413	414
418	420	430	432	455	468	497	498	513	515	516	538
540	551	552	558	580	581	582	597	598	599	600	622
623	624	627	711	724	725	743	746	747	750	754	766
767	791	792	796	797	827	828	831	832	838	839	845
846	849	850	851	869	870	875	876	880	881	882	887
888	892	894	899	910	911	912	914	915	916	917	918
922	924	930	932	933	942	946	947	948	954	957	958
962	963	974	976	981	989	990	992	993	994	995	1004
1006	1020	1050	1085	1086	1187	1188	1212	1217	1218	1254	1258
1259;											
setPE[168] :=	1003	250	332	921;							
setPE[169] :=	1009	1034;									
setPE[170] :=	1015	1011	1012	1013	1014	1026	1030	1031	1036	1037	1038
1040	1041	1046	1047	1055	1061	1062	1067	1068	1073	1074	1078
1080	1082	1083	1086	1090	1091	1092;					
setPE[171] :=	1021;										
setPE[172] :=	1027	1070;									
setPE[173] :=	1033;										
setPE[174] :=	1039;										
setPE[175] :=	1045;										
setPE[176] :=	1051;										
setPE[177] :=	1057	1052;									
setPE[178] :=	1063	1088	1089;								
setPE[179] :=	1069;										
setPE[180] :=	1075	1024	1028	1071;							
setPE[181] :=	1081	1010	1025	1029	1035	1056	1072	1076;			
setPE[182] :=	1087	1016	1017	1018	1019	1020	1022	1023	1032	1042	1043
1044	1048	1049	1050	1053	1054	1058	1059	1060	1064	1065	1066
1079	1084	1085;									

```

setPE[183] := 1093 113 118 150 192 228 270 274 275 311 312
340 341 342 448 486 531 569 570 73~ 738 810 821
822 869 870 942 946 947 948 986 990 1010 1035 1102
1109 1113 1118 1126 1131 1140 1144 1145 1151 1152 1161 1162
1163 1164 1176 1178 1203 1229 1230 1236 1248;
setPE[184] := 1099 4 5 36 71 72 176 177 179 204 240
258 260 261 276 281 286 288 322 346 347 372 407
408 429 430 431 432 513 514 515 516 537 538 548
597 598 599 600 659 680 765 766 793 797 827 849
850 876 881 911 932 958 963 966 993 1017 1019 1020
1125 1130 1166 1184 1186 1187 1218 1253 1254;
setPE[185] := 1105 92;
setPE[186] := 1111 98 735 820 930 954 1160 1247;
setPE[187] := 1117 174 256 257 845 846;
setPE[188] := 1123 620;
setPE[189] := 1129 6 28 30 33 34 35 111 180 198 203
262 264 280 282 285 287 322 348 364 365 366 369
370 371 453 455 621 622 623 624 626 627 628 629
630 682 705 706 710 711 743 767 791 796 828 851
876 880 882 912 933 936 957 960 962 965 994 1043
1044 1048 1049 1050 1100 1124 1167 1188 1210 1211 1212 1215
1216 1217;
setPE[190] := 1135 458 459 542;
setPE[191] := 1141 47 54 128 132 135 155 166 210 215 222
292 293 297 304 306 324 335 382 383 389 390 420
465 468 491 492 502 503 548 551 552 558 574 575
585 586 634 636 641 887 888 892 899 924 974 975
976 977 981 983 984 995 1006 1007 1008 1091 1148 1168
1172 1173;
setPE[192] := 1147 300;
setPE[193] := 1153;
setPE[194] := 1159 12 16 17 18 22 23 24 59 60 66
88 89 93 94 95 96 99 100 102 106 107
108 112 114 117 119 120 123 124 125 126 130 136
137 141 142 143 146 147 156 167 168 186 234 316
317 318 354 358 359 360 395 396 402 424 425 426
438 442 443 444 449 450 454 456 460 461 462 466
473 474 479 480 483 484 504 507 508 509 510 521
522 525 526 527 528 532 533 534 539 543 544 545
546 549 556 557 562 563 564 566 567 576 587 588
606 610 611 647 648 677 678 684 689 693 695 696
700 701 702 708 713 714 718 720 730 732 734 736
762 774 778 780 785 786 798 803 808 809 815 819
858 863 864 905 906 1013 1014 1025 1026 1029 1030 1031
1032 1037 1038 1055 1056 1061 1067 1068 1072 1073 1074 1076
1077 1078 1079 1092 1094 1095 1096 1097 1098 1101 1103 1104
1106 1107 1108 1110 1112 1114 1115 1116 1119 1120 1121 1122
1127 1128 1132 1133 1134 1136 1137 1138 1139 1142 1143 1146
1149 1150 1154 1155 1156 1157 1158 1169 1170 1174 1175 1179
1180 1181 1193 1197 1199 1204 1206 1222 1224 1228 1234 1235
1240 1242 1244 1246;
setPE[195] := 1165 68 239 321 405 660 910 992;
set PE[ 196] := 1171 48 80 81 82 153 164 251 299 333 384
417 418 670 672 724 725 726 754 755 756 838 839
840 894 922 976 978 1004;
setPE[197] := 1177 1202;
setPE[198] := 1183 681 707 712 764 789 790 1016 1042 1208 1209
1214;
setPE[199] := 1189 1022;
set PE[ 200] := 1195 1238;
setPE[201] := 1201;
set PE[ 202] := 1207;
setPE[203] := 1213;
set PE[ 204] := 1219 807;
set PE[ 205] := 1225 633 801 806 1023 1043 1048 1053 1058 1065 1066
1190 1210 1215 1220 1232 1233 1251 1256;
setPE[206] := 1231 48 129 134 249 384 467 471 472 550 555
639 717 722 723 724 725 726 894 976 978 1018 1019
1020 1032 1044 1050 1054 1059 1060 1064 1079 1084 1085 1182
1185 1186 1187 1188 1191 1198 1199 1200 1205 1206 1211 1212
1216 1217 1218 1221 1223 1226 1227 1241 1242 1245 1246 1247
1248 1250 1252 1253 1254 1257 1258 1259 1260;
setPE[207] := 1237;
set PE[ 208] := 1243 1192 1196 1239;
setPE[209] := 1249 152 153 154 155 156 236 237 324 490 491
492 574 575 576 657 658 740 741 742 824 825 826
995 1168 1169;

```

```

setPE[210]:=      1255      678      695      702      732      736      738      808      809      810      1017
                 1178      1179      1180      1181      1193      1197      1203      1204      1222      1224      1228
                 1229      1230      1234      1235      1236      1240      1244;

```

param demand :=

```

[N1.N2] 255000 [N1.N3] 255000 [N1.N4] 255000 [N1.N5] 255000 [N1.N6] 255000 [N1.N7] 255000 [N1.N8] 255000 [N1.N9] 255000 [N1.N10]
255000 [N1.N11] 255000 [N1.N12] 255000 [N1.N13] 255000 [N1.N14] 255000 [N1.N15] 255000 [N2.N1] 255000 [N2.N3] 255000 [N2.N4]
255000 [N2.N5] 255000 [N2.N6] 255000 [N2.N7] 255000 [N2.N8] 255000 [N2.N9] 255000 [N2.N10] 255000 [N2.N11] 255000 [N2.N12]
255000 [N2.N13] 255000 [N2.N14] 255000 [N2.N15] 255000 [N3.N1] 255000 [N3.N2] 255000 [N3.N4] 255000 [N3.N5] 255000 [N3.N6]
255000 [N3.N7] 255000 [N3.N8] 255000 [N3.N9] 255000 [N3.N10] 255000 [N3.N11] 255000 [N3.N12] 255000 [N3.N13] 255000 [N3.N14]
255000 [N3.N15] 255000 [N4.N1] 255000 [N4.N2] 255000 [N4.N3] 255000 [N4.N5] 255000 [N4.N6] 255000 [N4.N7] 255000 [N4.N8] 255000
[N4.N9] 255000 [N4.N10] 255000 [N4.N11] 255000 [N4.N12] 255000 [N4.N13] 255000 [N4.N14] 255000 [N4.N15] 255000 [N5.N1] 255000
[N5.N2] 255000 [N5.N3] 255000 [N5.N4] 255000 [N5.N6] 255000 [N5.N7] 255000 [N5.N8] 255000 [N5.N9] 255000 [N5.N10] 255000 [N5.N11]
255000 [N5.N12] 255000 [N5.N13] 255000 [N5.N14] 255000 [N5.N15] 255000 [N6.N1] 255000 [N6.N2] 255000 [N6.N3] 255000 [N6.N4]
255000 [N6.N5] 255000 [N6.N7] 255000 [N6.N8] 255000 [N6.N9] 255000 [N6.N10] 255000 [N6.N11] 255000 [N6.N12] 255000 [N6.N13]
255000 [N6.N14] 255000 [N6.N15] 255000 [N7.N1] 255000 [N7.N2] 255000 [N7.N3] 255000 [N7.N4] 255000 [N7.N5] 255000 [N7.N6] 255000
[N7.N8] 255000 [N7.N9] 255000 [N7.N10] 255000 [N7.N11] 255000 [N7.N12] 255000 [N7.N13] 255000 [N7.N14] 255000 [N7.N15] 255000
[N8.N1] 255000 [N8.N2] 255000 [N8.N3] 255000 [N8.N4] 255000 [N8.N5] 255000 [N8.N6] 255000 [N8.N7] 255000 [N8.N9] 255000 [N8.N10]
255000 [N8.N11] 255000 [N8.N12] 255000 [N8.N13] 255000 [N8.N14] 255000 [N8.N15] 255000 [N9.N1] 255000 [N9.N2] 255000 [N9.N3]
255000 [N9.N4] 255000 [N9.N5] 255000 [N9.N6] 255000 [N9.N7] 255000 [N9.N8] 255000 [N9.N10] 255000 [N9.N11] 255000 [N9.N12]
255000 [N9.N13] 255000 [N9.N14] 255000 [N9.N15] 255000 [N10.N1] 255000 [N10.N2] 255000 [N10.N3] 255000 [N10.N4] 255000 [N10.N5]
255000 [N10.N6] 255000 [N10.N7] 255000 [N10.N8] 255000 [N10.N9] 255000 [N10.N11] 255000 [N10.N12] 255000 [N10.N13] 255000
[N10.N14] 255000 [N10.N15] 255000 [N11.N1] 255000 [N11.N2] 255000 [N11.N3] 255000 [N11.N4] 255000 [N11.N5] 255000 [N11.N6]
255000 [N11.N7] 255000 [N11.N8] 255000 [N11.N9] 255000 [N11.N10] 255000 [N11.N12] 255000 [N11.N13] 255000 [N11.N14] 255000
[N11.N15] 255000 [N12.N1] 255000 [N12.N2] 255000 [N12.N3] 255000 [N12.N4] 255000 [N12.N5] 255000 [N12.N6] 255000 [N12.N7] 255000
[N12.N8] 255000 [N12.N9] 255000 [N12.N10] 255000 [N12.N11] 255000 [N12.N13] 255000 [N12.N14] 255000 [N12.N15] 255000 [N13.N1]
255000 [N13.N2] 255000 [N13.N3] 255000 [N13.N4] 255000 [N13.N5] 255000 [N13.N6] 255000 [N13.N7] 255000 [N13.N8] 255000 [N13.N9]
255000 [N13.N10] 255000 [N13.N11] 255000 [N13.N12] 255000 [N13.N14] 255000 [N13.N15] 255000 [N14.N1] 255000 [N14.N2] 255000
[N14.N3] 255000 [N14.N4] 255000 [N14.N5] 255000 [N14.N6] 255000 [N14.N7] 255000 [N14.N8] 255000 [N14.N9] 255000 [N14.N10] 255000
[N14.N11] 255000 [N14.N12] 255000 [N14.N13] 255000 [N14.N15] 255000 [N15.N1] 255000 [N15.N2] 255000 [N15.N3] 255000 [N15.N4]
255000 [N15.N5] 255000 [N15.N6] 255000 [N15.N7] 255000 [N15.N8] 255000 [N15.N9] 255000 [N15.N10] 255000 [N15.N11] 255000
[N15.N12] 255000 [N15.N13] 255000 [N15.N14] 255000;

```

Anexo B

setN := N1 N2 N3 N4 N5 N6 N7 N8 N9 N10 N11 N12 N13 N14 N15;

setL := 1 2 34 5 67 89 10 11 12 13 14 15 16 17 18 19 20 21 22 23 24 25 26 27 28 29 30 31 32 33 34 35 36 37 38 39 40 41 42 43 44 45 46
47 48 49 50 51 52 53 54 55 56 57 58 59 60 61 62 63 64 65 66 67 68 69 70 71 72 73 74 75 76 77 78 79 80 81 82 83 84 85 86 87 88 89 90 91
92 93 94 95 96 97 98 99 100 101 102 103 104 105;

setE := 1 2 34 5 6 7 8 9 10 11 12 13 14 15 16 17 18 19 20 21 22 23 24 25 26 27 28 29 30 31 32 33 34 35 36 37 38 39 40 41 42 43 44 45 46
47 48 49 50 51 52 53 54 55 56 57 58 59 60 61 62 63 64 65 66 67 68 69 70 71 72 73 74 75 76 77 78 79 80 81 82 83 84 85 86 87 88 89 90 91
126 127 128 129 130 131 132 133 134 135 136 137 138 139 140 141 142 143 144 145 146 147 148 149 150 151 152 153 154 155 156 157
158 159 160 161 162 163 164 165 166 167 168 169 170 171 172 173 174 175 176 177 178 179 180 181 182 183 184 185 186 187 188 189
190 191 192 193 194 195 196 197 198 199 200 201 202 203 204 205 206 207 208 209 210;

setD := (N1.N2) (N1.N3) (N1.N4) (N1.N5) (N1.N6) (N1.N7) (N1.N8) (N1.N9) (N1.N10) (N1.N11) (N1.N12) (N1.N13) (N1.N14) (N1.N15)
(N2.N1) (N2.N3) (N2.N4) (N2.N5) (N2.N6) (N2.N7) (N2.N8) (N2.N9) (N2.N10) (N2.N11) (N2.N12) (N2.N13) (N2.N14) (N2.N15) (N3.N1)
(N3.N2) (N3.N4) (N3.N5) (N3.N6) (N3.N7) (N3.N8) (N3.N9) (N3.N10) (N3.N11) (N3.N12) (N3.N13) (N3.N14) (N3.N15) (N4.N1) (N4.N2)
(N4.N3) (N4.N4) (N4.N5) (N4.N6) (N4.N7) (N4.N8) (N4.N9) (N4.N10) (N4.N11) (N4.N12) (N4.N13) (N4.N14) (N4.N15) (N5.N1) (N5.N2) (N5.N3)
(N5.N4) (N5.N5) (N5.N6) (N5.N7) (N5.N8) (N5.N9) (N5.N10) (N5.N11) (N5.N12) (N5.N13) (N5.N14) (N5.N15) (N6.N1) (N6.N2) (N6.N3) (N6.N4)
(N6.N5) (N6.N6) (N6.N7) (N6.N8) (N6.N9) (N6.N10) (N6.N11) (N6.N12) (N6.N13) (N6.N14) (N6.N15) (N7.N1) (N7.N2) (N7.N3) (N7.N4) (N7.N5)
(N7.N6) (N7.N7) (N7.N8) (N7.N9) (N7.N10) (N7.N11) (N7.N12) (N7.N13) (N7.N14) (N7.N15) (N8.N1) (N8.N2) (N8.N3) (N8.N4) (N8.N5) (N8.N6)
(N8.N7) (N8.N8) (N8.N9) (N8.N10) (N8.N11) (N8.N12) (N8.N13) (N8.N14) (N8.N15) (N9.N1) (N9.N2) (N9.N3) (N9.N4) (N9.N5) (N9.N6) (N9.N7)
(N9.N8) (N9.N9) (N9.N10) (N9.N11) (N9.N12) (N9.N13) (N9.N14) (N9.N15) (N10.N1) (N10.N2) (N10.N3) (N10.N4) (N10.N5) (N10.N6) (N10.N7)
(N10.N8) (N10.N9) (N10.N10) (N10.N11) (N10.N12) (N10.N13) (N10.N14) (N10.N15) (N11.N1) (N11.N2) (N11.N3) (N11.N4) (N11.N5) (N11.N6)
(N11.N7) (N11.N8) (N11.N9) (N11.N10) (N11.N11) (N11.N12) (N11.N13) (N11.N14) (N11.N15) (N12.N1) (N12.N2) (N12.N3) (N12.N4) (N12.N5)
(N12.N6) (N12.N7) (N12.N8) (N12.N9) (N12.N10) (N12.N11) (N12.N12) (N12.N13) (N12.N14) (N12.N15) (N13.N1) (N13.N2) (N13.N3) (N13.N4)
(N13.N5) (N13.N6) (N13.N7) (N13.N8) (N13.N9) (N13.N10) (N13.N11) (N13.N12) (N13.N13) (N13.N14) (N13.N15) (N14.N1) (N14.N2) (N14.N3)
(N14.N4) (N14.N5) (N14.N6) (N14.N7) (N14.N8) (N14.N9) (N14.N10) (N14.N11) (N14.N12) (N14.N13) (N14.N14) (N14.N15) (N15.N1) (N15.N2)
(N15.N3) (N15.N4) (N15.N5) (N15.N6) (N15.N7) (N15.N8) (N15.N9) (N15.N10) (N15.N11) (N15.N12) (N15.N13) (N15.N14);

setP := 1 2 34 5 6 7 8 9 10 11 12 13 14 15 16 17 18 19 20 21 22 23 24 25 26 27 28 29 30 31 32 33 34 35 36 37 38 39 40 41 42 43 44 45 46
47 48 49 50 51 52 53 54 55 56 57 58 59 60 61 62 63 64 65 66 67 68 69 70 71 72 73 74 75 76 77 78 79 80 81 82 83 84 85 86 87 88 89 90 91
92 93 94 95 96 97 98 99 100 101 102 103 104 105 106 107 108 109 110 111 112 113 114 115 116 117 118 119 120 121 122 123 124 125
126 127 128 129 130 131 132 133 134 135 136 137 138 139 140 141 142 143 144 145 146 147 148 149 150 151 152 153 154 155 156 157
158 159 160 161 162 163 164 165 166 167 168 169 170 171 172 173 174 175 176 177 178 179 180 181 182 183 184 185 186 187 188 189
190 191 192 193 194 195 196 197 198 199 200 201 202 203 204 205 206 207 208 209 210 211 212 213 214 215 216 217 218 219 220 221
222 223 224 225 226 227 228 229 230 231 232 233 234 235 236 237 238 239 240 241 242 243 244 245 246 247 248 249 250 251 252 253
254 255 256 257 258 259 260 261 262 263 264 265 266 267 268 269 270 271 272 273 274 275 276 277 278 279 280 281 282 283 284 285
286 287 288 289 290 291 292 293 294 295 296 297 298 299 300 301 302 303 304 305 306 307 308 309 310 311 312 313 314 315 316 317
318 319 320 321 322 323 324 325 326 327 328 329 330 331 332 333 334 335 336 337 338 339 340 341 342 343 344 345 346 347 348 349
350 351 352 353 354 355 356 357 358 359 360 361 362 363 364 365 366 367 368 369 370 371 372 373 374 375 376 377 378 379 380 381
382 383 384 385 386 387 388 389 390 391 392 393 394 395 396 397 398 399 400 401 402 403 404 405 406 407 408 409 410 411 412 413
414 415 416 417 418 419 420 421 422 423 424 425 426 427 428 429 430 431 432 433 434 435 436 437 438 439 440 441 442 443 444 445
446 447 448 449 450 451 452 453 454 455 456 457 458 459 460 461 462 463 464 465 466 467 468 469 470 471 472 473 474 475 476 477
478 479 480 481 482 483 484 485 486 487 488 489 490 491 492 493 494 495 496 497 498 499 500 501 502 503 504 505 506 507 508 509
510 511 512 513 514 515 516 517 518 519 520 521 522 523 524 525 526 527 528 529 530 531 532 533 534 535 536 537 538;

setPD[N1,N2] := 1 2 3;
set PD[N1,N4] := 5;
setPD[N1,N6] := 7 8 9;
setPD[N1,N8] := 13 14 15;
setPD[N1,N10] := 19 20 21;
set PD[N1,N12] := 23 24 25;
set PD[N1,N14] := 29 30 31;
set PD[N2,N1] := 35 36 37;
set PD[N2,N4] := 41 42 43;
set PD[N2,N6] := 47;
set PD[N2,N8] := 49 50 51;
setPD[N2,N10] := 55 56 57;
set PD[N2,N12] := 61 62 63;
set PD[N2,N14] := 65 66 67;
setPD[N3,N1] := 71;
set PD[N3,N4] := 75;
set PD[N3,N6] := 77 78 79;
set PD[N3,N8] := 83 84 85;
setPD[N3,N10] := 89 90 91;
set PD[N3,N12] := 93 94 95;
set PD[N3,N14] := 99 100 101;
set PD[N4,N1] := 105;
setPD[N4,N3] := 109;
setPD[N4,N6] := 111 112 113;
setPD[N4,N8] := 117 118 119;
setPD[N4,N10] := 123 124 125;

set PD[N1,N3] := 4;
set PD[N1,N5] := 6;
setPD[N1,N7] := 10 11 12;
set PD[N1,N9] := 16 17 18;
set PD[N1,N11] := 22;
set PD[N1,N13] := 26 27 28;
set PD[N1,N15] := 32 33 34;
set PD[N2,N3] := 38 39 40;
set PD[N2,N5] := 44 45 46;
set PD[N2,N7] := 48;
set PD[N2,N9] := 52 53 54;
set PD[N2,N11] := 58 59 60;
set PD[N2,N13] := 64;
set PD[N2,N15] := 68 69 70;
setPD[N3,N2] := 72 73 74;
set PD[N3,N5] := 76;
set PD[N3,N7] := 80 81 82;
set PD[N3,N9] := 86 87 88;
set PD[N3,N11] := 92;
set PD[N3,N13] := 96 97 98;
set PD[N3,N15] := 102 103 104;
set PD[N4,N2] := 106 107 108;
setPD[N4,N5] := 110;
set PD[N4,N7] := 114 115 116;
set PD[N4,N9] := 120 121 122;
set PD[N4,N11] := 126;

```

setPD[N4,N12]:= 127 128 129;
setPD[N4,N14J] := 133 134 135;
setPD[N5,N1] := 139;
setPD[N5,N3J] := 143;
set PD[N5,N6] := 145 146 147;
set PD[N5,N8] := 151 152 153;
setPD[N5,N10] := 157 158 159;
setPD[N5,N12] := 161 162 163;
setPD[N5,N14] := 167 168 169;
set PD[N6,N1J] := 173 174 175;
set PD[N6,N3] := 177 178 179;
setPD[N6,N5] := 183 184 185;
set PD[N6,N8] := 187 188 189;
setPD[N6,N10] := 193 194 195;
setPD[N6,N12]:= 199 200 201;
set PD[N6,N14] := 203 204 205;
setPD[N7,N1] := 209 210 211;
set PD[N7,N3] := 213 214 215;
setPD[N7,N5] := 219 220 221;
set PD[N7,N8] := 223 224 225;
setPD[N7,N10] := 229 230 231;
setPD[N7,N12] := 235 236 237;
setPD[N7,N14] := 239 240 241;
setPD[N8,N1] := 245 246 247;
set PD[N8,N3] := 251 252 253;
setPD[N8,N5] := 257 258 259;
set PD[N8,N7] := 263 264 265;
setPD[N8,N10] := 267;
setPD[N8,N12] := 271 272 273;
set PD[N8,N14] := 277 278 279;
setPD[N9,N1] := 281 282 283;
set PD[N9,N3] := 287 288 289;
set PD[N9,N5] := 293 294 295;
setPD[N9,N7]:= 299 300 301;
setPD[N9,N10] := 303;
setPD[N9,N12] := 307 308 309;
setPD[N9,N14] := 313 314 315;
setPD[N10,N1] := 317 318 319;
setPD[N10,N3] := 323 324 325;
setPD[N10,N5] := 329 330 331;
setPD[N10,N7] := 335 336 337;
setPD[N10,N9] := 339;
setPD[N10,N12] := 343 344 345;
setPD[N10,N14] := 349 350 351;
set PD[N11,N1] := 353;
setPD[N11,N3] := 357;
setPD[N11,N5] := 359;
setPD[N11,N7] := 363 364 365;
set PD[N11,N9] := 369 370 371;
set PD[N11,N12] := 375 376 377;
setPD[N11,N14] := 381 382 383;
setPD[N12,N1] := 387 388 389;
setPD[N12,N3] := 393 394 395;
setPD[N12,N5] := 399 400 401;
setPD[N12,N7] := 405 406 407;
setPD[N12,N9] := 411 412413;
set PD[N12,N11] := 417 418 419;
setPD[N12,N14] :=423;
setPD[N13,N1] := 427 428 429;
setPD[N13,N3] := 431 432 433;
setPD[N13,N5] := 437 438 439;
setPD[N13,N7] := 441;
setPD[N13,N9] := 445 446 447;
setPD[N13,N11] := 451 452 453;
setPD[N13,N14] := 457 458 459;
setPD[N14,N1] := 463 464 465;
set PD[N14,N3] := 469 470 471;
setPD[N14,N5] := 475 476 477;
setPD[N14,N7] := 481 482 483;
setPD[N14,N9] := 487 488 489;
setPD[N14,N11] := 493 494 495;
setPD[N14,N13] := 497 498 499;
setPD[N15,N1] := 503 504 505;
setPD[N15,N3] := 509510511;
setPD[N15,N5] := 515 516 517;
setPD[N15,N7] := 521 522 523;
setPD[N15,N9] := 525;
set PD[N15,N11] := 527 528 529;
setPD[N15,N13] := 533 534 535;

```

```

setPD[N4,N13] := 130 131 132;
setPD[N4,N15] := 136 137 138;
set PD[N5,N2] := 140 141 142;
set PD[N5,N4] := 144;
set PD[N5,N7] := 148 149 150;
set PD[N5,N9J] := 154 155 156;
set PD[N5,N11] := 160;
setPD[N5,N13] := 164 165 166;
setPD[N5,N15J] := 170 171 172;
set PD[N6,N2] := 176;
set PD[N6,N4] := 180 181 182;
set PD[N6,N7] := 186;
setPD[N6,N9] := 190 191 192;
setPD[N6,N11] := 196 197 198;
setPD[N6,N13] := 202;
setPD[N6,N15] := 206 207 208;
set PD[N7,N2] := 212;
setPD[N7,N4] := 216217218;
set PD[N7,N6] := 222;
setPD[N7,N9] := 226 227 228;
setPD[N7,N11] := 232 233 234;
setPD[N7,N13] := 238;
setPD[N7,N15] := 242 243 244;
setPD[N8,N2] := 248 249 250;
setPD[N8,N4] := 254 255 256;
set PD[N8,N6] := 260 261 262;
setPD[N8,N9] := 266;
setPD[N8,N11] := 268 269 270;
setPD[N8,N13] := 274 275 276;
setPD[N8,N15] := 280;
set PD[N9,N2] := 284 285 286;
setPD[N9,N4] := 290 291 292;
set PD[N9,N6] := 296 297 298;
set PD[N9,N8] := 302;
set PD[N9,N11] := 304 305 306;
setPD[N9,N13] := 310 311 312;
setPD[N9,N15] := 316;
setPD[N10,N2] := 320 321 322;
setPD[N10,N4] := 326 327 328;
setPD[N10,N6] := 332 333 334;
setPD[N10,N8J] := 338;
setPD[N10,N11] := 340 341 342;
setPD[N10,N13] := 346 347 348;
setPD[N10,N15] := 352;
setPD[N11,N2] := 354 355 356;
set PD[N11,N4] := 358;
setPD[N11,N6] := 360 361 362;
setPD[N11,N8] := 366 367 368;
set PD[N11,N10] := 372 373 374;
set PD[N11,N13] := 378 379 380;
setPD[N11,N15] := 384 385 386;
setPD[N12,N2] := 390 391 392;
setPD[N12,N4] := 396 397 398;
setPD[N12,N6] := 402 403 404;
setPD[N12,N8] := 408 409 410;
setPD[N12,N10] := 414415416;
setPD[N12,N13] := 420 421 422;
setPD[N12,N15] := 424 425 426;
setPD[N13,N2] := 430;
setPD[N13,N4] := 434 435 436;
setPD[N13,N6] := 440;
setPD[N13,N8] := 442 443 444;
setPD[N13,N10] := 448 449 450;
setPD[N13,N12] := 454 455 456;
setPD[N13,N15] := 460 461 462;
setPD[N14,N2] := 466 467 468;
set PD[N14,N4] := 472 473 474;
setPD[N14,N6] := 478 479 480;
setPD[N14,N8] := 484 485 486;
setPD[N14,N10] := 490 491 492;
setPD[N14,N12] := 496;
setPD[N14,N15] := 500 501 502;
setPD[N15,N2] := 506 507 508;
setPD[N15,N4] := 512 513 514;
setPD[N15,N6] := 518 519 520;
setPD[N15,N8] := 524;
setPD[N15,N10] := 526;
setPD[N15,N12] := 530 531 532;
setPD[N15,N14] := 536 537 538;

```

```

set PE[ 1] := ;
set PE[ 2] := ;
set PE[ 3] := 1 2 3 4 5 6 7 8 9 10 11
12 13 14 15 16 17 18 19 20 21 22 23
24 25 26 27 28 29 30 31 32 33 34;
set PE[ 4] := ;
set PE[ 5] := ;
set PE[ 6] := ;
set PE[ 7] := ;
set PE[ 8] := ;
set PE[ 9] := ;
set PE[10] := ;
set PE[11] := ;
set PE[12] := ;
set PE[13] := ;

set PE[14] := ;
set PE[15] := ;
set PE[16] := ;
set PE[17] := 35 38 41 44 49 52 55 58 62 63 66
67 68 173 177 180 183 187 190 193 196 200 201
204 205 206 209 213 216 219 223 226 229 232 236
237 240 241 242 247 253 256 259 270 283 289 292
295 306 319 325 328 331 342 388 394 400 410 413
416 418 426 427 431 434 437 442 448 451 455 456
458 459 460 464 470 473 476 486 489 492 494 502
505 511 514 517 529;
set PE[18] := ;
set PE[19] := 7 8 9 47 77 78 79 111 112 113 145
146 147 222 260 261 262 296 297 298 333 334 335
360 361 362 402 403 404 440 478 479 480 518 519
520;
set PE[20] := 10 11 12 48 80 81 82 114 115 116 148
149 150 186 263 264 265 299 300 301 335 336 337
363 364 365 405 406 407 441 481 482 483 521 522
523;
set PE[21] := ;
set PE[22] := ;
set PE[23] := ;
set PE[24] := ;
set PE[25] := ;
set PE[26] := 26 27 28 64 96 97 98 130 131 132 164
165 166 202 238 274 275 276 310 311 312 346 347
348 378 379 380 420 421 422 497 498 499 533 534
535;
set PE[27] := 15 18 21 24 30 37 39 40 42 43 45
46 50 51 53 54 56 57 59 60 61 65 69
70 85 88 91 94 100 104 119 122 125 128 134
138 153 156 159 162 168 172 174 175 178 179 181
182 184 185 188 189 191 192 194 195 197 198 199
203 207 208 210 211 214 215 217 218 220 221 224
225 227 228 230 231 233 234 235 239 243 244 273
279 315 351 368 371 374 376 382 386 428 429 432
433 435 436 438 439 443 444 446 447 449 450 452
453 454 457 461 462 532 538;
set PE[28] := ;
set PE[29] := ;
set PE[30] := ;
set PE[31] := 71 72 73 74 75 76 77 78 79 80 81
82 83 84 85 86 87 88 89 90 91 92 93
94 95 96 97 98 99 100 101 102 103 104;
set PE[32] := ;
set PE[33] := ;
set PE[34] := ;
set PE[35] := ;
set PE[36] := ;
set PE[37] := ;
set PE[38] := ;
set PE[39] := ;
set PE[40] := ;
set PE[41] := ;
set PE[42] := ;
set PE[43] := 35 36 37 71 105 139 173 174 175 209 210
211 245 246 247 281 282 283 317 318 319 353 387
388 389 427 428 429 463 464 465 503 504 505;
set PE[44] := 1 7 10 15 18 21 24 26 30 34 72
77 80 85 88 91 94 96 100 104 106 111 114
119 122 125 128 130 134 138 140 145 148 153 156

```

	159	162	164	168	172	248	260	263	273	274	279	284
	296	299	309	310	315	320	332	335	345	346	351	354
	360	363	371	374	376	378	382	386	391	392	403	404
	406	407	421	467	468	479	480	482	483	498	499	506
	518	521	532	533	538;							
set PE[45] :=	4	38	39	40	109	143	177	178	179	213	214	
	215	251	252	253	287	288	289	323	324	325	357	393
	394	395	431	432	433	469	470	471	509	510	511;	
set PE[46] :=	6	44	45	46	76	110	183	184	185	219	220	
	221	257	258	259	293	294	295	329	330	331	359	399
	400	401	437	438	439	475	476	477	515	516	517;	
set PE[47] :=	:	:	:	:	:	:	:	:	:	:	:	:
set PE[48] :=	:	:	:	:	:	:	:	:	:	:	:	:
set PE[49] :=	:	:	:	:	:	:	:	:	:	:	:	:
set PE[50] :=	3	9	12	13	16	25	28	31	32	49	51	
	52	54	55	57	63	67	68	70	74	79	82	83
	86	89	95	98	101	102	108	113	116	117	120	123
	129	132	135	136	142	147	150	151	154	157	163	166
	169	170	187	190	192	193	195	201	205	206	208	223
	226	228	229	231	237	241	242	356	362	365	366	369
	372	377	380	382	383	409	410	412	413	415	416	425
	426	442	444	445	447	448	450	456	459	460	462	485
	486	488	489	491	492	501	502;					
set PE[51] :=	:	:	:	:	:	:	:	:	:	:	:	:
set PE[52] :=	22	58	59	60	92	126	160	196	197	198	232	
	233	234	268	269	270	304	305	306	340	341	342	417
	418	419	451	452	453	493	494	495	527	528	529;	
set PE[53] :=	:	:	:	:	:	:	:	:	:	:	:	:
set PE[54] :=	:	:	:	:	:	:	:	:	:	:	:	:
set PE[55] :=	2	8	11	14	17	20	23	27	29	33	62	
	66	73	78	81	84	87	90	93	97	99	103	107
	115	118	121	124	127	131	133	137	141	146	149	152
	155	158	161	165	167	171	200	204	236	240	262	265
	272	276	278	286	298	301	308	312	314	322	334	337
	344	348	350	355	361	364	367	370	373	375	379	381
	385	508	520	523	531	535	537,					
set PE[56] :=	:	:	:	:	:	:	:	:	:	:	:	:
set PE[57] :=	:	:	:	:	:	:	:	:	:	:	:	:
set PE[58] :=	:	:	:	:	:	:	:	:	:	:	:	:
set PE[59] :=	:	:	:	:	:	:	:	:	:	:	:	:
set PE[60] :=	139	140	141	142	143	144	145	146	147	148	149	
	150	151	152	153	154	155	156	157	158	159	160	161
	162	163	164	165	166	167	168	169	170	171	172;	
set PE[61] :=	:	:	:	:	:	:	:	:	:	:	:	:
set PE[62] :=	:	:	:	:	:	:	:	:	:	:	:	:
set PE[63] :=	:	:	:	:	:	:	:	:	:	:	:	:
set PE[64] :=	:	:	:	:	:	:	:	:	:	:	:	:
set PE[65] :=	:	:	:	:	:	:	:	:	:	:	:	:
set PE[66] :=	:	:	:	:	:	:	:	:	:	:	:	:
set PE[67] :=	:	:	:	:	:	:	:	:	:	:	:	:
set PE[68] :=	:	:	:	:	:	:	:	:	:	:	:	:
set PE[69] :=	:	:	:	:	:	:	:	:	:	:	:	:
set PE[70] :=	:	:	:	:	:	:	:	:	:	:	:	:
set PE[71] :=	:	:	:	:	:	:	:	:	:	:	:	:
set PE[72] :=	173	174	175	176	177	178	179	180	181	182	183	
	184	185	186	187	188	189	190	191	192	193	194	195
	196	197	198	199	200	201	202	203	204	205	206	207
	208;											
set PE[73] :=	:	:	:	:	:	:	:	:	:	:	:	:
set PE[74] :=	:	:	:	:	:	:	:	:	:	:	:	:
set PE[75] :=	:	:	:	:	:	:	:	:	:	:	:	:
set PE[76] :=	:	:	:	:	:	:	:	:	:	:	:	:
set PE[77] :=	:	:	:	:	:	:	:	:	:	:	:	:
set PE[78] :=	:	:	:	:	:	:	:	:	:	:	:	:
set PE[79] :=	:	:	:	:	:	:	:	:	:	:	:	:
set PE[80] :=	:	:	:	:	:	:	:	:	:	:	:	:
set PE[81] :=	:	:	:	:	:	:	:	:	:	:	:	:
set PE[82] :=	:	:	:	:	:	:	:	:	:	:	:	:
set PE[83] :=	:	:	:	:	:	:	:	:	:	:	:	:
set PE[84] :=	:	:	:	:	:	:	:	:	:	:	:	:
set PE[85] :=	:	:	:	:	:	:	:	:	:	:	:	:
set PE[86] :=	209	210	211	212	213	214	215	216	217	218	219	
	220	221	222	223	224	225	226	227	228	229	230	231
	232	233	234	235	236	237	238	239	240	241	242	243
	244;											
set PE[87] :=	:	:	:	:	:	:	:	:	:	:	:	:
set PE[88] :=	:	:	:	:	:	:	:	:	:	:	:	:
set PE[89] :=	:	:	:	:	:	:	:	:	:	:	:	:
set PE[90] :=	:	:	:	:	:	:	:	:	:	:	:	:

```

setPE[ 91] := :
set PE[ 92] := :
set PE[ 93] := :
set PE[ 94] := :
set PE[ 95] := :
set PE[ 96] := :
set PE[ 97] := :
set PE[ 98] := :
set PE[ 99] := :
setPE[100]:= :
setPE[ 101] := :
setPE[102] := :
setPE[103] := :
setPE[104] := :
setPE[105] := :
setPE[106]:= 245 246 247 248 249 250 251 252 253 254 255
256 257 258 259 260 261 262 263 264 265 266 267
268 269 270 271 272 273 274 275 276 277 278 279;
setPE[107]:= :
setPE[108] := :
setPE[109] := :
setPE[110] := :
setPE[111] := :
setPE[112] := :
setPE[113] := :
setPE[114] := :
setPE[115] := :
setPE[116]:= 37 40 43 46 60 175 179 182 185 198 211
215 218 221 234 245 248 250 251 254 257 260 262
263 265 268 272 273 274 276 278 279 281 284 286
287 290 293 296 298 299 301 304 308 309 310 312
314 315 317 320 322 323 326 329 332 334 335 337
340 344 345 346 348 350 351 389 392 395 398 401
404 407 419 422 429 433 436 439 453 465 468 471
474 477 480 483 495 499 503 506 508 509 512 515
518 520 521 523 527 531 532 533 535 537 538;
setPE[117] := :
setPE[118] := :
setPE[ 119] := :
setPE[120]:= 13 14 15 49 59 51 83 84 85 117 118
119 151 152 153 187 188 189 223 224 225 302 338
366 367 368 408 409 410 442 443 444 484 485 486
524;
setPE[121]:= 19 20 21 55 56 57 89 90 91 123 124
125 157 158 159 193 194 195 229 230 231 267 303
372 373 374 414 415 416 448 449 450 490 491 492
526;
setPE[122] := :
setPE[123] := :
setPE[124] := :
setPE[125]:= 3 9 12 25 28 31 63 67 74 79 82
95 58 101 108 113 116 129 132 135 142 147 150
163 166 169 201 205 237 241 246 247 249 252 253
255 256 258 259 261 264 269 270 271 275 277 282
283 285 288 289 291 292 294 295 297 300 305 306
307 311 313 318 319 321 324 325 327 328 330 331
333 336 341 342 343 347 349 356 362 365 377 380
383 456 459 504 505 507 510 511 513 514 516 517
519 522 528 529 530 534 536;
setPE[ 126] := 32 33 34 68 69 70 102 103 104 136 137
138 170 171 172 206 207 208 242 243 244 280 316
352 384 385 386 424 425 426 460 461 462 500 501
502;
setPE[127] := :
setPE[128] := :
setPE[129] := :
setPE[ 130] := :
setPE[131] := :
setPE[132] := :
setPE[133] := :
setPE[134] := :
setPE[135]:= 317 318 319 320 321 322 323 324 325 326 327
328 329 330 331 332 333 334 335 336 337 338 339
340 341 342 343 344 345 346 347 348 349 350 351
352;
setPE[136] := :
setPE[137] := :
setPE[138] := :
setPE[139] := :

```

```

setPE[140] := ;
setPE[141] := ;
setPE[142] := ;
setPE[143] := ;
setPE[144] := 353 354 355 356 357 358 359 360 361 362 363
364 365 366 367 368 369 370 371 372 373 374 375
376 377 378 379 380 381 382 383 384 385 386;
setPE[145] := ;
setPE[146] := ;
setPE[147] := ;
setPE[148] := ;
setPE[149] := ;
setPE[150] := ;
setPE[151] := ;
setPE[152] := ;
setPE[153] := ;
setPE[154] := ;
setPE[155] := ;
setPE[156] := ;
setPE[157] := ;
setPE[158] := ;
setPE[159] := ;
setPE[160] := ;
setPE[161] := ;
setPE[162] := ;
setPE[163] := ;
setPE[164] := ;
setPE[165] := ;
setPE[166] := ;
setPE[167] := 387 388 389 390 391 392 393 394 395 396 397
398 399 400 401 402 403 404 405 406 407 408 409
410 411 412 413 414 415 416 417 418 419 420 421
422 423 424 425 426;
setPE[168] := ;
setPE[169] := ;
setPE[170] := 427 428 429 430 431 432 433 434 435 436 437
438 439 440 441 442 443 444 445 446 447 448 449
450 451 452 453 454 455 456 457 458 459 460 461
462;
setPE[171] := ;
setPE[172] := ;
setPE[173] := ;
setPE[174] := ;
setPE[175] := ;
setPE[176] := ;
setPE[177] := ;
setPE[178] := ;
setPE[179] := ;
setPE[180] := ;
setPE[181] := ;
setPE[182] := ;
setPE[183] := ;
setPE[184] := 2 3 8 9 11 12 27 28 73 74 78
79 81 82 97 98 107 108 112 113 115 116 131
132 141 142 146 147 149 150 165 166 247 249 253
256 259 261 262 264 265 270 275 276 283 285 286
289 292 295 297 300 301 306 311 312 319 321 325
328 331 333 334 336 337 342 347 348 355 356 361
362 364 365 379 380 388 390 394 397 400 402 405
410 413 416 418 420 426 464 466 470 473 476 478
481 486 489 492 494 497 502 505 507 511 514 517
519 520 522 523 529 534 535;
setPE[185] := ;
setPE[186] := 36 39 42 45 51 54 57 59 70 174 178
181 184 189 192 195 197 208 210 214 217 220 225
228 231 233 244 246 252 255 258 269 282 288 291
294 305 318 324 327 330 341 387 391 393 396 399
403 406 409 412 415 417 421 425 428 432 435 438
444 447 450 452 462 463 467 469 472 475 479 482
485 488 491 493 498 501 504 510 513 516 528;
setPE[187] := ;
setPE[188] := ;
setPE[189] := ;
setPE[190] := ;
setPE[191] := 14 15 17 18 20 21 33 34 37 40 43
46 50 53 56 60 69 84 85 87 88 90 91
103 104 118 119 121 122 124 125 137 138 152 153
155 156 158 159 171 172 175 179 182 185 188 191
194 198 207 208 211 215 218 221 224 227 230 234

```

243	367	368	370	371	373	374	385	386	389	392	395
398	401	404	407	408	411	414	419	422	424	429	433
436	439	443	446	449	453	461	465	468	471	474	477
480	483	484	487	490;							
setPE[192]:=	:	:	:	:	:	:	:	:	:	:	:
setPE[193]:=	:	:	:	:	:	:	:	:	:	:	:
setPE[194]:=	23	24	25	61	62	63	93	94	95	127	128
	129	161	162	163	199	200	201	235	236	199	271
	273	307	308	309	343	344	345	375	376	377	454
	456	496	530	531	532;						455
setPE[195]:=	:	:	:	:	:	:	:	:	:	:	:
setPE[196]:=	:	:	:	:	:	:	:	:	:	:	:
setPE[197]:=	:	:	:	:	:	:	:	:	:	:	:
setPE[198]•=	:	:	:	:	:	:	:	:	:	:	:
setPE[199]:=	:	:	:	:	:	:	:	:	:	:	:
setPE[200]:=	:	:	:	:	:	:	:	:	:	:	:
setPE[201]:=	:	:	:	:	:	:	:	:	:	:	:
set PE[202]:=	:	:	:	:	:	:	:	:	:	:	:
setPE[203]:=	:	:	:	:	:	:	:	:	:	:	:
set PE[204]:=;	:	:	:	:	:	:	:	:	:	:	:
set PE[205]:=	503	504	505	506	507	508	509	510	511	512	513
	514	515	516	517	518	519	520	521	522	523	524
	526	527	528	529	530	531	532	533	534	535	536
	538;										537
set PE[206]:=	:	:	:	:	:	:	:	:	:	:	:
set PE[207]:=	:	:	:	:	:	:	:	:	:	:	:
set PE[208]:=	:	:	:	:	:	:	:	:	:	:	:
setPE[209]:=	:	:	:	:	:	:	:	:	:	:	:
setPE[210]:=	:	:	:	:	:	:	:	:	:	:	:

setEQUIP :=T1;

param demand :=
 [N1.N2] 0 [N1.N3] 0 [N1.N4] 255000 [N1.N5] 0 [N1.N6] 0 [N1.N7] 0 [N1.N8] 0 [N1.N9] 255000 [N1.N10] 255000 [N1.N11] 0 [N1.N12] 0
 [N1.N13] 0 [N1.N14] 0 [N1.N15] 0 [N2.N1] 0 [N2.N3] 255000 [N2.N4] 255000 [N2.N5] 0 [N2.N6] 0 [N2.N7] 0 [N2.N8] 0 [N2.N9] 255000
 [N2.N10] 255000 [N2.N11] 255000 [N2.N12] 0 [N2.N13] 0 [N2.N14] 0 [N2.N15] 255000 [N3.N1] 0 [N3.N2] 255000 [N3.N4] 255000 [N3.N5]
 255000 [N3.N6] 0 [N3.N7] 0 [N3.N8] 0 [N3.N9] 0 [N3.N10] 255000 [N3.N11] 255000 [N3.N12] 255000 [N3.N13] 0 [N3.N14] 0 [N3.N15] 0
 [N4.N1] 255000 [N4.N2] 255000 [N4.N3] 255000 [N4.N5] 0 [N4.N6] 255000 [N4.N7] 0 [N4.N8] 0 [N4.N9] 0 [N4.N10] 255000 [N4.N11] 255000
 [N4.N12] 0 [N4.N13] 0 [N4.N14] 0 [N4.N15] 0 [N5.N1] 0 [N5.N2] 0 [N5.N3] 255000 [N5.N4] 0 [N5.N6] 0 [N5.N7] 0 [N5.N8] 0 [N5.N9] 255000
 [N5.N10] 0 [N5.N11]255000 [N5.N12] 255000 [N5.N13] 255000 [N5.N14] 255000 [N5.N15] 0 [N6.N1] 0 [N6.N2] 0 [N6.N3] 0 [N6.N4] 255000
 [N6.N5] 0 [N6.N7] 255000 [N6.N8] 0 [N6.N9] 255000 [N6.N10] 0 [N6.N11] 0 [N6.N12] 0 [N6.N13] 255000 [N6.N14] 0 [N6.N15] 255000 [N7.N1]
 0 [N7.N2] 0 [N7.N3] 0 [N7.N4] 0 [N7.N5] 0 [N7.N6] 255000 [N7.N8] 0 [N7.N9] 255000 [N7.N10] 0 [N7.N11] 255000 [N7.N12] 255000 [N7.N13]
 255000 [N7.N14] 255000 [N7.N15] 0 [N8.N1] 0 [N8.N2] 0 [N8.N3] 0 [N8.N4] 0 [N8.N5] 0 [N8.N6] 0 [N8.N7] 0 [N8.N9] 0 [N8.N10] 0 [N8.N11] 0
 [N8.N12] 255000 [N8.N13] 255000 [N8.N14] 0 [N8.N15] 255000 [N9.N1] 255000 [N9.N2] 255000 [N9.N3] 0 [N9.N4] 0 [N9.N5] 255000 [N9.N6]
 255000 [N9.N7] 255000 [N9.N8] 0 [N9.N10] 0 [N9.N11] 0 [N9.N12] 255000 [N9.N13] 255000 [N9.N14] 255000 [N9.N15] 0 [N10.N1] 255000
 [N10.N2] 255000 [N10.N3] 255000 [N10.N4] 255000 [N10.N5] 0 [N10.N6] 0 [N10.N7] 0 [N10.N8] 0 [N10.N9] 0 [N10.N11] 255000 [N10.N12] 0
 [N10.N13] 255000 [N10.N14] 0 [N10.N15] 255000 [N11.N1] 0 [N11.N2] 255000 [N11.N3] 255000 [N11.N4] 255000 [N11.N5] 255000 [N11.N6]
 0 [N11.N7] 255000 [N11.N8] 0 [N11.N9] 0 [N11.N10] 255000 [N11.N12] 0 [N11.N13] 0 [N11.N14] 255000 [N11.N15] 0 [N12.N1] 0 [N12.N2] 0
 [N12.N3] 255000 [N12.N4] 0 [N12.N5] 255000 [N12.N6] 0 [N12.N7] 255000 [N12.N8] 255000 [N12.N9] 255000 [N12.N10] 0 [N12.N11] 0
 [N12.N13] 255000 [N12.N14] 255000 [N12.N15] 0 [N13.N1] 0 [N13.N2] 0 [N13.N3] 0 [N13.N4] 0 [N13.N5] 255000 [N13.N6] 255000 [N13.N7]
 255000 [N13.N8] 255000 [N13.N9] 255000 [N13.N10] 255000 [N13.N11] 0 [N13.N12] 255000 [N13.N14] 255000 [N13.N15] 0 [N14.N1] 0
 [N14.N2] 0 [N14.N3] 0 [N14.N4] 0 [N14.N5] 255000 [N14.N6] 0 [N14.N7] 255000 [N14.N8] 0 [N14.N9] 255000 [N14.N10] 0 [N14.N11] 255000
 [N14.N12] 255000 [N14.N13] 255000 [N14.N15] 0 [N15.N1] 0 [N15.N2] 255000 [N15.N3] 0 [N15.N4] 0 [N15.N5] 0 [N15.N6] 255000 [N15.N7] 0
 [N15.N8] 255000 [N15.N9] 0 [N15.N10] 255000 [N15.N11] 0 [N15.N12] 0 [N15.N13] 0 [N15.N14] 0;

param Capacity := T1 1540000;

Anexo D

```
setN := N1 N2 N3 N4 N5 N6 N7 N8 N9 N10 N11 N12 N13 N14 N15;

setL := 1 2 3 4 5 6 7 8 9 10 11 12 13 14 15 16 17 18 19 20 21 22 23 24 25 26 27 28 29 30 31 32 33 34 35 36 37 38 39 40 41 42 43 44 45 46
47 48 49 50 51 52 53 54 55 56 57 58 59 60 61 62 63 64 65 66 67 68 69 70 71 72 73 74 75 76 77 78 79 80 81 82 83 84 85 86 87 88 89 90 91
92 93 94 95 96 97 98 99 100 101 102 103 104 105;

setE := 1 2 3 4 5 6 7 8 9 10 11 12 13 14 15 16 17 18 19 20 21 22 23 24 25 26 27 28 29 30 31 32 33 34 35 36 37 38 39 40 41 42 43 44 45 46
47 48 49 50 51 52 53 54 55 56 57 58 59 60 61 62 63 64 65 66 67 68 69 70 71 72 73 74 75 76 77 78 79 80 81 82 83 84 85 86 87 88 89 90 91
92 93 94 95 96 97 98 99 100 101 102 103 104 105 106 107 108 109 110 111 112 113 114 115 116 117 118 119 120 121 122 123 124 125
126 127 128 129 130 131 132 133 134 135 136 137 138 139 140 141 142 143 144 145 146 147 148 149 150 151 152 153 154 155 156 157
158 159 160 161 162 163 164 165 166 167 168 169 170 171 172 173 174 175 176 177 178 179 180 181 182 183 184 185 186 187 188 189
190 191 192 193 194 195 196 197 198 199 200 201 202 203 204 205 206 207 208 209 210;

setD := (N1,N2)(N1,N3)(N1,N4)(N1,N5)(N1,N6)(N1,N7)(N1,N8)(N1,N9)(N1,N10)(N1,N11)(N1,N12)(N1,N13)(N1,N14)(N1,N15)
(N2,N1)(N2,N3)(N2,N4)(N2,N5)(N2,N6)(N2,N7)(N2,N8)(N2,N9)(N2,N10)(N2,N11)(N2,N12)(N2,N13)(N2,N14)(N2,N15)(N3,N1)
(N3,N2)(N3,N4)(N3,N5)(N3,N6)(N3,N7)(N3,N8)(N3,N9)(N3,N10)(N3,N11)(N3,N12)(N3,N13)(N3,N14)(N3,N15)(N4,N1)(N4,N2)
(N4,N3)(N4,N4)(N4,N5)(N4,N6)(N4,N7)(N4,N8)(N4,N9)(N4,N10)(N4,N11)(N4,N12)(N4,N13)(N4,N14)(N4,N15)(N5,N1)(N5,N2)(N5,N3)
(N5,N4)(N5,N5)(N5,N6)(N5,N7)(N5,N8)(N5,N9)(N5,N10)(N5,N11)(N5,N12)(N5,N13)(N5,N14)(N5,N15)(N6,N1)(N6,N2)(N6,N3)(N6,N4)
(N6,N5)(N6,N6)(N6,N7)(N6,N8)(N6,N9)(N6,N10)(N6,N11)(N6,N12)(N6,N13)(N6,N14)(N6,N15)(N7,N1)(N7,N2)(N7,N3)(N7,N4)(N7,N5)
(N7,N6)(N7,N7)(N7,N8)(N7,N9)(N7,N10)(N7,N11)(N7,N12)(N7,N13)(N7,N14)(N7,N15)(N8,N1)(N8,N2)(N8,N3)(N8,N4)(N8,N5)(N8,N6)
(N8,N7)(N8,N8)(N8,N9)(N8,N10)(N8,N11)(N8,N12)(N8,N13)(N8,N14)(N8,N15)(N9,N1)(N9,N2)(N9,N3)(N9,N4)(N9,N5)(N9,N6)(N9,N7)
(N9,N8)(N9,N9)(N9,N10)(N9,N11)(N9,N12)(N9,N13)(N9,N14)(N9,N15)(N10,N1)(N10,N2)(N10,N3)(N10,N4)(N10,N5)(N10,N6)(N10,N7)
(N10,N8)(N10,N9)(N10,N10)(N10,N11)(N10,N12)(N10,N13)(N10,N14)(N10,N15)(N11,N1)(N11,N2)(N11,N3)(N11,N4)(N11,N5)(N11,N6)
(N11,N7)(N11,N8)(N11,N9)(N11,N10)(N11,N11)(N11,N12)(N11,N13)(N11,N14)(N11,N15)(N12,N1)(N12,N2)(N12,N3)(N12,N4)(N12,N5)
(N12,N6)(N12,N7)(N12,N8)(N12,N9)(N12,N10)(N12,N11)(N12,N12)(N12,N13)(N12,N14)(N12,N15)(N13,N1)(N13,N2)(N13,N3)(N13,N4)
(N13,N5)(N13,N6)(N13,N7)(N13,N8)(N13,N9)(N13,N10)(N13,N11)(N13,N12)(N13,N13)(N13,N14)(N13,N15)(N14,N1)(N14,N2)(N14,N3)
(N14,N4)(N14,N5)(N14,N6)(N14,N7)(N14,N8)(N14,N9)(N14,N10)(N14,N11)(N14,N12)(N14,N13)(N14,N14)(N14,N15)(N15,N1)(N15,N2)
(N15,N3)(N15,N4)(N15,N5)(N15,N6)(N15,N7)(N15,N8)(N15,N9)(N15,N10)(N15,N11)(N15,N12)(N15,N13)(N15,N14);

setP:= 1 2 34 56 7 89 10 11 12 13 14 15 16 17 18 19 20 21 22 23 24 25 26 27 28 29 30 31 32 33 34 35 36 37 38 39 40 41 42 43 44 45 46
47 48 49 50 51 52 53 54 55 56 57 58 59 60 61 62 63 64 65 66 67 68 69 70 71 72 73 74 75 76 77 78 79 80 81 82 83 84 85 86 87 88 89 90 91
92 93 94 95 96 97 98 99 100 101 102 103 104 105 106 107 108 109 110 111 112 113 114 115 116 117 118 119 120 121 122 123 124 125
126 127 128 129 130 131 132 133 134 135 136 137 138 139 140 141 142 143 144 145 146 147 148 149 150 151 152 153 154 155 156 157
158 159 160 161 162 163 164 165 166 167 168 169 170 171 172 173 174 175 176 177 178 179 180 181 182 183 184 185 186 187 188 189
190 191 192 193 194 195 196 197 198 199 200 201 202 203 204 205 206 207 208 209 210 211 212 213 214 215 216 217 218 219 220 221
222 223 224 225 226 227 228 229 230 231 232 233 234 235 236 237 238 239 240 241 242 243 244 245 246 247 248 249 250 251 252 253
254 255 256 257 258 259 260 261 262 263 264 265 266 267 268 269 270 271 272 273 274 275 276 277 278 279 280 281 282 283 284 285
286 287 288 289 290 291 292 293 294 295 296 297 298 299 300 301 302 303 304 305 306 307 308 309 310 311 312 313 314 315 316 317
318 319 320 321 322 323 324 325 326 327 328 329 330 331 332 333 334 335 336 337 338 339 340 341 342 343 344 345 346 347 348 349
350 351 352 353 354 355 356 357 358 359 360 361 362 363 364 365 366 367 368 369 370 371 372 373 374 375 376 377 378 379 380 381
382 383 384 385 386 387 388 389 390 391 392 393 394 395 396 397 398 399 400 401 402 403 404 405 406 407 408 409 410 411 412 413
414 415 416 417 418 419 420 421 422 423 424 425 426 427 428 429 430 431 432 433 434 435 436 437 438 439 440 441 442 443 444 445
446 447 448 449 450 451 452 453 454 455 456 457 458 459 460 461 462 463 464 465 466 467 468 469 470 471 472 473 474 475 476 477
478 479 480 481 482 483 484 485 486 487 488 489 490 491 492 493 494 495 496 497 498 499 500 501 502 503 504 505 506 507 508 509
510 511 512 513 514 515 516 517 518 519 520 521 522 523 524 525 526 527 528 529 530 531 532 533 534 535 536 537 538 539 540 541
542 543 544 545 546 547 548 549 550 551 552 553 554 555 556 557 558 559 560 561 562 563 564 565 566 567 568 569 570 571
572 573;

set PD[N1,N2] := 1 2 3;
set PD[N1,N4] := 7 8 9;
set PD[N1,N6] := 11 12 13;
set PD[N1,N8] := 17 18 19;
set PD[N1,N10] := 23 24 25;
set PD[N1,N12] := 29;
set PD[N1,N14] := 33;
set PD[N2,N1] := 37 38 39;
set PD[N2,N4] := 44 45 46 47;
set PD[N2,N6] := 51;
set PD[N2,N8] := 53 54 55;
set PD[N2,N10] := 59 60 61;
set PD[N2,N12] := 66 67 68;
set PD[N2,N14] := 70 71 72;
set PD[N3,N1] := 76 77 78;
set PD[N3,N4] := 83;
set PD[N3,N6] := 87 88 89 90;
set PD[N3,N8] := 95 96 97;
set PD[N3,N10] := 101 102 103;
set PD[N3,N12] := 105 106 107;
set PD[N3,N14] := 112 113 114;
set PD[N4,N1] := 118 119 120;
set PD[N4,N3] := 125;

set PD[N1,N3] := 4 5 6;
set PD[N1,N5] := 10;
set PD[N1,N7] := 14 15 16;
set PD[N1,N9] := 20 21 22;
set PD[N1,N11] := 26 27 28;
set PD[N1,N13] := 30 31 32;
set PD[N1,N15] := 34 35 36;
set PD[N2,N3] := 40 41 42 43;
set PD[N2,N5] := 48 49 50;
set PD[N2,N7] := 52;
set PD[N2,N9] := 56 57 58;
set PD[N2,N11] := 62 63 64 65;
set PD[N2,N13] := 69;
set PD[N2,N15] := 73 74 75;
set PD[N3,N2] := 79 80 81 82;
set PD[N3,N5] := 84 85 86;
set PD[N3,N7] := 91 92 93 94;
set PD[N3,N9] := 98 99 100;
set PD[N3,N11] := 104;
set PD[N3,N13] := 108 109 110 111;
set PD[N3,N15] := 115 116 117;
set PD[N4,N2] := 121 122 123 124;
set PD[N4,N5] := 126 127 128;
```

set PD[N4,N6J] := 129 130 131 132 133;
 set PD[N4,N8] := 139 140 141;
 set PD[N4,N10] := 145 146 147;
 set PD[N4,N12] := 149 150 151;
 set PD[N4,N14] := 157 158 159;
 set PD[N5,N1] := 163;
 set PD[N5,N3] := 167 168 169;
 set PD[N5,N6] := 173 174 175;
 set PD[N5,N8J] := 179 180 181;
 set PD[N5,N10J] := 185 186 187;
 set PD[N5,N12] := 191;
 set PD[N5,N14] := 195;
 set PD[N6,N1] := 199 200 201;
 set PD[N6,N3] := 203 204 205 206;
 set PD[N6,N5] := 211 212 213;
 set PD[N6,N8] := 215 216 217;
 set PD[N6,N10] := 221 222 223;
 set PD[N6,N12] := 228 229 230;
 set PD[N6,N14] := 232 233 234;
 set PD[N7,N1] := 238 239 240;
 set PD[N7,N3] := 242 243 244 245;
 set PD[N7,N5] := 249 250 251;
 set PD[N7,N8] := 253 254 255 256;
 set PD[N7,N10] := 260 261 262;
 set PD[N7,N12J] := 267 268 269;
 set PD[N7,N14] := 271 272 273;
 set PD[N8,N1] := 277 278 279;
 set PD[N8,N3] := 283 284 285;
 set PD[N8,N5] := 289 290 291;
 set PD[N8,N7] := 295 296 297;
 set PD[N8,N10] := 299;
 set PD[N8,N12J] := 303 304 305;
 set PD[N8,N14] := 309 310 311;
 set PD[N9,N1] := 313 314 315;
 set PD[N9,N3] := 319 320 321;
 set PD[N9,N5] := 325 326 327;
 set PD[N9,N7] := 331 332 333;
 set PD[N9,N10] := 335;
 set PD[N9,N12] := 339 340 341;
 set PD[N9,N14] := 345 346 347;
 set PD[N10,N1] := 349 350 351;
 set PD[N10,N3] := 355 356 357;
 set PD[N10,N5J] := 361 362 363;
 set PD[N10,N7] := 367 368 369;
 set PD[N10,N9] := 371;
 set PD[N10,N12] := 375 376 377;
 set PD[N10,N14] := 381 382 383;
 set PD[N11,N1] := 385 386 387;
 set PD[N11,N3] := 392;
 set PD[N11,N5] := 394 395 396;
 set PD[N11,N7] := 401 402 403 404;
 set PD[N11,N9] := 408 409 410;
 set PD[N11,N12] := 414 415 416;
 set PD[N11,N14] := 421 422 423;
 set PD[N12,N1] := 427;
 set PD[N12,N3] := 431 432 433;
 set PD[N12,N5] := 437;
 set PD[N12,N7] := 441 442 443;
 set PD[N12,N9] := 447 448 449;
 set PD[N12,N11] := 453 454 455;
 set PD[N12,N14] := 459;
 set PD[N13,N1] := 463 464 465;
 set PD[N13,N3] := 467 468 469 470;
 set PD[N13,N5J] := 475 476 477;
 set PD[N13,N7] := 479;
 set PD[N13,N9] := 483 484 485;
 set PD[N13,N11] := 489 490 491 492;
 set PD[N13,N14] := 496 497 498;
 set PD[N14,N1] := 502;
 set PD[N14,N3] := 506 507 508;
 set PD[N14,N5] := 512;
 set PD[N14,N7] := 516 517 518;
 set PD[N14,N9J] := 522 523 524;
 set PD[N14,N11] := 528 529 530;
 set PD[N14,N13] := 532 533 534;
 set PD[N15,N1] := 538 539 540;
 set PD[N15,N3] := 544 545 546;
 set PD[N15,N5J] := 550 551 552;
 set PD[N15,N7] := 556 557 558;

set PD[N4,N7] := 134 135 136 137 138;
 set PD[N4,N9] := 142 143 144;
 set PD[N4,N11] := 148;
 set PD[N4,N13] := 152 153 154 155 156;
 set PD[N4,N15] := 160 161 162;
 set PD[N5,N2] := 164 165 166;
 set PD[N5,N4] := 170 171 172;
 set PD[N5,N7] := 176 177 178;
 set PD[N5,N9] := 182 183 184;
 set PD[N5,N11] := 188 189 190;
 set PD[N5,N13] := 192 193 194;
 set PD[N5,N15] := 196 197 198;
 set PD[N6,N2J] := 202;
 set PD[N6,N4] := 207 208 209 210;
 set PD[N6,N7] := 214;
 set PD[N6,N9] := 218 219 220;
 set PD[N6,N11] := 224 225 226 227;
 set PD[N6,N13] := 231;
 set PD[N6,N15] := 235 236 237;
 set PD[N7,N2] := 241;
 set PD[N7,N4] := 246 247 248;
 set PD[N7,N6] := 252;
 set PD[N7,N9] := 257 258 259;
 set PD[N7,N11J] := 263 264 265 266;
 set PD[N7,N13J] := 270;
 set PD[N7,N15] := 274 275 276;
 set PD[N8,N2] := 280 281 282;
 set PD[N8,N4] := 286 287 288;
 set PD[N8,N6] := 292 293 294;
 set PD[N8,N9] := 298;
 set PD[N8,N11] := 300 301 302;
 set PD[N8,N13] := 306 307 308;
 set PD[N8,N15] := 312;
 set PD[N9,N2] := 316 317 318;
 set PD[N9,N4] := 322 323 324;
 set PD[N9,N6] := 328 329 330;
 set PD[N9,N8] := 334;
 set PD[N9,N11] := 336 337 338;
 set PD[N9,N13] := 342 343 344;
 set PD[N9,N15] := 348;
 set PD[N10,N2] := 352 353 354;
 set PD[N10,N4] := 358 359 360;
 set PD[N10,N6] := 364 365 366;
 set PD[N10,N8] := 370;
 set PD[N10,N11] := 372 373 374;
 set PD[N10,N13] := 378 379 380;
 set PD[N10,N15] := 384;
 set PD[N11,N2] := 388 389 390 391;
 set PD[N11,N4] := 393;
 set PD[N11,N6] := 397 398 399 400;
 set PD[N11,N8] := 405 406 407;
 set PD[N11,N10] := 411 412 413;
 set PD[N11,N13] := 417 418 419 420;
 set PD[N11,N15] := 424 425 426;
 set PD[N12,N2] := 428 429 430;
 set PD[N12,N4] := 434 435 436;
 set PD[N12,N6] := 438 439 440;
 set PD[N12,N8] := 444 445 446;
 set PD[N12,N10] := 450 451 452;
 set PD[N12,N13] := 456 457 458;
 set PD[N12,N15J] := 460 461 462;
 set PD[N13,N2J] := 466;
 set PD[N13,N4] := 471 472 473 474;
 set PD[N13,N6] := 478;
 set PD[N13,N8] := 480 481 482;
 set PD[N13,N10] := 486 487 488;
 set PD[N13,N12] := 493 494 495;
 set PD[N13,N15] := 499 500 501;
 set PD[N14,N2] := 503 504 505;
 set PD[N14,N4] := 509 510 511;
 set PD[N14,N6] := 513 514 515;
 set PD[N14,N8] := 519 520 521;
 set PD[N14,N10] := 525 526 527;
 set PD[N14,N12] := 531;
 set PD[N14,N15] := 535 536 537;
 set PD[N15,N2] := 541 542 543;
 set PD[N15,N4] := 547 548 549;
 set PD[N15,N6] := 553 554 555;
 set PD[N15,N8] := 559;

```

setPD[N15,N9] := 560;
setPD[N15,N11] := 562 563 564;
set PD[N15.N13] := 568 569 570;

```

```

setPD[N15,N10] := 561,
set PD[N15,N12] := 565 566 567;
set PD[N15.N14] := 571 572 573;

```

```

setPE[ 1] := :
set PE[ 2] := :
set PE[ 3] := :
set PE[ 4] := :
set PE[ 5] := :
set PE[ 6] := :
set PE[ 7] := :
set PE[ 8] := :
set PE[ 9] := :
setPE[ 10] := :
setPE[ 11] := :
setPE[ 12] := :
setPE[ 13] := 1 2 3 4 5 6 7 8 9 10 11
12 13 14 15 16 17 18 19 20 21 22 23
24 25 26 27 28 29 30 31 32 33 34 35
36;

setPE[ 14] := :
setPE[ 15] := :
setPE[ 16] := :
setPE[ 17] := :
setPE[ 18] := :
setPE[ 19] := 11 12 13 51 87 88 89 90 129 130 131
132 133 253 292 293 294 328 329 330 364 365 366
397 398 399 400 438 439 440 478 513 514 515 553
554
set PE[ 20] := 14 15 16 52 91 92 93 94 134 135 136
137 138 214 295 296 297 331 332 333 367 368 369
401 402 403 404 441 442 443 479 516 517 518 556
557 558;
setPE[ 21] := :
set PE[ 22] := 6 9 22 24 28 35 38 39 41 42 45
47 49 50 53 56 59 62 65 67 68 71 72
73 97 100 103 117 144 147 162 172 181 184 186
190 197 200 201 204 205 208 210 212 213 215 218
221 224 227 229 230 233 234 235 239 240 243 244
247 249 251 252 254 257 260 263 266 268 272 273
274 407 410 413 426 433 436 446 449 451 455 461
464 465 468 469 472 474 476 477 480 483 486 489
492 494 495 497 498 499 508 511 521 524 526 530
536;
set PE[ 23] := :
set PE[ 24] := :
set PE[ 25] := :
set PE[ 26] := 30 31 32 69 108 109 110 111 152 153 154
155 156 192 193 194 270 306 307 308 342 343 344
378 379 380 456 457 458 532 533 534 568 569 570;
set PE[ 27] := 37 43 44 46 48 54 55 57 58 60 61
63 64 66 70 74 75 78 86 107 114 120 128
151 159 199 203 206 207 209 211 216 217 219 220
222 223 225 226 228 232 236 237 238 242 245 246
248 250 255 256 258 259 261 262 264 265 267 271
275 276 278 285 288 290 302 304 310 314 321 324
326 338 340 346 350 357 360 362 374 376 382 387
396 416 423 463 467 470 471 473 475 481 482 484
485 487 488 490 491 493 496 500 501 539 546 549
551 564 566 572;
set PE[ 28] := :
set PE[ 29] := :
set PE[ 30] := :
setPE[ 31] := 76 77 78 79 80 81 82 83 84 85
86 87 88 89 90 91 92 93 94 95 96 97
98 99 100 101 102 103 104 105 106 107 108 109
110 111 112 113 114 115 116 117;
set PE[ 32] := :
set PE[ 33] := :
set PE[ 34] := :
set PE[ 35] := :
set PE[ 36] := :
set PE[ 37] := :
set PE[ 38] := :
set PE[ 39] := :
set PE[ 40] := :
set PE[ 41] := :
set PE[ 42] := :

```

```

set PE[ 43] := ;
set PE[ 44] := ;
set PE[ 45] := 4 5 6 41 42 43 125 167 168 169 203
204 205 206 242 243 244 245 283 284 285 319 320
321 355 356 357 392 431 432 433 467 468 469 470
506 507 508 544 545 546;
set PE[ 46] := ;
set PE[ 47] := ;
set PE[ 48] := ;
set PE[ 49] := ;
set PE[ 50] := 3 13 16 18 21 25 32 36 55 58 61
75 77 78 79 82 85 86 87 89 91 93 95
98 101 106 107 108 110 113 114 115 119 120 122
123 127 128 130 132 135 137 139 142 145 150 151
153 155 158 159 160 166 175 178 180 183 187 194
198 217 221 237 262 276 386 387 388 391 395 396
397 399 401 403 405 408 411 415 416 417 419 422
423 424 430 440 443 445 448 452 462 482 485 488
501 505 518 520 523 527 534 537;
set PE[ 51] := ;
set PE[ 52] := 26 27 28 63 64 65 104 148 188 189 190
224 225 226 227 263 264 265 266 300 301 302 336
337 338 372 373 374 453 454 455 489 490 491 492
528 529 530 562 563 564;
set PE[ 53] := ;
set PE[ 54] := ;
set PE[ 55] := 39 50 68 72 76 84 88 90 92 94 96
97 99 100 102 103 105 109 111 116 117 118 121
124 126 129 131 133 134 136 138 140 141 143 144
146 147 149 152 154 156 157 161 162 201 213 230
234 240 252 273 279 282 291 294 297 305 308 311
315 318 327 330 333 341 344 347 351 354 363 366
369 377 380 383 385 389 390 394 398 400 402 404
406 407 409 410 412 413 414 418 420 421 425 426
465 477 498 540 543 552 555 558 567 570 573;
set PE[ 56] := ;
set PE[ 57] := ;
set PE[ 58] := ;
set PE[ 59] := ;
set PE[ 60] := ;
set PE[ 61] := ;
set PE[ 62] := ;
set PE[ 63] := ;
set PE[ 64] := ;
set PE[ 65] := ;
set PE[ 66] := ;
set PE[ 67] := ;
set PE[ 68] := ;
set PE[ 69] := 163 164 165 166 167 168 169 170 171 172 173
174 175 176 177 178 179 180 181 182 183 184 185
186 187 188 189 190 191 192 193 194 195 196 197
198;
set PE[ 70] := ;
set PE[ 71] := ;
set PE[ 72] := 199 200 201 202 203 204 205 206 207 208 209
210 211 212 213 214 215 216 217 218 219 220 221
222 223 224 225 226 227 228 229 230 231 232 233
234 235 236 237;
set PE[ 73] := ;
set PE[ 74] := ;
set PE[ 75] := ;
set PE[ 76] := ;
set PE[ 77] := ;
set PE[ 78] := ;
set PE[ 79] := ;
set PE[ 80] := ;
set PE[ 81] := ;
set PE[ 82] := ;
set PE[ 83] := ;
set PE[ 84] := ;
set PE[ 85] := ;
set PE[ 86] := 238 239 240 241 242 243 244 245 246 247 248
249 250 251 252 253 254 255 256 257 258 259 260
261 262 263 264 265 266 267 268 269 270 271 272
273 274 275 276;
set PE[ 87] := ;
set PE[ 88] := ;
set PE[ 89] := ;
set PE[ 90] := ;

```

```

setPE[ 91] :=
set PE[ 92] :=
set PE[ 93] :=
set PE[ 94] :=
set PE[ 95] :=
set PE[ 96] :=
set PE[ 97] :=
set PE[ 98] :=
set PE[ 99] :=
setPE[100]:=
set PE[101]:=
setPE[102]:=
setPE[103]:=
setPE[104]:=
setPE[105]:=
setPE[106]:= 277 278 279 280 281 282 283 284 285 286 287
288 289 290 291 292 293 294 295 296 297 298 299
300 301 302 303 304 305 306 307 308 309 310 311
312;
setPE[107]:=
setPE[108]:=
setPE[109]:=
setPE[110]:=
set PE[111]:=
setPE[112]:=
setPE[113]:=
setPE[ 114]:= 2 3 12 13 15 16 31 32 78 79 81
86 87 90 91 94 107 108 111 114 120 122 124
128 130 133 135 138 151 153 156 159 165 166 174
175 177 178 193 278 280 285 288 290 292 295 302
304 306 310 314 316 321 324 326 328 331 338 340
342 346 350 352 357 360 362 364 374 376 378 382
387 388 390 396 397 401 404 416 417 423 429 430
439 440 442 443 457 458 504 505 514 515 517 518
533 539 541 546 549 551 553 556 564 566 568 572;
setPE[115]:=
setPE[116]:= 5 6 8 9 27 28 39 41 43 45 46
50 62 64 68 72 168 169 171 172 189 190 201
204 206 208 209 213 224 226 230 234 240 243 245
247 248 252 263 265 269 273 279 282 283 286 291
294 300 305 308 311 315 318 319 322 327 330 333
336 341 344 347 351 354 358 363 366 372 377
380 383 432 433 435 436 454 455 465 468 470 472
473 477 489 491 495 498 507 508 510 511 529 530
540 543 544 547 552 555 558 562 567 570 573;
setPE[117]:=
setPE[118]:=
set PE[119]:=
setPE[120]:= 17 18 19 53 54 55 95 96 97 139 140
141 179 180 181 215 216 217 254 255 256 334 370
405 406 407 444 445 446 480 481 482 519 520 521
559;
setPE[121]:= 23 24 25 59 60 61 101 102 103 145 146
147 185 186 187 221 222 223 260 261 262 299 411
412 413 450 451 452 486 487 488 525 526 527 561;
setPE[122]:=
setPE[123]:=
setPE[124]:=
setPE[125]:= 38 42 47 65 67 71 77 82 85 89 93
106 110 113 119 123 127 132 137 150 155 158 200
205 210 227 229 233 239 244 249 266 268 272 277
281 284 287 289 293 296 301 307 309 313 317 320
323 325 329 332 337 339 343 345 349 353 356 359
361 365 368 373 375 379 381 386 391 395 399 403
419 422 464 469 474 492 494 497 538 542 545 548
550 554 557 563 565 569 571;
setPE[126]:= 34 35 36 73 74 75 115 116 117 160 161
162 196 197 198 235 236 237 274 275 276 312 348
384 424 425 426 460 461 462 499 500 501 535 536
537;
setPE[127]:=
setPE[128]:=
setPE[129]:=
setPE[130]:=
setPE[131]:=
setPE[132]:=
setPE[133]:=
setPE[134]:=

```

```

setPE[135]:= 349 350 351 352 353 354 355 356 357 358 359
             360 361 362 363 364 365 366 367 368 369 370 371
             372 373 374 375 376 377 378 379 380 381 382 383
             384;
setPE[136]:= ;
setPE[137]:= ;
setPE[138]:= ;
setPE[139]:= ;
set PE[ 140] := ;
setPE[ 141] := ;
set PE[ 142] := ;
setPE[143]:= ;
set PE[ 144] := 385 386 387 388 389 390 391 392 393 394 395
             396 397 398 399 400 401 402 403 404 405 406 407
             408 409 410 411 412 413 414 415 416 417 418 419
             420 421 422 423 424 425 426;
setPE[145]:= ;
set PE[ 146] := ;
setPE[147]:= ;
set PE[ 148] := ;
setPE[149]:= ;
setPE[ 150] := ;
setPE[151]:= ;
setPE[152]:= ;
setPE[153]:= ;
setPE[154]:= ;
setPE[155]:= ;
setPE[156]:= ;
setPE[157]:= ;
setPE[158]:= ;
setPE[159]:= ;
setPE[160]:= ;
setPE[ 161] := ;
setPE[162]:= ;
setPE[163]:= ;
setPE[ 164] := ;
setPE[165]:= ;
setPE[166]:= ;
setPE[167]:= 427 428 429 430 431 432 433 434 435 436 437
             438 439 440 441 442 443 444 445 446 447 448 449
             450 451 452 453 454 455 456 457 458 459 460 461
             462;
setPE[168]:= ;
setPE[169]:= ;
setPE[170]:= 463 464 465 466 467 468 469 470 471 472 473
             474 475 476 477 478 479 480 481 482 483 484 485
             486 487 488 489 490 491 492 493 494 495 496 497
             498 499 500 501;
setPE[171]:= ;
setPE[172]:= ;
setPE[173]:= ;
setPE[ 174] := ;
setPE[175]:= ;
setPE[176]:= ;
setPE[177]:= ;
setPE[178]:= ;
setPE[179]:= ;
setPE[180]:= ;
setPE[181]:= ;
setPE[182]:= ;
setPE[183]:= 37 38 39 76 77 78 118 119 120 163 199
             200 201 238 239 240 277 278 279 313 314 315 349
             350 351 385 286 387 427 463 464 465 502 538 539
             540;
setPE[184]:= 1 6 9 11 14 19 22 24 28 30 35
             80 82 88 89 92 93 97 100 103 109 110 117
             121 123 129 131 132 134 136 137 141 144 147 152
             154 155 162 164 169 172 173 176 181 184 186 190
             192 197 281 282 294 296 297 307 308 317 318 329
             330 332 333 343 344 353 354 365 366 368 369 379
             380 389 391 398 399 402 403 407 410 413 418 419
             428 433 436 438 441 446 449 451 455 456 461 503
             508 511 513 516 521 524 526 530 532 536 542 543
             554 555 557 558 569 570;
setPE[185]:= ;
setPE[186]:= 3 4 7 13 16 18 21 25 26 32 36
             40 42 44 55 58 61 63 65 75 166 167 170
             175 178 180 183 187 188 194 198 203 205 207 210
             217 220 223 225 227 237 242 244 246 249 256 259

```

	262	264	266	276	284	285	287	288	301	302	320	321
	323	324	337	338	356	357	359	360	373	374	430	431
	434	440	443	445	448	452	453	458	462	467	469	471
	474	482	485	488	490	492	501	505	506	509	515	518
	520	523	527	534	537	545	546	548	549	563	564:	
setPE[187]:=	10	48	49	50	84	85	86	126	127	128	211	
	212	213	250	251	252	289	290	291	348	361	362	363
	394	395	396	437	475	476	477	512	550	551	552;	
setPE[188] :=	:	:	:	:	:	:	:	:	:	:	:	:
setPE[189] :=	:	:	:	:	:	:	:	:	:	:	:	:
setPE[190] :=	:	:	:	:	:	:	:	:	:	:	:	:
setPE[191] :=	2	5	8	12	15	17	20	23	27	31	34	
	43	46	54	57	60	64	74	81	90	94	96	99
	102	116	124	133	138	140	143	146	156	161	165	168
	171	174	177	179	182	185	189	193	196	206	209	216
	219	222	226	236	245	248	255	258	261	265	275	390
	400	404	406	409	412	420	425	429	432	435	439	442
	444	447	450	454	457	460	470	473	481	484	487	491
	500	504	507	510	514	517	519	522	525	529	533;	
setPE[192] :=	:	:	:	:	:	:	:	:	:	:	:	:
setPE[193]:=	:	:	:	:	:	:	:	:	:	:	:	:
setPE[194] :=	:	:	:	:	:	:	:	:	:	:	:	:
setPE[195] :=	:	:	:	:	:	:	:	:	:	:	:	:
setPE[196]:=	:	:	:	:	:	:	:	:	:	:	:	:
setPE[197]:=	:	:	:	:	:	:	:	:	:	:	:	:
setPE[198]:=	:	:	:	:	:	:	:	:	:	:	:	:
setPE[199] :=	:	:	:	:	:	:	:	:	:	:	:	:
set PE[200] :=	:	:	:	:	:	:	:	:	:	:	:	:
setPE[201] :=	:	:	:	:	:	:	:	:	:	:	:	:
setPE[202]:=	:	:	:	:	:	:	:	:	:	:	:	:
set PE[203] :=	:	:	:	:	:	:	:	:	:	:	:	:
setPE[204] := ;	:	:	:	:	:	:	:	:	:	:	:	:
set PE[205] :=	538	539	540	541	542	543	544	545	546	547	548	
	549	550	551	552	553	554	555	556	557	558	559	560
	561	562	563	564	565	566	567	568	569	570	571	572
	573;											
setPE[206] :=	:	:	:	:	:	:	:	:	:	:	:	:
setPE[207] :=	:	:	:	:	:	:	:	:	:	:	:	:
set PE[208] :=	:	:	:	:	:	:	:	:	:	:	:	:
setPE[209] :=	:	:	:	:	:	:	:	:	:	:	:	:
setPE[210] :=	:	:	:	:	:	:	:	:	:	:	:	:

#setEQUIP:=T1;

```

param demand :=
[N1.N2]0[N1.N3] 0 [N1.N4] 255000 [N1.N5] 0 [N1.N6] 0 [N1.N7] 0 [N1.N8] 0 [N1.N9] 255000 [N1.N10] 255000 [N1.N11] 0[N1.N12]0
[N1.N13] 0 [N1.N14] 0 [N1.N15] 0 [N2.N1] 0 [N2.N3] 255000 [N2.N4] 255000 [N2.N5] 0 [N2.N6] 0 [N2.N7] 0 [N2.N8] 0 [N2.N9] 255000
[N2.N10] 255000 [N2.N11] 255000 [N2.N12] 0 [N2.N13] 0 [N2.N14] 0 [N2.N15] 255000 [N3.N1] 0 [N3.N2] 255000 [N3.N4] 255000 [N3.N5]
255000 [N3.N6] 0 [N3.N7] 0 [N3.N8] 0 [N3.N9] 0 [N3.N10] 255000 [N3.N11] 255000 [N3.N12] 255000 [N3.N13] 0 [N3.N14] 0 [N3.N15] 0
[N4.N1] 255000 [N4.N2] 255000 [N4.N3] 255000 [N4.N5] 0 [N4.N6] 255000 [N4.N7] 0 [N4.N8] 0 [N4.N9] 0 [N4.N10] 255000 [N4.N11] 255000
[N4.N12] 0 [N4.N13] 0 [N4.N14] 0 [N4.N15] 0 [N5.N1] 0 [N5.N2] 0 [N5.N3] 255000 [N5.N4] 0 [N5.N6] 0 [N5.N7] 0 [N5.N8] 0 [N5.N9] 255000
[N5.N10] 0 [N5.N11]255000 [N5.N12] 255000 [N5.N13] 255000 [N5.N14] 255000 [N5.N15] 0 [N6.N1] 0 [N6.N2] 0 [N6.N3] 0 [N6.N4] 255000
[N6.N5] 0 [N6.N7] 255000 [N6.N8] 0 [N6.N9] 255000 [N6.N10] 0 [N6.N11] 0 [N6.N12] 0 [N6.N13] 255000 [N6.N14] 0 [N6.N15] 255000 [N7.N1]
0 [N7.N2] 0 [N7.N3] 0 [N7.N4] 0 [N7.N5] 0 [N7.N6] 255000 [N7.N8] 0 [N7.N9] 255000 [N7.N10] 0 [N7.N11] 255000 [N7.N12] 255000 [N7.N13]
255000 [N7.N14] 255000 [N7.N15] 0 [N8.N1] 0 [N8.N2] 0 [N8.N3] 0 [N8.N4] 0 [N8.N5] 0 [N8.N6] 0 [N8.N7] 0 [N8.N9] 0 [N8.N10] 0 [N8.N11] 0
[N8.N12] 255000 [N8.N13] 255000 [N8.N14] 0 [N8.N15] 255000 [N9.N1] 255000 [N9.N2] 255000 [N9.N3] 0 [N9.N4] 0 [N9.N5] 255000 [N9.N6]
255000 [N9.N7] 255000 [N9.N8] 0 [N9.N10] 0 [N9.N11] 0 [N9.N12] 255000 [N9.N13] 255000 [N9.N14] 255000 [N9.N15] 0 [N10.N1] 255000
[N10.N2] 255000 [N10.N3] 255000 [N10.N4] 255000 [N10.N5] 0 [N10.N6] 0 [N10.N7] 0 [N10.N8] 0 [N10.N9] 0 [N10.N11] 255000 [N10.N12] 0
[N10.N13] 255000 [N10.N14] 0 [N10.N15] 255000 [N11.N1] 0 [N11.N2] 255000 [N11.N3] 255000 [N11.N4] 255000 [N11.N5] 255000 [N11.N6]
0[N11.N7]255000[N11.N8]0[N11.N9]0[N11.N10]255000[N11.N12]0[N11.N13]0[N11.N14]255000[N11.N15]0[N12.N1]0[N12.N2]0
[N12.N3] 255000 [N12.N4] 0 [N12.N5] 255000 [N12.N6] 0 [N12.N7] 255000 [N12.N8] 255000 [N12.N9] 255000 [N12.N10] 0 [N12.N11] 0
[N12.N13] 255000 [N12.N14] 255000 [N12.N15] 0 [N13.N1] 0 [N13.N2] 0 [N13.N3] 0 [N13.N4] 0 [N13.N5] 255000 [N13.N6] 255000 [N13.N7]
255000 [N13.N8] 255000 [N13.N9] 255000 [N13.N10] 255000 [N13.N11] 0 [N13.N12] 255000 [N13.N14] 255000 [N13.N15] 0 [N14.N1] 0
[N14.N2] 0 [N14.N3] 0 [N14.N4] 0 [N14.N5] 255000 [N14.N6] 0 [N14.N7] 255000 [N14.N8] 0 [N14.N9] 255000 [N14.N10] 0 [N14.N11] 255000
[N14.N12] 255000 [N14.N13] 255000 [N14.N15] 0 [N15.N1] 0 [N15.N2] 255000 [N15.N3] 0 [N15.N4] 0 [N15.N5] 0 [N15.N6] 255000 [N15.N7] 0
[N15.N8] 255000 [N15.N9] 0 [N15.N10] 255000 [N15.N11] 0 [N15.N12] 0 [N15.N13] 0 [N15.N14] 0;

```

#param Capacity := T1 1540000;

Bibliografía

Arabas, J. y Kozdrowski, S. "Applying an Evolutionary Algorithm to Telecommunication Network Design", IEEE Transactions on Evolutionary Computation, Volume 5, Issue 4, Agosto. 2001 Páginas: 309 - 322.

Beltrán, J. "Ruteo Óptimo para el Diseño de Redes Mediante Algoritmos Genéticos", Tesis QA402.5 .B4 ITESM, 1996.

Bertocco, M., y cois. "Statistical Analysis of Measurements for Telecommunication-Network Troubleshooting", IEEE Instrumentation and Measurement, Volume 52, Issue 4, Agosto. 2003 Paginas: 1048 - 1053.

Bragg, W. "Which network design tool is right for you", IEEE IT Professional Volume 2, Issue 5, Sept.-Oct. 2000 Páginas: 23 - 32.

BT, "Digital Networking Economy". White paper. British Telecommunications pie, 2004.

Cahn, Robert, "Wide Área Network Design . Concepts and Tools for Optimizaron", Morgan Kaufmann Publishers Inc, 1998.The Morgan Kaufmann Series in Networking,

Chen, Kuang-Chien, et al. "A Resynthesis Approach for Network Optimization" IEEE 28th ACM/IEEE Design Automation Conference, June 17-21, 1991 Páginas: 458-463.

Chien, S., Takahashi, K. y Marjumder, S. "Performance of wavelength convertible multi-hop optical network under deflection routing with a delay-line optical buffer", IEEE Proceedings of the 2002 4th International Conference on Transparent Optical Networks, Volume 1, 21-25 April 2002 Páginas: 46 - 48.

Chinneck, John W. "Practical Optimization: a Gentle Introduction". Carleton University, Departamento de Ingeniería en computacional y de sistemas, 2001. URL: <http://www.sce.carleton.ca/faculty/chinneck/po.html> (Accesada en Marzo, 2005).

Dantzig, George Bernard y Mukud N. Thapa, "Linear programming 2: theory and extensions ", Springer Series in Operation Research. Edición 2003. ISBN: 0-387-98613-8.

DaSilva, Luiz A. y Midkiff, Scott F. "Network Design: Introduction to Graph Theory", Bradley Department of Electrical and Computer Engineering Virginia Polytechnic Institute and State University, 2002.

Decina, Maurizio. "Service and Technology Trends in the Next Decade", Proceedings International Zurich Seminar on Broadband Communications, Feb. 2000 Páginas: 109 2000.

Dongyun Zhou y Suresh Subramaniam, "Survivability in Optical Networks", IEEE Network, Volume 14, Issue 6, Nov.-Dic.2000 Páginas:16 - 23.

Evans, J. y Minieka, E. "Optimizaron Algorithms for Networks and Graphs". Editorial Marcel Dekker, segunda edición, ISBN 0-8247-8602-5, 1992.

Fourer, Robert. .AMPL: A Mathematical Programming Language., Managemet Science 36,1990.

Gangxiang, S., et al. "Designing WDM Optical Network for Reliability Routing Light Paths Efficiently for Path Protection". Sf.

Gentry, Sommer. "How to use AMPL/Cplex". Basado en "AMPL: A Modeling Language for Mathematical Programming, Fourer, R. 2003.

Gavish.B. .Backbone network design tools with economic tradeoff., ORSA Journal on Computing, 2:236-252, 1990.

Han, J., McMahan G. y Sugden S. "A Model for Nonlinear Problems in Optimal Design of Communication Networks", IEEE Proceedings. Ninth International Conference on Computer Communications and Networks, 2000. Oct 16-18. 2000 Páginas: 516 - 519.

Hernández, H. "PORT: Proceso para la Optimización de Redes de Telecomunicaciones", Tesis 045.62 TEC.121 ITESM, 1994.

Huang, Shin-Hsu y Wang, Chu-Liao. "An effective Floorplan-based Power Distribution Network Design Methodology under Reliability Constraints". IEEE International Symposium on Circuits and Systems, ISCAS 2002. Volume 1. Mayo 26-29, 2002. Páginas: I-353 -1-356.

Huang, Tzu-Lun y Lee, D.T. "A Distributed Multicast Routing Algorithm for Real-Time Applications in Wide Área Networks" , IEEE I-SPAN '02. Proceedings International Symposium on Parallel Architectures, Algorithms and Networks, 2002. Mayo 22-24. Páginas: 295 - 300.

Jeltsch F., Eric. 'Diseño y Análisis de Algoritmos con Java", Tutorial Universidad de La Serena Chile, 2004.

Kazovsky, Leonid G., Giok-Djan Khoe, M. Oskar van Deventer. "Future telecommunication networks: Major trend projections", IEEE Communications Magazine, Volume 36, Issue 11, Nov. 1998 Páginas: 122 - 127.

Kershenbaum, Aaron, Kermani, and Grover. "Mentor: An algorithm for mesh network topological optimization and routing". IEEE. Transactions on Communications. Volume: 39, Issue: 4, Abril 1991. Páginas: 503-513.

Kershenbaum, Aaron, Telecommunications Networks Design Algorithms., New York: MacGraw-Hill, 1993.

Kumaran, K. et al. "Efficient Algorithms for Location and Sizing Problems in Network Design", IEEE GLOBECOM '01 Global Telecommunications Conference, 2001. Volume 4, Noviembre 25-29. 2001 Páginas: 2586 - 2590.

Lightscape Networks. "Optical Metropolitan Networks and Beyond". White paper, 2004.

Liu, Z. y Bandyopadhyay S. "A Genetic Algorithm for Optimization of Logical Topologies in Optical Networks". IEEE Proceedings International Parallel and Distributed Processing Symposium, IPDPS 2002. Abril 15-19, 2002 Páginas: 202 - 209.

Lo, Chi-Chun y Chang, Wei-Hsin. "A Multiobjective Hybrid Genetic Algorithm for the Capacitated Multipoint Network Design Problem", IEEE Transactions on Systems, MAN, and Cybernetics—Part B: Cybernetics, Vol. 30, No. 3, 2000.

Maier, G., y cois. "Design and Cost Performance of the Multistage WDM-PON Access Networks", IEEE Journal of Lightwave Technology, Vol. 18, No. 2, Volume 18, Issue 2, Feb. 2000 Páginas:125 - 143.

Maruyama, K; .Designing reliable packet-switched Communications networks., Proceedings of the IEEE ICC, pages 493-498, 1978.

Modiano, Eytan. "Enrutamiento de amplia difusión (broadcast)", Massachusetts Institute of Technology Department of Aeronautics and Astronautics 2000.

Mendoza, Eduardo "Diseño y Optimización de Redes: Mentor vs. Programación Lineal" Tesis QA76.9.A43 M45, ITESM 2004.

Osifchin, Nicholas, "A Telecommunications Buildings/Power Infrastructure in a New Era of Public Networking", International Power Strategies 2000.

Pellegatta M., Monguzzi M., Mazzaresse A. y Zuchetti A., "Fiber Networks Maintenance in the all Optical Network Era", IEEE/IFIP Symposium 2002 Network Operations and Management NOMS. Abril 2002 Páginas: 855 - 868.

Rajan, D. "Introduction to AMPL A Tutorial", Basado en AMPL: A Modeling Language for Mathematical Programming by R. Fourer, D. M. Gay, and B. W. Kernighan (1993: Boyd & Fraser), 2000.

Ramírez-Rosado, I. y Bernal-Agustín, J. "Reliability and Costs Optimization for Distribution Networks Expansión Using an Evolutionary Algorithm", IEEE Transactions on Power Systems, Vol. 16, No. 1, 2001.

Saradhi, C. y cois. "Distributed Network Control for Establishing Reliability-Constrained Least-Cost Lightpaths in WDM Mesh Networks", IEEE Proceedings Eighth International Symposium on Computers and Communication (ISCC 2003), vol.1, Junio 30, Julio 3, 2003 Páginas: 678 - 683.

Sauvé, J., Silva, F. "Availability Considerations in Network Design", IEEE Proceedings. 2001 Pacific Rim International Symposium on Dependable Computing, Dic. 2001 Páginas: 119- 126.

Sayoud, H., Takahashi K. y Vaillant B. "A Genetic Local Tuning Algorithm for a Class of Combinatorial Networks Design Problems", IEEE Communications Letters, Vol. 5, No. 7, 2001

Sharma, R. "Network topology optimization : the art and science of network design" Publisher: New York Van Nostrand Reinhold, TK5105.5 .S427, 1990.

Song, K. y Somani, A. "Fault Tolerant ATM Backbone Network Design Considering Cell Loss Rates and End-to-End Delay Constraints", IEEE 13th Annual International Phoenix Conference on Computers and Communications, 1994, Abril 1994 Página: 119.

Steiglitz, K., Weiner, P. y Kleitman, D. "The Design of Minimum-Cost Survivable Networks" IEEE Transactions on Circuit Theory, Vol. CT-16, No. 4, 1996.

Universidad de Chile, Departamento de Computación
<http://www.dcc.uchile.cl/web/channel.html> (Accesada, Marzo 2005).

Van Norman, H. "LAN/WAN Optimization Techniques", Editorial Artech House, primera edición, ISBN 0-89006-617-5, 1992.

Wei, W. "Network Design Issues for a Terabit Optical Internet", IEEE Communications Engineer, Volume 1, Issue 2, Abril/Mayo 2003 Páginas: 38-41.

Xianhai, T., Weidong, J. y Dúo, Z. "Application Multicriterion Satisfactory Optimizaron Computer Networks Design", IEEE Proceedings of the Fourth International Conference on Parallel and Distributed Computing, Applications and Technologies, 2003. PDCAT'2003. Agosto 2003 Páginas: 660 - 664.

Young SooMyung, Hyung-joon Kim, Dong-wan Tcha. "Design of communication Networks with survivability constraints", 1999.

Zeng, Y. S., Ding, L. X. y Kang, L. S. "An Evolutionary Algorithm of Contracting Search Space Based on Partial Ordering Relation for Constrained Optimization Problems", IEEE Proceedings. Fifth International Conference on Algorithms and Architectures for Parallel Processing. Oct. 2002 Páginas: 76 - 81.

Zhang, H., y cois. "Analysis and Comparison of Optimization Algorithm for Network Flow Control". IEEE Proceedings of the 41st Conference on Decisión and Control, Volume 1, Dic. 2002 Páginas: 1129-1134.

Zhao, D., Yao S. y Zhou M., "An Architecture with Reliability Support for Wide-Area Distributed Applications", IEEE Proceedings. Fifth International Conference on Algorithms and Architectures for Parallel Processing. Oct. 2002 Páginas: 269-272.

Zhu, H., et al. "Cost-Effective WDM Backbone Network Design With OXCs of Different Bandwidth Granularities", IEEE Journal on Selected Áreas in Communications, Volume 21, Issue 9, Nov. 2003 Páginas: 1452 - 1466.

